

# Numerische Linear Algebra

- Organisatorisches:
- Übung beginnt 26.10.15; Zeitliche Abgabe Do
  - Kursbuchungssystem für Übungsmeldung wird freigeschaltet 18.09.
  - jeder soll mind. 2x vorrechnen

Hinweis: • Einführung

## Einführung

Numerische LA ⊂ Numerische Mathe ⊂ Angewandte Mathe

Anwendungsproblem

↓ Modellierung

Mathematisches Modell

↓ Diskretisierung

Numerische Approximation  
↓ Entwicklung von Lösungsmethoden

Simulationsalgorithmen  
↓ Implementierung

Computerprogramme  
↓ Simulation

Simulationsergebnisse

Numerische LA

- numerische Lsg. linearer Gleichungssysteme
- Algorithmen
- Fehlereinschätzung
- Eigenwertprobleme

Numerische Mathe

- Daten - Fitting
- numerische Lsg. von Differentialgl. u. Dgl.
- Diskretisierungsfehler
- Optimierung

Angewandte Mathe

- Modellierung
- Wohlgestelltheit
- qualitative Untersuchung
- Asymptotik

Numerische Mathematik befasst sich mit der Formulierung und Lösung mathematischer Modelle am Computer. Da Computer nicht beliebig schnell und genau rechnen können, entwickelt die Numerik effiziente Methoden zur Lösung und untersucht ihre analytischen Eigenschaften wie Konvergenz, Konvergenzrate, Fehlerrobustheit, Komplexität usw. als Funktion des Rechenaufwands.

Viele Anwendungen und numerische Verfahren führen auf ein zu lösendes Gleichungssystem.

Numerische LA liefert & unterrichtet Lösungsmethoden hierfür. Dies zählt zu den grundlegenden numerischen Problemen und Werkzeugen.

Bsp: Hängende Kette



$n+1$  Glieder der Länge 1 & Masse  $m$ , Enden im Abstand  $L$

Modellierung: Position des rechten Gliedes:  $\begin{pmatrix} x_i \\ y_i \end{pmatrix}, i=0, \dots, n, \quad \begin{pmatrix} x_0 \\ y_0 \end{pmatrix} = 0, \quad \begin{pmatrix} x_{n+1} \\ y_{n+1} \end{pmatrix} = \begin{pmatrix} L \\ 0 \end{pmatrix}$   $(*)$   
 $(x_i - x_{i-1})^2 + (y_i - y_{i-1})^2 = 1 \quad (**)$

• potentielle Energie:  $E = mg \left[ \frac{y_0 + y_1}{2} + \frac{y_1 + y_2}{2} + \dots + \frac{y_n + y_{n+1}}{2} \right] = mg \sum_{i=1}^n y_i$   
 $\Rightarrow$  minimiere  $E$  nach  $x_i, y_i, i=1, \dots, n$ , so dass  $(*), (**)$

Diskretisierung: Modell hat bereits nur endlich viele „diskrete“ Variablen

- Bei allgemeinen Problemen gibt es unendlich viele Variablen,  
z.B. wenn wir statt der Kette ein kontinuierliches Band wählen  
( kann man aufteilen als  $\infty$  viele  $\infty$  kurze Kettenglieder )
- Vorlesungen „Numerische Analysis“ & „Numerik partieller Dgl“  
untersuchen, wie man dies mit diskreten Variablen approximiert  
 $\Rightarrow$  liefert ähnliche Gleichungen

Lösungsverfahren: Lagrange-Multiplikator  $\lambda = \begin{pmatrix} \lambda_1 \\ \vdots \\ \lambda_n \end{pmatrix}$  für  $(**)$

Lagrange-Funktional  $L(x_i, y_i, \lambda_i) = E(y_i) + \sum_{i=1}^{n+1} \lambda_i [(x_i - x_{i-1})^2 + (y_i - y_{i-1})^2 - 1]$

$\Rightarrow$  löse  $\begin{cases} \frac{\partial L}{\partial y_i} = 0 \\ \frac{\partial L}{\partial x_i} = 0 \\ \frac{\partial L}{\partial \lambda_j} = 0 \end{cases}, i=1, \dots, n, \quad j=1, \dots, n+1$  nach  $x_i, y_i, \lambda_j, \begin{matrix} i=1, \dots, n \\ j=1, \dots, n+1 \end{matrix}$

- in der Vorlesung beschäftigen wir uns u.A. damit, wie man solche Gleichungssysteme löst, z.B. mittels spezieller Fixpunkt-Ikration:

$$\begin{pmatrix} x_1 \\ x_2 \\ \vdots \\ x_n \\ \lambda_1 \\ \vdots \\ \lambda_n \end{pmatrix}^{(k+1)} = \begin{pmatrix} x_1 \\ x_2 \\ \vdots \\ x_n \\ \lambda_1 \\ \vdots \\ \lambda_n \end{pmatrix}^{(k)} - \alpha \underbrace{\begin{pmatrix} \frac{\partial^2 L}{\partial (x_i, y_i, \lambda_i)^2} \\ \vdots \\ 0 \end{pmatrix}_{(n+1) \times 1}}_{\text{Hesse-Matrix } D^2 L}^{-1} \underbrace{\begin{pmatrix} \frac{\partial L}{\partial (x_i, y_i, \lambda_i)} \\ \vdots \\ 0 \end{pmatrix}_{(n+1) \times 1}}_{\text{Gradient } \nabla L}^{(k)}$$

hat Lösung als Fixpunkt und konvergiert (für gut gewählten  $(x_1, \dots, \lambda_n)^{(0)}$ ) gegen Lösung

- Numerische LA im Speziellen beschäftigt sich mit Methoden zum Lösen des linearen Gleichungssystems  $D^2 L(\cdot) = \nabla L$ , also mit dem kleinen & elementarsten Problem aus dem ganzen Ablauf. Für diesen Beispiel genügt uns jedoch erstmal, dass Matlab dies lösen kann.

## Implementierung:

```
% Parameter
m = 1; g = 1; L = 10; n = 19;

% Initialisierung von x, y, lambda
x = [0 0 0 0, linspace(0,L,11), L L L L] ';
y = -[1:5, 5*ones(1,9), 5:-1:1]';
l = .1*ones(n+1,1);

% Fixpunktiteration
for i = 1:100
    xLeft = [0;x(1:end-1)]; xRight = [x(2:end);L];
    yLeft = [0;y(1:end-1)]; yRight = [y(2:end);0];
    lLeft = l(1:end-1); lRight = l(2:end);

    dL_dx = 2*lLeft.* (x-xLeft) - 2*lRight.* (xRight-x);
    dL_dy = 2*lLeft.* (y-yLeft) - 2*lRight.* (yRight-y) + m*g;
    dL_dl = [(x-xLeft).^2+(y-yLeft).^2; (L-x(end)).^2+y(end)^2]-1;

    dL_dxx = diag(2*lLeft+2*lRight);
    dL_dy = diag(2*lLeft+2*lRight);
    dL_dl1 = zeros(n+1,n+1);
    dL_dxy = zeros(n,n);
    dL_dx1 = spdiags(2*[x-xLeft x-xRight], [0 1], n, n+1);
    dL_dy1 = spdiags(2*[y-yLeft y-yRight], [0 1], n, n+1);

    DL = [dL_dx; dL_dy; dL_dl];
    D2L = [dL_dxx dL_dxy dL_dx1;
            dL_dxy' dL_dy dL_dy1;
            dL_dx1' dL_dy1' dL_dl1];
    sol = D2L\DL*.5;
    x = x - sol(1:n); y = y - sol(n+1:2*n); l = l - sol(2*n+1:end);

    plot([0;x;L], [0;y;0], '-.', 'linewidth', 3, 'MarkerSize', 10);
    axis equal;
    drawnow;
end
```



Warum konvergiert es für einige  $\alpha$  & Initialisierungen, für andere nicht?  
 Wie schnell konvergiert es?  
 $\Rightarrow$  typische Numerik-Frage

Heute: • normierte Räume

## Wiederholung Grundlagen

### Normierte Räume

Def: (Norm) Sei  $V$  ein  $\mathbb{K}$ -Vektorraum.  $\|\cdot\|: V \rightarrow \mathbb{R}$  heißt Norm, falls

- $\|v\| > 0 \quad \forall v \in V \setminus \{0\}$
- $\|\lambda v\| = |\lambda| \|v\| \quad \forall \lambda \in \mathbb{K}, v \in V$
- $\|v+w\| \leq \|v\| + \|w\| \quad \forall v, w \in V$

Bsp: •  $V = \mathbb{R}^n$ ,  $\|v\|_\infty = \max(v_1, \dots, v_n)$

$$\|v\|_1 = |v_1| + \dots + |v_n|$$

$$\|v\|_p = \left( |v_1|^p + \dots + |v_n|^p \right)^{\frac{1}{p}}, p \geq 1, \text{ sind Normen}$$

- $V = C([a, b])$ ,  $a < b$ ,  $\|v\|_\infty = \sup_{x \in [a, b]} |v(x)|$
- $\|v\|_p = \left( \int_a^b |v(x)|^p dx \right)^{\frac{1}{p}}, p \geq 1, \text{ sind Normen}$

Def: (äquivalente Normen)  $\|\cdot\|$  und  $\|\cdot\|'$  sind äquivalent, wenn  $\exists c, C > 0$  mit  $c\|v\| \leq \|\cdot\| \leq C\|v\| \forall v \in V$

Thm:  $\dim V < \infty \Rightarrow$  alle Normen sind äquivalent

Def: (Banachraum). •  $(u_n)_{n \in \mathbb{N}}$  konvergiert gegen  $u \in V$ :  $\Leftrightarrow \forall \epsilon > 0 \exists N > 0 \forall n > N: \|u_n - u\| < \epsilon$   
•  $(u_n)_{n \in \mathbb{N}}$  heißt Cauchy-Folge:  $\Leftrightarrow \forall \epsilon > 0 \exists N > 0 \forall m, n > N: \|u_m - u_n\| < \epsilon$   
•  $(V, \|\cdot\|)$  heißt vollständig, wenn alle Cauchyfolgen konvergieren.  
 $(V, \|\cdot\|)$  heißt dann Banachraum.

Bsp: •  $(\mathbb{R}^n, \|\cdot\|)$  ist Banachraum

- $(C([a, b]), \|\cdot\|_\infty)$  ist Banachraum
- $(C([a, b]), \|\cdot\|_p)$  ist nicht vollständig

Def: (Skalarprodukt)  $(\cdot, \cdot): V \times V \rightarrow \mathbb{K}$  heißt Skalarprodukt, wenn

- $(v, v) > 0 \quad \forall v \in V \setminus \{0\}$
- $(u, v) = \overline{(v, u)} \quad \forall u, v \in V$
- $(\alpha u, v) = \alpha(u, v) \quad \text{und} \quad (u+v, v) = (u, v) + (v, v) \quad \forall u, v, w \in V, \alpha \in \mathbb{K}$

Bsp: •  $V = \mathbb{R}^n$ ,  $(v, w) = v^T w$

•  $V = \mathbb{C}^n$ ,  $(v, w) = v^T \bar{w}$

Def: (Duale Norm)  $\|\cdot\|'$  mit  $\|x\|' = \sup_{\|y\|=1} |(x, y)|$  heißt zu  $\|\cdot\|$  duale Norm

Bsp: •  $\|\cdot\|'_2 = \|\cdot\|_2$ ,  $\|\cdot\|'_1 = \|\cdot\|_\infty$ ,  $\|\cdot\|'_\infty = \|\cdot\|_1$  auf  $\mathbb{K}^n$

Thm: Durch  $\|v\| = \sqrt{(v, v)}$  wird eine Norm induziert

- $|(u, v)| \leq \|u\| \|v\|$  (Cauchy-Schwarz-Ungl.)

Def: (Hilbertraum) Ein Banachraum mit Skalarprodukt-induzierter Norm heißt Hilbertraum

Bsp:  $L^2([a, b]) = \{f: [a, b] \rightarrow \mathbb{R} \text{ messbar}, \int_a^b f^2 dx < \infty\}$  ist ein Hilbertraum mit Skalarprodukt  $(f, g) = \int_a^b f g dx$ .

## Operatoren

Def: (linearer Operator) Seien  $U, V$  normierte Vektorräume.

- $T: U \rightarrow V$  heißt linearer Operator, wenn  $T(\alpha x + y) = \alpha T(x) + T(y) \quad \forall x, y \in U, \alpha \in \mathbb{K}$
- $\|T\| = \sup_{\substack{u \in U, u \neq 0 \\ \|u\|=1}} \frac{\|Tu\|}{\|u\|} = \sup_{\|u\|=1} \|Tu\|$  heißt Operatornorm von  $T$
- $T$  heißt beschränkt, wenn  $\|T\| < \infty$
- $L(U, V) = \{T: U \rightarrow V \mid T \text{ linear und beschränkt}\}$

Bem: Dual Norm  $\|u\|' = \text{Operatormodul von } T: (U, \|\cdot\|) \rightarrow (\mathbb{K}, |\cdot|), x \mapsto (x, u)$

Thm: (beschränkte Operatoren)

- $T$  beschränkt  $\Leftrightarrow T$  stetig in 0  $\Leftrightarrow T$  stetig
- $V$  vollständig  $\Rightarrow$  mit der Operatornorm ist  $L(U, V)$  ein Banachraum

Bew: •  $T$  beschränkt  $\Rightarrow$  für  $\varepsilon > 0$  ist  $\|T(x) - T(0)\| \leq \|T\| \|x\| < \varepsilon \quad \forall x \text{ mit } \|x - 0\| < \frac{\varepsilon}{\|T\|}$   
 $\Rightarrow T$  stetig in 0, d.h. für  $\varepsilon > 0$  existiert  $\delta$  mit  $\|x - 0\| < \delta \Rightarrow \|T(x) - T(0)\| < \varepsilon$   
 $\Rightarrow \|T(x) - T(y)\| = \|T(x-y) - T(0)\| < \varepsilon \quad \text{für } \|x-y-0\| < \delta$   
 $\Rightarrow T$  stetig  
 $\Rightarrow \|Tx\| = \|T(x) - T(0)\| = \frac{2\|x\|}{\delta} \|T\left(\frac{\delta}{2\|x\|} x\right) - T(0)\| \leq \frac{2\|x\|}{\delta} \varepsilon \quad \forall x \in U$   
 $\Rightarrow T$  beschränkt

- Normeigenschaften einfach zu zeigen.

Sei  $(T_n)_{n \in \mathbb{N}}$  Cauchyfolge  $\Rightarrow T_n(x)$  ist Cauchyfolge für alle  $x \in U$ .

Definiere  $T(x) = \lim_{n \rightarrow \infty} T_n(x)$ .  $T(x)$  ist linear wegen Linearität von  $T_n$  und lim.

$$\|T(x)\| \leq \|T(x) - T_n(x)\| + \|T_n(x)\| = \lim_{n \rightarrow \infty} \|T_n(x) - T_m(x)\| + \|T_m(x)\|;$$

wähle  $m$  groß genug, dass  $\|T_n - T_m\| < \varepsilon \quad \forall n > m$

$$\Rightarrow \|T(x)\| \leq \varepsilon \|x\| + \|T_m\| \|x\| \Rightarrow T \in L(U, V).$$

Für  $\varepsilon > 0$  wähle  $N$  sodass  $\|T_m - T_n\| < \varepsilon \quad \forall m, n > N$

$$\Rightarrow \|T_m(x) - T(x)\| = \lim_{n \rightarrow \infty} \|T_m(x) - T_n(x)\| < \varepsilon \|x\| \quad \forall m > N \Rightarrow T_m \xrightarrow[m \rightarrow \infty]{} T \quad \square$$

Bsp: Sei  $T: U \rightarrow V$  linear,  $U, V$  endlichdimensional. Dann kann  $T$  durch eine Matrix  $A$  bezüglich vorgegebener Basen dargestellt werden.

- $x \mapsto Ax$  mit  $A \in \mathbb{K}^{m \times n}$  ist linearer Operator  $\mathbb{K}^n \rightarrow \mathbb{K}^m$
- Aus obigem folgt  $L(\mathbb{K}^n, \mathbb{K}^m) \equiv \mathbb{K}^{m \times n}$

Def: (induzierte Matrixnorm) Die Operatornorm von Operatoren  $A \in \mathbb{K}^{m \times n}$ ,  $A: (\mathbb{K}^n, \|\cdot\|) \rightarrow (\mathbb{K}^m, \|\cdot\|)$ , heißt durch  $\|\cdot\|$  induzierte Matrixnorm.

Bsp: Durch  $\|\cdot\|_1$  wird die maximale Spaltensumme induziert,  $\|A\|_1 = \max_{i=1, \dots, m} \|A \cdot e_i\|_1$ .

Def: (adjungierter Operator) Seien  $(U, (\cdot, \cdot)_U), (V, (\cdot, \cdot)_V)$  Vektorräume mit Skalarprodukt,  $T: U \rightarrow V$  linear. Der adjungierte Operator  $T^*: V \rightarrow U$  ist definiert durch  $(Tu, v)_U = (u, T^*v)_V \quad \forall u \in U, v \in V$ .

Bsp: •  $U = \mathbb{K}^n, V = \mathbb{K}^m, T: U \rightarrow V, u \mapsto Au$  für  $A \in \mathbb{K}^{m \times n}$   
 $\Rightarrow (Tu, v)_U = (Au)^T \bar{v} = u^T A^T \bar{v} = u^T \bar{A}^T v = (u, \bar{A}^T v)_V$   
 $\Rightarrow T^*: V \rightarrow U, v \mapsto \bar{A}^T v$

## Heute: Singulärwertzerlegung

### Endlich-dimensionale Vektorräume & Operatoren

Der Einfachheit halber beschränken wir uns im Folgenden auf Vektoren  $\in \mathbb{K}^m$  und Matrizen  $\in \mathbb{K}^{m \times n}$ .  $\|\cdot\|$  bezeichnet die Skalarprodukt-induzierte Norm.

Def: (hermitische Matrizen) •  $A \in \mathbb{C}^{m \times n}$  heißt hermitisch, wenn  $A^* := \bar{A}^T = A$   
•  $A \in \mathbb{R}^{m \times n}$  heißt symmetrisch, wenn  $A^T = A$

Def: (orthogonale Vektoren) •  $u, v \in \mathbb{K}^m$  heißen orthogonal, wenn  $(u, v) = 0$ .  
•  $S \subset \mathbb{K}^m \setminus \{0\}$  heißt orthogonal, wenn  $u, v \in S \Rightarrow (u, v) = 0$ .  
•  $S$  heißt orthonormal, wenn zusätzlich  $\|u\| = 1 \quad \forall u \in S$

Thm:  $S$  orthogonal  $\Rightarrow S$  linear unabhängig

Bew: Sei  $S = \{v_1, \dots, v_n\}$  nicht lin. unabh., d.h.  $v_n = \sum_{i=1}^n c_i v_i, c_i \in \mathbb{K}$ .  
 $\Rightarrow (v_k, v_n) = \sum_{i=1}^n c_i (v_i, v_n) = 0 \quad \square$

Kor:  $S = \{q_1, \dots, q_m\} \subset \mathbb{K}^m$  orthogonal  $\Rightarrow S$  ist Basis von  $\mathbb{K}^m$

Bew: Jeder Vektor  $v \in \mathbb{K}^m$  kann zerlegt werden in Komponenten parallel zu orthonormalen  $q_1, \dots, q_m$ :  
 $v = \sum_{i=1}^m (q_i, v) q_i = \sum_{i=1}^m (q_i, q_i^*) v$

Bew:  $v - \sum_{i=1}^m (q_i, v) q_i$  ist offenbar orthogonal zu  $q_1, \dots, q_m$  und somit gleich 0.  $\square$

Def: (unitäre Matrix) •  $A \in \mathbb{R}^{m \times m}$  heißt orthogonal, wenn  $A^T = A^{-1}$

•  $A \in \mathbb{C}^{m \times m}$  heißt unitär, wenn  $A^* = A^{-1}$

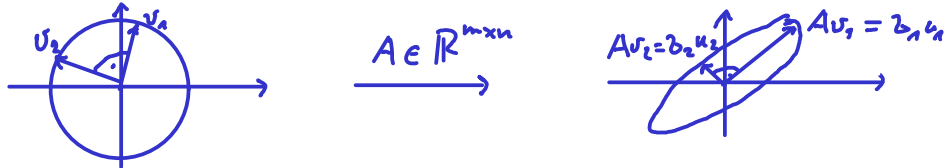
Bem: Die Spalten & Zeilen unitärer Matrizen  $A$  sind orthonormal.

Bew:  $\delta_{ij} = \text{Kronecker delta} = \begin{cases} 1 & i=j \\ 0 & \text{sonst} \end{cases} = (\mathbb{I})_{ij} = (AA^*)_{ij} = (A_{::i}, A_{j::}) \\ = (A^*A)_{ij} = (\overline{A_{::i}}, \overline{A_{::j}}) = (A_{::i}, A_{::j}) \quad \square$

Thm:  $Q \in \mathbb{C}^{m \times m}$  unitär,  $x \in \mathbb{C}^m \Rightarrow \|Qx\| = \sqrt{(Qx, Qx)} = \sqrt{x^* Q^* Q x} = \sqrt{x^* x} = \|x\|$

### Singulärwertzerlegung

Das Bild der Einheitskugel im  $\mathbb{R}^n$  unter jeder  $m \times n$  Matrix ist eine Hyperellipse, d.h. eine Oberfläche, die durch Dehnung der Einheitskugel im  $\mathbb{R}^m$  in orthogonale Richtungen  $u_1, \dots, u_m$  um den Faktor  $\sigma_1, \dots, \sigma_m$  entsteht. Die Semiachsen sind  $\sigma_1 u_1, \dots, \sigma_m u_m$ .



Def: (Singulärwert) Eine Singulärwertzerlegung einer Matrix  $A \in \mathbb{K}^{m \times n}$  ist definiert durch  $A = U \Sigma V^*$ .

$$U = [u_1 | \dots | u_m] \in \mathbb{K}^{m \times m} \text{ unitär}, V = [v_1 | \dots | v_n] \in \mathbb{K}^{n \times n} \text{ unitär}, \Sigma = [\sigma_1 \ \sigma_2 \ \dots] \in \mathbb{R}^{m \times n}$$

Singulärwerte:  $\sigma_1 \geq \sigma_2 \geq \dots \geq 0$

linkse Singulärvektoren:  $u_1, \dots, u_m$

rechte " " :  $v_1, \dots, v_n$

Thm: Jeder  $A \in \mathbb{C}^{m \times n}$  besitzt eine Singulärwertzerlegung (SVD). Die Singulärwerte sind eindeutig.

Ist  $m = n$  und  $\sigma_i \neq \sigma_j \forall i \neq j$ , sind auch die Singulärvektoren bis auf ein komplexes Vorzeichen eindeutig bestimmt.

Bem: Analog für  $A \in \mathbb{R}^{m \times n}$

Bew: Existenz per Induktion nach min(m, n):

Sei  $\sigma_1 = \|A\| \Rightarrow$  nach dem Satz von Weierstraß gibt es  $u_1 \in \mathbb{C}^m, v_1 \in \mathbb{C}^n$  mit  $\|u_1\| = \|v_1\| = 1, Av_1 = \sigma_1 u_1$

Erweiter  $u_1$  und  $v_1$  zu einer Orthonormalbasis  $\{u_i\}$  von  $\mathbb{C}^m$  und  $\{v_j\}$  von  $\mathbb{C}^n$ .

$U_1 = [u_1 | \dots | u_m]$  &  $V_1 = [v_1 | \dots | v_n]$  sind unitär,

$$U_1^* A V_1 = U_1^* [Av_1 | \dots | Av_n] = \begin{bmatrix} \sigma_1 & w^* \\ 0 & B \end{bmatrix} \quad \text{für ein } w \in \mathbb{C}^{n-1}, B \in \mathbb{C}^{(n-1) \times (n-1)}$$

$$\left\| \begin{bmatrix} \sigma_1 & w^* \\ 0 & B \end{bmatrix} \begin{pmatrix} \sigma_1 \\ w \end{pmatrix} \right\| \geq \sigma_1^2 + w^* w = \sqrt{\sigma_1^2 + w^* w} \quad \left\| \begin{pmatrix} \sigma_1 \\ w \end{pmatrix} \right\| \Rightarrow \sigma_1 = \|A\| = \|U_1^* A V_1\| \geq \sqrt{\sigma_1^2 + w^* w} \Rightarrow w=0 \quad (\star)$$

Nach Induktionsvoraussetzung  $B = U_2 \Sigma_2 V_2^*$   $\Rightarrow A = \underbrace{U_1}_{\text{unitär}} \underbrace{\begin{bmatrix} \sigma_1 & 0 \\ 0 & U_2 \end{bmatrix}}_{\text{unitär}} \underbrace{\begin{bmatrix} \sigma_1 & 0 \\ 0 & \Sigma_2 \\ 0 & V_2 \end{bmatrix}}_{\text{unitär}} \underbrace{V_1^*}_{\text{unitär}}$

## Eindeutigkeit:

$\exists v_1$  eindeutig. Nun an, es gebe neben  $v_1$  einen linear unabh. Vektor  $w$  mit  $\|w\|=1, \|Aw\|=b_n$ .

Sei  $v_2 = \frac{w - (v_1^* w)v_1}{\|w - (v_1^* w)v_1\|}$ , dann gilt auch  $\|v_2\|=1, v_2 \perp v_1$  und  $\|Av_2\|=b_n$ . In der Tat gilt

$$(i) (Av_1, Av_2) = 0 : (\text{x}) \& \text{ die Beliebigkeit von } v_2, \dots, v_n \Rightarrow 0 = (w)_n = v_1^* Av_2 = \frac{(Av_1)^*}{b_n} Av_2$$

$$(\text{ii}) w = c v_1 + s v_2 \text{ für } c, s \in \mathbb{R} \text{ mit } c^2 + s^2 = 1$$

$$\text{und somit } b_n^2 = \|Aw\|^2 = c^2 \|Av_1\|^2 + s^2 \|Av_2\|^2 \Rightarrow s^2 b_n^2 = s^2 \|Av_2\|^2$$

Sei nun  $A = U \Sigma V^*$ , und die Einträge  $b_1, b_2, \dots$  von  $\Sigma$  seien paarweise verschieden.

Dann  $b_n = \|Av_i\| = \|\sum_{\substack{V^* v_i \\ =: u_i}}\| \leq b_n$  mit Gleichheit  $\Leftrightarrow v_i = \begin{pmatrix} 0 \\ \vdots \\ 0 \\ 1 \end{pmatrix}$  für  $|v_i|=1$ , jedoch  $v_1 \perp v_2 \not\perp$   $\square$

Thm: 1)  $r = \text{Rang}(A) \Leftrightarrow b_1, \dots, b_r \neq 0 \& b_s = 0 \forall s > r$

$$2) \text{Bild}(A) = \langle u_1, \dots, u_r \rangle, \text{Kern}(A) = \langle v_{r+1}, \dots, v_n \rangle$$

$$3) \|A\| = b_n, \|A\|_F = \sqrt{b_1^2 + \dots + b_n^2} \text{ für die Frobenius-Norm } \|A\|_F = \sqrt{\sum_{i,j} |A_{ij}|^2}$$

4) die nichttriviale Eigenwerte von  $A^* A$  und  $A A^*$  sind  $b_1^2, \dots, b_r^2$

5) für  $A^* = A$  sind die Singularwerte die Beträge der Eigenwerte

$$6) |\det A| = \prod_{i=1}^r b_i \quad \text{für } A \in \mathbb{K}^{n \times n}$$

$$7) A = \sum_{i=1}^r b_i (u_i v_i^*) = \text{Summe von } r \text{ Rang-1-Matrizen}$$

$$8) \|A - A_B\| = \inf_{B \in \mathbb{K}^{n \times n}, \text{Rang } B \leq r} \|A - B\| = b_{r+1} \quad \text{für } A_B = \sum_{i=1}^r b_i (u_i v_i^*)$$

$$9) \|A - A_V\|_F = \inf_{B \in \mathbb{K}^{n \times n}, \text{Rang } B \leq r} \|A - B\|_F = \sqrt{b_{r+1}^2 + \dots + b_n^2}$$

Bew: 1)  $U, V$  haben vollen Rang  $\Rightarrow \text{Rang } A = \text{Rang } \Sigma = \# \text{nichttriviale Einträge von } \Sigma$

$$2) \text{folgt aus } \text{Bild } \Sigma = \langle e_1, \dots, e_r \rangle \subset \mathbb{K}^n, \text{Kern } \Sigma = \langle e_{r+1}, \dots, e_n \rangle \subset \mathbb{K}^n$$

$$3) \|A\| = \|\Sigma\| = \max_i |b_i| = b_n; \|A\|_F = \sqrt{\text{tr } A^* A} = \sqrt{\text{tr } V \Sigma^* \Sigma V} = \sqrt{\text{tr } V^* V \Sigma^* \Sigma} = \sqrt{\text{tr } \Sigma^2}$$

4)  $A^* A = V \Sigma^* \Sigma V^* \Rightarrow A^* A$  ist ähnlich zu  $\Sigma^* \Sigma$  mit Eigenwerten  $b_1^2, \dots, b_n^2$ ; analog für  $A A^*$

5)  $\exists Q$  unitär, 1 Diagonalmatrix aus Eigenwerten mit  $A = Q \Lambda Q^*$ ,  $|\Lambda_{11}| \geq |\Lambda_{22}| \geq \dots$

$\Rightarrow A = Q |\Lambda| \underbrace{\text{sign}(\Lambda)}_{\text{unitär}} Q^*$  ist eine SVD von  $A$

$$6) |\det A| = |\det U| \det \Sigma |\det V| = \underbrace{|\det U|}_{=1} |\det \Sigma| |\det V| = |\det \Sigma|$$

$$7) A = U (\Sigma_1 + \dots + \Sigma_r) V^* = u_1 b_1 v_1^* + \dots + u_r b_r v_r^* \quad \text{für } \Sigma_i = \text{diag}(0, \dots, 0, b_i, 0, \dots, 0)$$

$$8) \text{Sei } B \in \mathbb{K}^{n \times n} \text{ mit } \text{Rang } B \leq r, \|A - B\| < b_{r+1}.$$

Kern  $B$  ist ein  $(n-r)$ -dimensionaler Unterraum von  $\mathbb{K}^n$  mit  $\|Aw\| = \|(A-B)w\| \leq b_{r+1} \|w\|$  für  $w \in \text{Kern } B$

$W = \langle v_{r+1}, \dots, v_{n-r} \rangle$  ist ein  $(r+1)$ -dimensionaler Unterraum von  $\mathbb{K}^n$  mit  $\|Aw\| \geq b_{r+1} \|w\|$  für  $w \in W$

9) ohne Beweis  $\square$

Ben: Angenommen, wir können die SVD berechnen, dann kann sie vielfältig numerisch eingesetzt werden, z.B. zum Finden des Rangs, einer Orthonormalbasis des Kerns, der Operatornorm, einer Approximation niedrigen Rangs, ...

```
A = rand(2,2);
[U,S,V] = svd(A); S, U'*U, V'*V, U*S*V'
angle = linspace(0,2*pi,100);
circle = [cos(angle);sin(angle)];
Acircle = A*circle;
subplot(1,2,1);
plot(circle(1,:),circle(2,:),'linewidth',3); axis equal; hold on;
quiver([0 0],[0 0],V(1,:),V(2,:),0,'linewidth',3);
subplot(1,2,2);
plot(Acircle(1,:),Acircle(2,:),'linewidth',3); axis equal; hold on;
quiver([0 0],[0 0],U(1,:)*S,U(2,:)*S,0,'linewidth',3);

img = double(imread('Schloss.png'));
imagesc(img); colormap(gray);
numel(img)
tic; [U,S,V] = svd(img); toc
l = 20; U_ = U(:,1:l); V_ = V(:,1:l); S_ = S(1:l,1:l);
numel(U_) + numel(V_) + numel(diag(S_))
imgCompressed = U_*S_*V_';

```

~~Hinweis: numerischer Fehler~~

## Numerische Fehler & Stabilität

- Modellierungsfehler: Math. Modell beschreibt Realität nur näherungsweise  
Bsp.: Vernachlässigung der Reibung bei hängender Kette
- Diskretisierungsfehler: Numerische Approximation beschreibt nicht das kontinuierliche Modell mit so vielen Freiheitsgraden  
Bsp.: Approximation eines kontinuierlichen Bandes durch endlich viele „Kettenglieder“
- Messfehler: Eingangsdaten sind fehlerbehaftet  
Bsp.: Ungenau gemessene Position der Kettenaufhängung
- Rechenfehler: Entsteht durch Rundung & Abbruch iterativer Verfahren nach endlicher Zeit  
Bsp.: Rundung beim Lösen des Gl.-systems & Abbruch der Fixpunktiteration

In der Vorlesung untersuchen wir Rechenfehler und die Auswirkung von Messfehlern.

Diskretisierungsfehler werden in „Numerischer Analysis“ & „Numerik pDgl.“ behandelt.

Def: (absoluter & relatives Fehler) Sei  $(V, \|\cdot\|)$  ein Vektorraum,  $x$  eine Näherung für  $\hat{x}$ ,  $\Delta x = x - \hat{x}$ .

- absoluter Fehler  $\|\Delta x\|$
- relatives Fehler  $\frac{\|\Delta x\|}{\|\hat{x}\|}$  von  $x$ .

Bsp: Runden wir  $\pi$  auf 3,1 machen wir einen absoluten Fehler von 0,0415...

und einen relativen von  $\frac{0,0415}{\pi} = 0,0132\dots$

Computer speichern und verarbeiten Zahlen in einer endlichen Zahl an Bits

$\Rightarrow$  am Computer gibt es nur endlich viele Zahlen mit „Lücken“ dazwischen

Def: (Gleitkommazahlendarstellung) Es seien  $b \geq 2$  eine Basis,  $p \geq 1$  die Anzahl der Mantissastellen,  $r \geq 1$  die Anzahl der Exponentenstellen.

Eine  $b$ -adische Zahl ist eine Folge  $x = (x_r, x_{r-1}, \dots, x_0)$  mit  $x_i \in \{0, 1, \dots, b-1\}$ , ihr Wert ist  $\pm \sum_{i=0}^r x_i b^i$ .

Menge der Exponenten  $E = \{e \in \mathbb{Z} \mid -b^r < e < b^r\} = b$ -adische Zahlen der Länge  $r$

Menge der Mantissen  $L = \{m \in \mathbb{Z} \mid -b^r < m < b^r\} = b$ -adische Zahlen der Länge  $p$

Menge der Maschinenzahlen  $M = \{\pm m b^{-p+r} \mid m \in L, e \in E\}$

normalisierte  $b$ -adische Darstellung:  $\pm 0.m_1 m_2 \dots m_p b^{e+1}$  mit  $m_1 \neq 0$  (oder 0)

Rundung:  $rd: \mathbb{R} \rightarrow M$ ,  $rd(x) = \underset{y \in M}{\operatorname{argmin}} \|y - x\|$  (nicht eindeutig)

Maschinengenauigkeit  $\varepsilon_m = b^{-p+1/2} = \frac{1}{2} \frac{0.0 \dots 01}{0.10 \dots 0} =$  maximaler relativer Rundungsfehler

Bem: An modernen Computern typischerweise  $b = 2$ ,  $(p, r) = \begin{cases} (23, 7) & \text{IEEE single precision} \\ (52, 10) & \text{IEEE double} \end{cases}$

Def: (Maschinenoperation) Die Operationen  $\otimes$  für  $* \in \{+, -, \cdot, /\}$  sind definiert durch

$$\otimes: M \times M \rightarrow M, \quad m_1 \otimes m_2 = rd(m_1 * m_2)$$

Thm: Der relative Fehler der Maschinenoperationen ist  $\left| \frac{m_1 \otimes m_2 - m_1 * m_2}{m_1 * m_2} \right| \leq \varepsilon_m$  für  $m_1 * m_2 \neq 0$

Bem: Maschinenoperationen sind i.A. nicht assoziativ, z.B.

$$0 = (10^{-20} \oplus 10) \ominus 10 \neq 10^{-20} \oplus (10 \ominus 10) = 10^{-20}$$

Abschätzt kann man ein Rechenproblem auflassen als eine Funktion  $f: X \rightarrow Y$  vom normierten Raum der Daten in den normierten Raum der Lösungen. Ein Paar  $(f, x)$  mit  $x \in X$  wird auch Probleminstanz genannt.

Def: (Kondition) Ein Problem  $(x, f)$  heißt

- gut konditioniert, wenn kleine Perturbationen von  $x$  zu kleinen Änderungen der Lösung führen
- schlecht konditioniert sonst

Def: (Konditionszahl) Sei  $\Delta x$  eine kleine Perturbation von  $x$  und  $\Delta f = f(x + \Delta x) - f(x)$ .

Absolute Konditionszahl des Problems  $f$  an Stelle  $x = \hat{k} = \lim_{\delta \rightarrow 0} \sup_{\|\Delta x\| \leq \delta} \frac{\|\Delta f\|}{\|\Delta x\|}$

Relativ Konditionszahl

$$= k = \lim_{\delta \rightarrow 0} \sup_{\|\Delta x\| \leq \delta} \left( \frac{\|\Delta f\|}{\|f(x)\|} / \frac{\|\Delta x\|}{\|x\|} \right)$$

Bem: Falls  $f$  differenzierbar,  $k = \|Df(x)\|$ ,  $\hat{k} = \frac{\|Df(x)\|}{\|f(x)\| / \|x\|}$

Bsp:  $f: x \mapsto \sqrt{x} \Rightarrow K = \frac{|f'(x)|}{|f(x)|/|x|} = \frac{1}{2} \frac{1}{\sqrt{x}/x} = \frac{1}{2} \Rightarrow$  gut konditioniert

•  $f: (\mathbb{R}^2, \|\cdot\|_\infty) \rightarrow \mathbb{R}, (x_1, x_2) \mapsto x_1 - x_2 \Rightarrow Df(x) = (1 \ -1) \Rightarrow \|Df(x)\|_\infty = 2$

$\Rightarrow K = \frac{2}{|x_1 - x_2| / \max\{|x_1|, |x_2|\}} \gg 1 \text{ für } x_1 \approx x_2 \Rightarrow$  schlecht konditioniert

Dieses Phänomen heißt „Auslöschung“

• Nullstellenbestimmung von Polynomen, gegeben die Monomkoeffizienten:

$$2.8. (x - 1 - \Delta f)(x - 1 + \Delta f) = x^2 - 2x + 1 - \underbrace{\Delta f^2}_{\approx 0} \Rightarrow K = \sup_{\Delta x} \frac{|\Delta f|}{|\Delta x|} \frac{1}{1} = \sup_{\Delta x} \frac{1}{\sqrt{\Delta x}} = \infty$$

% machine epsilon  
eps, (1+eps)-1, (1+eps/2)-1

% a problem

```
f = @(x1, x2) x1 - x2;
x1 = 1; x2 = 1+eps;
% bad conditioning due to extinction
fexact = f(x1, x2)
fpert = f(x1+eps, x2)
abs(fexact-fpert)/abs(fexact)/(eps/abs(x1))
```

Def: (Konditionszahl einer Matrix) Sei  $A \in \mathbb{C}^{m \times m}$ . Die Konditionszahl von A bzgl.  $\|\cdot\|$  ist

$$K(A) = \|A\| \|A^{-1}\|$$

Bew: Typischerweise betrachten wir  $\|\cdot\| = \|\cdot\|_2$ , dann  $K(A) = \frac{\lambda_n}{\lambda_m}$  für die Singularwerte.

$\Rightarrow K(A) = \text{Exzentrizität der Hyperellipse}.$

Thm: Sei  $A \in \mathbb{C}^{m \times m}$  regulär. •  $f: \mathbb{C}^m \rightarrow \mathbb{C}^m, x \mapsto Ax$ , hat Konditionszahl  $K \leq K(A)$   
•  $f: \mathbb{C}^m \rightarrow \mathbb{C}^n$ ,  $b \mapsto \text{Lsg. von } Ax=b$ , hat Konditionszahl  $K \leq K(A)$

In beiden Fällen gibt es Daten, für die Gleichheit gilt.

Bew: •  $K = \sup_{\Delta x} \left( \frac{\|A(x + \Delta x) - Ax\|}{\|Ax\|} / \frac{\|\Delta x\|}{\|x\|} \right) = \sup_{\Delta x} \underbrace{\frac{\|A \Delta x\|}{\|\Delta x\|}}_{\leq \|A\|} \cdot \underbrace{\frac{\|x\|}{\|Ax\|}}_{= \frac{\|A^{-1}x\|}{\|x\|}} = \frac{\|A^{-1}x\|}{\|x\|} \leq \|A^{-1}\| \text{ für } b = Ax$

Gleichheit gilt für die  $x$  mit  $\|A^{-1}(Ax)\| = \|A^{-1}\| \|Ax\|$ .

• zweiter Fall ist  $f: b \mapsto A^{-1}b \Rightarrow$  analog  $\square$

Thm: Sei  $b \in \mathbb{C}^m$ ,  $f: \mathbb{C}^{m \times m} \rightarrow \mathbb{C}^m$ ,  $A \mapsto A^{-1}b$ . Dann ist  $K = K(A)$ .

Bew: Es ist  $\underbrace{(A + \Delta A)(f + \Delta f)}_{b + \Delta A b + A \Delta f + \text{vernachlässigbarer Term}} = b \Rightarrow \Delta f = -A^{-1} \Delta A f$

$b + \Delta A b + A \Delta f + \text{vernachlässigbarer Term}$

$$\Rightarrow \frac{\|\Delta f\|}{\|\Delta A\|} \frac{\|A\|}{\|f\|} \leq \|A\| \|A^{-1}\| \text{ mit Gleichheit für } \Delta A \text{ so dass } \| -A^{-1} \Delta A f \| = \|A^{-1}\| \|\Delta A\| \|f\|$$

Ein solches  $\Delta A$  existiert: Wähle  $z_1, w$  mit  $\|z_1\| = 1$ ,  $\|A^{-1}z_1\| = \|A^{-1}\|$  und  $|f^*w| = \|f\| \|w\|$ ,

dann gilt für  $\Delta A = z_1 w^*$ :  $\|A^{-1} \Delta A f\| = \|A^{-1}\| \|z_1\| \|w\| \|f\|$  und

$$\|\Delta A\| = \sup_{\|x\|=1} \|\Delta A x\| = \sup_{\|x\|=1} |w^* x| = \|w\|^2$$

```
% condition number of random matrix
n = 5;
A = rand(n,n);
cond(A)
[U,S,V] = svd(A); S(1,1)/S(n,n)
% of identity
A = eye(n,n);
cond(A)
% of Vandermonde matrix
A = vander(1:.5:3)
cond(A)
```

Vandermonde Matrix zu  $x_0, \dots, x_n$ :

$$V = \begin{pmatrix} 1 & x_0 & x_0^2 & \dots & x_0^n \\ 1 & x_1 & x_1^2 & \dots & x_1^n \\ 1 & x_2 & x_2^2 & \dots & x_2^n \\ \vdots & \vdots & \vdots & \ddots & \vdots \\ 1 & x_n & x_n^2 & \dots & x_n^n \end{pmatrix}$$

$\sqrt{\cdot}(f_i)$  sind Monomialkoeffizienten des  $(x_0, f_0), \dots, (x_n, f_n)$  interpolierenden Polynoms

Hinweis: . Stabilität

Def: (Landau-Symbole) Seien  $f, g : D \rightarrow \mathbb{R}$  für einen normierten Raum  $D$  (z.B.  $D = \mathbb{R}$  oder  $D = \mathbb{N}$ ).

- $f \in O(g)$  ( $x \rightarrow a$ )  $\Leftrightarrow g \in \Omega(f)$  ( $x \rightarrow a$ )  $\Leftrightarrow \lim_{x \rightarrow a} \frac{\|f(x)\|}{\|g(x)\|} < \infty$
- $f \in o(g)$  ( $x \rightarrow a$ )  $\Leftrightarrow g \in \omega(f)$  ( $x \rightarrow a$ )  $\Leftrightarrow \lim_{x \rightarrow a} \frac{\|f(x)\|}{\|g(x)\|} = 0$
- $f(x) \sim g(x)$   $\Leftrightarrow \exists c, \zeta > 0 : c f(x) \leq g(x) \leq C f(x)$

Bem: •  $a$  kann auch  $\pm \infty$  sein

- häufig ist  $a$  implizit klar  $\Rightarrow (x \rightarrow a)$  wird weggelassen
- $O(g) = \text{Menge aller Funktionen } f \text{ mit } \lim_{x \rightarrow a} \frac{\|f(x)\|}{\|g(x)\|} < \infty$
- oft schreibt man auch  $f(x) = O(g(x))$  statt  $f \in O(g)$

Ein Algorithmus zum Lösen eines Problems  $f: X \rightarrow Y$  kann aufgefasst werden als eine Approximation  $\tilde{f}: X \rightarrow Y$ . I.A.  $\tilde{f} \neq f$ , da bereits die Rundung am Computer Fehler verursacht. Der relative Fehler kann aufgeteilt werden in einen unvermeidbaren Anteil und einen Beitrag durch den Algorithmus: Sei  $\tilde{x}$  etwa Maschinengenauigkeit an  $x$  (z.B.  $\tilde{x} = rd x$ ; nur die Größenordnung soll uns interessieren)

$$\frac{\|\tilde{f}(x) - f(x)\|}{\|f(x)\|} \leq \underbrace{\frac{\|\tilde{f}(x) - f(\tilde{x})\|}{\|f(x)\|}}_{\text{durch Algorithmus bestimmt}} + \underbrace{\frac{\|f(\tilde{x}) - f(x)\|}{\|f(x)\|}}_{\frac{\|f(\tilde{x})\|}{\|f(x)\|} + \zeta \frac{\|\tilde{x} - x\|}{\|x\|}} \leq 1 + \zeta \frac{\|\tilde{x} - x\|}{\|x\|} \leq \epsilon_m$$

Def: (Stabilität) Ein Algorithmus  $\tilde{f}$  für ein Problem  $f$  heißt

impliziter Rundungsfehler  $\epsilon_m \rightarrow 0$

- (vorwärts-) stabil, wenn für kleine Änderungen der Eingangsdaten die Änderung seines Ergebnisses die Größenordnung der unvermeidbaren Fehler nicht übersteigt.

In dieser Vorlesung wollen wir fordern  $\frac{\|\tilde{f}(x) - f(x)\|}{\|f(x)\|} = O(\epsilon_m)$  für ein  $\tilde{x}$  mit  $\frac{\|\tilde{x} - x\|}{\|x\|} = O(\epsilon_m)$

- rückwärts-stabil, wenn  $\tilde{f}(x) = f(\tilde{x})$  für ein  $\tilde{x}$  mit  $\frac{\|\tilde{x} - x\|}{\|x\|} = O(\epsilon_m)$

Bem: Rückwärtsstabil  $\Rightarrow$  vorwärtsstabil; Rückwärtsstabilität einfacher zu prüfen

Thm: Der Algorithmus  $\tilde{f}(x_1, x_2) = \text{rd}(x_1) \ominus \text{rd}(x_2)$  zur Approximation von  $f(x_1, x_2) = x_1 - x_2$  ist rückwärts-stabil.

Bew.: •  $\text{rd}(x_i) = x_i(1 + \varepsilon_i)$  für  $\varepsilon_i = O(\varepsilon_m)$ ,  $i=1,2$

•  $\text{rd}(x_1) \ominus \text{rd}(x_2) = [\text{rd}(x_1) - \text{rd}(x_2)](1 + \varepsilon_3)$  für ein  $\varepsilon_3 = O(\varepsilon_m)$

$$\Rightarrow \tilde{f}(x_1, x_2) = \underbrace{x_1(1 + \varepsilon_1)(1 + \varepsilon_3)}_{\tilde{x}_1} - \underbrace{x_2(1 + \varepsilon_2)(1 + \varepsilon_3)}_{\tilde{x}_2} = f(\tilde{x}_1, \tilde{x}_2)$$

für  $\frac{|\tilde{x}_i - x_i|}{|x_i|} = \varepsilon_i + \varepsilon_3 + \varepsilon_i \varepsilon_3 = O(\varepsilon_m)$

□

Bsp: •  $f: \mathbb{R}^m \times \mathbb{R}^m \rightarrow \mathbb{R}$ ,  $f(x, y) = (x, y)$ ;  $\tilde{f}(x, y) = (\text{rd}x_1 \odot \text{rd}y_1 \oplus (\text{rd}x_2 \odot \text{rd}y_2) \oplus \dots (\text{rd}x_m \odot \text{rd}y_m))$   
ist rückwärtsstabil

Beweis analog zu oben

$$\cdot f: \mathbb{R}^m \times \mathbb{R}^n \rightarrow \mathbb{R}^{m \times n}, f(x, y) = x y^\top; \quad \tilde{f}(x, y) = \begin{pmatrix} \text{rd}x_1 \odot \text{rd}y_1 & \dots & \text{rd}x_n \odot \text{rd}y_n \\ \vdots & & \vdots \\ \text{rd}x_m \odot \text{rd}y_1 & \dots & \text{rd}x_m \odot \text{rd}y_n \end{pmatrix}$$

ist stabil, aber nicht rückwärts-stabil

da  $\tilde{f}(x, y)$  i.A. keine Rang-1-Matrix ist

Dauernegel: erhöht  $f$  die Dimension, ist Rückwärtstabilität selten.

•  $f: \mathbb{R} \rightarrow \mathbb{R}, f(x) = 1 + x$ ;  $\tilde{f}(x) = 1 \odot \text{rd}x$  ist stabil, aber nicht rückwärts-stabil

z.B.  $x = \varepsilon_m/2 \Rightarrow \tilde{f}(x) = 1 = f(\tilde{x})$  mit  $\tilde{x} = 0$ , aber  $\frac{|x - \tilde{x}|}{|x|} = 1$

•  $f: \mathbb{R}^{m \times m} \rightarrow \mathbb{C}^m, f(A) = \text{Eigenwerte von } A$ ;

$\tilde{f}$ : 1. berechne Koeffizienten des charakteristischen Polynoms  $p(t) = \det(tI - A)$

2. finde Nullstellen von  $p$

ist instabil (im Gegensatz zu anderen Algorithmen)

Koeffizienten können mit relativem Fehler  $O(\varepsilon_m)$  berechnet werden, aber Nullstellenbestimmung anhand der Koeffizienten ist schlecht konditioniert!

z.B. Nullstellen von  $t^2 - 2t + 1$  und  $t^2 - 2t + 1 + \varepsilon_m$  unterscheiden sich um  $\sqrt{\varepsilon_m}$

$$\Rightarrow \frac{|\tilde{f}(x) - f(x)|}{|f(x)|} \approx \sqrt{\varepsilon_m}$$

A = [1+1e-15 0; 0 1]; evals = [A(1,1); A(2,2)];

% eigenvalues (stable algorithm)

eig(A)-evals

% characteristic polynomial

p = poly(A)

roots(p)-evals

Thm: Sei  $\tilde{f}$  ein rückwärts-stabiler Algorithmus für  $f: X \rightarrow Y$ , dann  $\frac{\|\tilde{f}(x) - f(x)\|}{\|f(x)\|} = O(\kappa(x) \varepsilon_m)$  rc.Zähler

Bew: 
$$\frac{\|\tilde{f}(x) - f(x)\|}{\|f(x)\|} = \frac{\|f(\tilde{x}) - f(x)\|}{\|f(x)\|} \leq (\kappa(x) + o(1)) \frac{\|\tilde{x} - x\|}{\|x\|} = O(\kappa(x) \varepsilon_m)$$
 für ein  $\tilde{x}$  nah bei  $x$

Bem: • Die Fehlerrabschätzung aus Rückwärtstabilität und Kondition heißt „Rückwärts-Fehleranalyse“ und ist häufig einfacher als die „Vorwärts-Fehleranalyse“, d.h. das Abschätzen und summieren der einzelnen Rundungsfehler in jedem Schritt.

Hinweis: • Gauß-Elimination

### Dirkte Lösungsverfahren für linear Gleichungssysteme

#### Vorwärts- & Rückwärts-Einsetzen

Sei  $A \in \mathbb{R}^{m \times m}$  eine obere (unter) Dreiecksmatrix,  $A = \begin{pmatrix} \Delta \\ \Delta \end{pmatrix}$  ( $A = \begin{pmatrix} \Delta \\ \Delta \end{pmatrix}$ ).

Man kann  $Ax = b$  lösen mittels Rückwärts- (Vorwärts-) Einsetzen.

Hier Vorwärts-Einsetzen (Rückwärts analog).

Alg: (Vorwärts-Einsetzen) Input:  $A = \begin{pmatrix} a_{11} & & & \\ a_{21} & a_{22} & & \\ \vdots & & \ddots & \\ a_{m1} & \cdots & \cdots & a_{mm} \end{pmatrix}$ ,  $b = \begin{pmatrix} b_1 \\ \vdots \\ b_m \end{pmatrix}$

$$x_1 = b_1 / a_{11}$$

$$x_2 = (b_2 - a_{21}x_1) / a_{22}$$

$$x_3 = (b_3 - a_{31}x_1 - a_{32}x_2) / a_{33}$$

$$x_m = (b_m - \sum_{i=1}^{m-1} a_{mi}x_i) / a_{mm}$$

Def: (flop) Ein flop („floating point operation“) ist eine Einheit zum Bestimmen der Komplexität eines Algorithmus. Jede elementare Rechenoperation auf einem Computer ( $+, -, *, /, \sqrt{\cdot}$ ) zählt als ein flop.

Bem: Mit der Bewertung von flops macht man automatisch die Vereinfachung, dass jede elementare Operation gleich aufwändig ist und dass sie alle seriell ausgeführt werden (was bei modernen Computern nicht der Fall ist  $\rightarrow$  genauer Analyse nötig).

Thm: Aufwand des Vorwärts-Einsetzens  $\sim m^2$

Bew:  $m$  Schritte, im  $i$ -ten Schritt eine Division,  $i-1$  Multiplikationen & Additionen  
 $\Rightarrow$  Aufwand =  $\sum_{i=1}^m (1 + 2(i-1)) = m + 2 \sum_{j=0}^{m-1} j = m + (m-1)m = m^2$  □

Thm: Vorwärts-einsetzen für  $Lx = b$  ist rückwärts-stabil, d.h. die berechnete Lösung  $\tilde{x}$  erfüllt  $(L + \delta L)\tilde{x} = b$  für eine unter  $\Delta$ -Matrix  $\delta L \in \mathbb{R}^{n \times n}$  mit  $\frac{\|\delta L\|}{\|L\|} = O(\varepsilon_m)$

Bew: Vollst. Induktion nach  $m$ .

$$\text{Anfang: } \tilde{x}_n = \text{rd } b_n \ominus \text{rd } a_{nn} = \frac{b_n(1+\varepsilon_n)}{a_{nn}(1+\varepsilon_1)} (1+\varepsilon_3) \text{ für } \varepsilon_1, \varepsilon_2, \varepsilon_3 = O(\varepsilon_m)$$

$$= b_n / \tilde{a}_{nn} \quad \text{mit } \tilde{a}_{nn} = a_{nn} \frac{(1+\varepsilon_2)(1+\varepsilon_3)}{1+\varepsilon_n} = a_{nn} (1+O(\varepsilon_m))$$

Schritt: Sei  $L' = \begin{pmatrix} L_{11} & & & \\ \vdots & \ddots & & \\ & & L_{mm} & \\ & & \cdots & L_{m-n,m-n} \end{pmatrix}$ ,  $\delta L' \in \mathbb{R}^{(m-n) \times (m-n)}$  unter  $\Delta$ -Matrix mit

$$(L' + \delta L') \begin{pmatrix} \tilde{x}_n \\ \vdots \\ \tilde{x}_{m-n} \end{pmatrix} = \begin{pmatrix} b_n \\ \vdots \\ b_{m-n} \end{pmatrix} \quad \& \quad \frac{\|\delta L'\|}{\|L'\|} = O(\varepsilon_m)$$

$$\begin{aligned} \tilde{x}_m &= (\text{rd } b_m \ominus \text{rd } L_{mn} \odot \tilde{x}_n \ominus \text{rd } L_{m-1,n} \odot \tilde{x}_{m-1} \ominus \dots) \ominus \text{rd } L_{mm} \\ &= \left[ \left[ (b_m(1+\varepsilon_0) - L_{mn}(1+\varepsilon_1) \tilde{x}_n(1+\varepsilon_2)(1+\varepsilon_3) - \dots) / [L_{mm}(1+\varepsilon')] \right] (1+\varepsilon'') \right] \end{aligned}$$

Nach Ausmultiplizieren ergibt sich

$$\tilde{x}_m = \frac{b_m}{L_{mm}} (1+\varepsilon_0) - \tilde{x}_n \frac{L_{mn}}{L_{mm}} (1+\varepsilon_1) - \dots - \tilde{x}_{m-n} \frac{L_{m-n,n}}{L_{mm}} (1+\varepsilon_{m-n})$$

für  $\varepsilon_0, \dots, \varepsilon_{m-1} = O(\varepsilon_m)$

$$\text{wähle } \delta L_{mm} = L_{mm} \left( \frac{1}{1+\varepsilon_0} - 1 \right) = L_{mm} O(\varepsilon_m)$$

$$\delta L_{mi} = L_{mi} \left( \frac{1+\varepsilon_i}{1+\varepsilon_0} - 1 \right) = L_{mi} O(\varepsilon_m)$$

dann ist  $\underbrace{\left[ L + \begin{pmatrix} \delta L' & & & \\ \delta L_{mn} & \cdots & \delta L_{m-n,n} \end{pmatrix} \right]}_{=: \delta L} \tilde{x} = b$  und  $\frac{\|\delta L\|}{\|L\|} = O(\varepsilon_m)$   $\square$

Bew: Der Beweis liefert sogar  $\frac{|\delta L_{ij}|}{|L_{ij}|} = O(\varepsilon_m)$

### LU-Zerlegung

Sei  $A \in \mathbb{R}^{n \times n}$  regulär. Um  $Ax = b$  zu lösen, können wir  $A$  zerlegen in eine unter und obere Dreiecksmatrix,  $A = LU$ ,  $\begin{pmatrix} \square & & \\ & \triangle & \\ & & \triangle \end{pmatrix} = \begin{pmatrix} \square & & \\ & \triangle & \\ & & \triangle \end{pmatrix} \begin{pmatrix} \square & & \\ & \triangle & \\ & & \triangle \end{pmatrix}$ ,

und dann  $x = U^{-1}(L^{-1}b)$  per Vorwärts- und Rückwärts-Einsetzen berechnen.

Die Zerlegung geschieht mittels Gauß-Elimination.

Alg: (Gauß-Elimination) input:  $A \in \mathbb{R}^{n \times n}$ ,  $B \in \mathbb{R}^{n \times m}$ , output:  $U = A^m$ ,  $L = B^m$

for Zeile  $i = 1$  bis  $n-1$

subtrahiere  $b_{ji} = \frac{A_{ji}}{A_{ii}}$ -faches der  $i$ -ten Zeile von  $A^i$  bzw  $B^i$  von der  $j$ -ten Zeile von  $A^i$  bzw  $B^i$

( $\Rightarrow$  alle Einträge unter  $A_{ii}^i$  werden zu 0)

nenne neue Matrizen  $A^{i+1}, B^{i+1}$

end

Der i-te Schritt kann aufgefasst werden als Linksmultiplikation der U.  $\Delta$ -Matrix  $L_i =$   
 i-te Zeile  $\rightarrow \begin{pmatrix} 1 & & & \\ \vdots & 1 & & \\ -L_{1,i}, 1 & \ddots & & \\ \vdots & & \ddots & 1 \\ -L_{m,i} & & & 1 \end{pmatrix}$  mit  $L_{j,i} = \frac{A_{ji}^i}{A_{ii}^i}$

$$\Rightarrow U = A^m = \underbrace{L_{m-n} \cdots L_2 L_n}_L A$$

$$\Rightarrow L = L_1^{-n} L_2^{-n} \cdots L_{m-n}^{-n} = \begin{pmatrix} 1 & & & \\ L_{2,1} & 1 & & \\ \vdots & L_{3,2} & \ddots & \\ L_{m,n} & L_{m,2} & \cdots & 1 \end{pmatrix} \quad \text{mit } L_i^{-n} = \begin{pmatrix} 1 & & & \\ & 1 & & \\ & & L_{i,i}, 1 & \ddots \\ & & \vdots & 1 \end{pmatrix}$$

Bem: Statt  $B^m$  mit zu berechnen, werden einfach die  $b_{ij}$  gespeichert.

Bsp:  $A = \begin{pmatrix} 2 & 1 & 1 \\ 4 & 3 & 3 \\ 8 & 7 & 9 \end{pmatrix}; L_1 A = \begin{pmatrix} 1 & & \\ -2 & 1 & \\ -4 & & 1 \end{pmatrix} A = \begin{pmatrix} 2 & 1 & 1 \\ 1 & 3 & 5 \\ 4 & 3 & 9 \end{pmatrix}$

$$L_2 L_1 A = \begin{pmatrix} 1 & & \\ & 1 & \\ & -3 & 1 \end{pmatrix} L_1 A = \begin{pmatrix} 2 & 1 & 1 \\ 1 & 1 & 1 \\ 1 & 1 & 2 \end{pmatrix} = U$$

$$L = L_1^{-n} L_2^{-n} = \begin{pmatrix} 1 & & \\ 2 & 1 & \\ 4 & 3 & 1 \end{pmatrix} \begin{pmatrix} 1 & & \\ & 1 & \\ & 3 & 1 \end{pmatrix} = \begin{pmatrix} 1 & & \\ 2 & 1 & \\ 4 & 3 & 1 \end{pmatrix}$$

Thm: Aufwand der Gauß-Elimination  $\sim \frac{2}{3} m^3$  flops

Bew:  $m-1$  Schritte

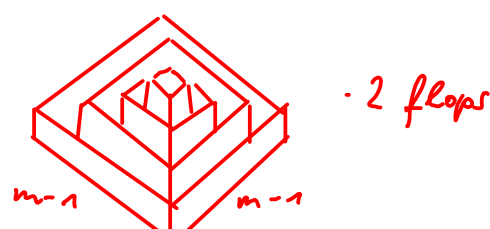
- im i-ten Schritt multipliziert eine Zeile  $\hat{a}_{m-i+1}$  Einträge mit  $m-i$  Skalen und addiere sie auf  $m-i$  Zeilen  $\hat{a}_{m-i+1}$  Einträge

$$\Rightarrow \text{Aufwand} = \sum_{i=1}^{m-1} (m-i)(m-i+1) 2 = 2 \sum_{j=1}^{m-1} j(j+1) = 2 \sum_{j=1}^{m-1} j^2 + j$$

$$= 2 \left[ \frac{(m-1)m(2m-1)}{6} + \frac{(m-1)m}{2} \right] \sim \frac{2}{3} m^3 \quad \square$$

Graphische Visualisierung: In ersten Schritt wird auf allen unteren Matrixeinträgen operiert:  $\begin{pmatrix} \text{---} \\ \text{---} \\ m-n \end{pmatrix} \Rightarrow (m-n)^2$  Einträge, 2 flops/Eintrag  
 2. Schritt:  $\begin{pmatrix} \text{---} \\ \text{---} \\ \vdots \\ \text{---} \\ \text{---} \end{pmatrix} \Rightarrow (m-2)^2$  Einträge  $\hat{a}_{m-i+1}$  2 flops

gesamt:



$$\text{Volumen} = \frac{1}{3} \text{ Würfenvolumen} = \frac{1}{3} (m-1)^3$$

$$\Rightarrow \sim \frac{2}{3} m^3 \text{ flops}$$

## Hinweis: · Pivoting

Gauß-Elimination ist nicht stabil und kann sogar fehlschlagen. Bspw. bricht der Algorithmus für die Matrix  $A = \begin{pmatrix} 0 & 1 \\ 1 & 1 \end{pmatrix}$  im ersten Schritt zusammen, obwohl  $\text{rk}(A) = 2$ .

Für  $A = \begin{pmatrix} 10^{-20} & 1 \\ 1 & 1 \end{pmatrix}$  funktioniert der Algorithmus wieder und liefert

$$E = \begin{pmatrix} 1 & 0 \\ \text{nd } 10^{-20} & 1 \end{pmatrix} = \begin{pmatrix} 1 & 0 \\ 10^{-20} & 1 \end{pmatrix}, \tilde{u} = \begin{pmatrix} \text{nd } 10^{-20} & 1 \\ 0 & 1 \ominus \text{nd } 10^{-20} \end{pmatrix} = \begin{pmatrix} 10^{-20} & 1 \\ 0 & -10^{-20} \end{pmatrix}.$$

Vorwärts- und Rückwärts-Einschätzen für rechte Seite  $b = \begin{pmatrix} 1 \\ 0 \end{pmatrix}$  liefert nun  $\tilde{x} = \begin{pmatrix} 0 \\ 1 \end{pmatrix}$

statt der richtigen Lösung  $x \approx \begin{pmatrix} -1 \\ 1 \end{pmatrix}$ .  $\Rightarrow \frac{\|f(A) - f(A + \delta A)\|}{\|f(A + \delta A)\|} \approx \Omega(1) \quad \forall \delta A \text{ klein}$

Die Gauß-Elimination kann mittels „Pivotierung“ oder „Pivoting“ stabilisiert werden.

Statt im  $k$ -ten Schritt alle Einträge unter  $(k,k)$  zu eliminieren, können wir auch

Einträge in anderen Zeilen und Spalten eliminieren:

$$\left( \begin{array}{cccc} x & x & x & x \\ x & x & x & x \\ x & x & x & x \\ x & x & x & x \end{array} \right) \rightarrow \left( \begin{array}{cccc} x & x & x & x \\ x & 0 & x & x \\ x & x & x & x \\ x & 0 & x & x \end{array} \right)$$

*Pivot - Element*

Dies ist äquivalent dazu, die Spalten und Zeilen von  $A$  erst zu permutieren und dann Gauß-Elimination durchzuführen. Für gute Stabilität sollte man ein betragsmäßig möglichst großes Pivot-Element wählen. Würde man im  $k$ -ten Schritt aus allen  $m-k$  noch nicht zur Elimination benötigten Zeilen ( $\geq m-k$  Null-Null-Einträgen) das betragsmäßig größte Element heraus suchen (sog. vollständige Pivotierung), würde dies  $(m-k)^2$  Aufwand bedeuten, insgesamt also  $\sum_{k=1}^{m-1} (m-k)^2 \sim \frac{m^3}{3}$ . Stattdessen suchen nur über Spalte:

Bem:  $k$ -ter Schritt äquivalent zu einer Permutation  $P_k$  und Multiplikation von  $L_k$

$$\Rightarrow L_{m-n} P_{m-n} \cdots L_2 P_2 L_1 P_1 A = U$$

Bsp:  $A = \begin{pmatrix} 2 & 1 & 1 \\ 4 & 3 & 3 \\ 8 & 7 & 9 \end{pmatrix} \Rightarrow P_1 A = \begin{pmatrix} 1 & 1 & 1 \\ 1 & 1 & 1 \\ 8 & 7 & 9 \end{pmatrix} A = \begin{pmatrix} 8 & 7 & 9 \\ 4 & 3 & 3 \\ 2 & 1 & 1 \end{pmatrix}$

*Pivot*

$$L_1 P_1 A = \begin{pmatrix} 1 & & \\ -\frac{1}{2} & 1 & \\ -\frac{1}{4} & & 1 \end{pmatrix} P_1 A = \begin{pmatrix} 8 & 7 & 9 \\ -\frac{1}{2} & -\frac{3}{2} & \\ -\frac{3}{4} & -\frac{5}{4} & \end{pmatrix}$$

$$P_2 L_1 P_1 A = \begin{pmatrix} 1 & & \\ & 1 & \\ & & 1 \end{pmatrix} L_1 P_1 A = \begin{pmatrix} 8 & 7 & 9 \\ -3/4 & -5/4 & \\ -1/2 & -3/2 & \end{pmatrix}$$

$$L_2 P_2 L_1 P_1 A = \begin{pmatrix} 1 & & \\ & 1 & \\ -2/3 & & 1 \end{pmatrix} P_2 L_1 P_1 A = \begin{pmatrix} 8 & 7 & 9 \\ -3/4 & -5/4 & \\ -3/6 & & \end{pmatrix}$$

Bem:  $L_{m-n} P_{m-n} \cdots L_n P_n = (\overbrace{L'_{m-n} \cdots L'_n}^{\Delta}) (\overbrace{P_{m-n} \cdots P_n}^T)$  für  
 $L'_k = P_{m-n} \cdots P_{k+1} L_k P_{k+1}^{-1} \cdots P_{m-n}^{-1}$ . Hier werden nur Zeilen  $> k$  permuiert  
 $\Rightarrow L'_k$  ist immer noch unter  $\Delta$ -Matrix  
 $\Rightarrow$  Verfahren liefert  $\tilde{L}' P A = U$  bzw.  $P A = L U$

Alg: (Gauß-Erl. mit partieller Pivotierung) Input:  $U \in \mathbb{K}^{m \times m}$ ,  $L = P = I$

for  $k=1$  bis  $m-1$

wähle  $i \geq k$  mit  $|U_{i,k}|$  maximal

vertausche Zeilen  $i \& k$  in  $A, L$  und  $P$

for  $j=k+1$  bis  $m$

$$L_{j,k} = U_{j,k} / U_{k,k}$$

$$U_{j,k:m} = U_{j,k:m} - L_{j,k} U_{k,k:m}$$

end

and

Bem: Vollständige Pivotierung permuiert auch die Spalten, d.h. im  $k$ -ten Schritt werden an  $A$  eine Permutation  $P_k$  und unter  $\Delta$ -Matrix  $L_k$  von links und eine Permutation  $Q_k$  von rechts multipliziert,

$$L_{m-n} P_{m-n} \cdots L_n P_n A \underbrace{Q_n \cdots Q_{m-n}}_Q = U \quad \Leftrightarrow \quad P A Q = L U$$

Man kann zeigen:

Thm: Sei  $A \in \mathbb{K}^{m \times m}$  regulär mit exakter LU-Zerlegung  $A = L U$ . Dann liefert die Gauß-Elimination ohne Pivotierung Matrizen  $\tilde{L}, \tilde{U}$  mit

$$\tilde{U} = A + \delta A \quad , \quad \frac{\|\delta A\|}{\|L\| \|U\|} = O(\varepsilon_m).$$

Bem:

- Für (partielle oder vollständige) Pivotierung denken wir uns im Theorem einfach  $A$  ersetzt durch die Permutation  $P A Q$
- $\frac{\|\delta A\|}{\|A\|} = O(\varepsilon_m)$  würde Rückwärts-Stabilität bedeuten
- bei (partieller) Pivotierung: Einträge von  $\tilde{L}$  im Betrag  $\leq 1$ , Diagonaleinträge = 1  
 $\Rightarrow \|L\| = O(1) \quad \Rightarrow \quad \frac{\|\delta A\|}{\|A\|} = O(\varepsilon_m) \frac{\|U\|}{\|A\|} = O(p \varepsilon_m) \quad$  für  $p = \frac{\max_{ij} |U_{i,j}|}{\max_{ij} |A_{i,j}|}$

Lemma: Für Gauß-Elimination mit partieller Pivotisierung ist  $\beta = \frac{\max_{ij} |U_{ij}|}{\max_{ij} |A_{ij}|} \leq 2^{m-n}$ .  
Die Schranke ist scharf.

Bew.: Im  $k$ -ten Schritt sei  $z_k = \max_{i,j \geq k} |U_{ij}|$ .

Zur  $j$ -ten Zeile wird das  $-L_{j,k} \in [-1, 1]$  -fache der  $k$ -ten addiert

$\Rightarrow$  anschließend kann sich der betragsmäßig maximale Eintrag der  $(k:m, k:m)$ -Matrix höchstens verdoppelt haben

$$\Rightarrow z_{k+1} \leq 2 z_k$$

$$\Rightarrow \text{am Ende } \max_{ij} |U_{ij}| \leq \max(z_1, \dots, z_m) \leq 2^{m-n} z_n = 2^{m-n} \max_{ij} |A_{ij}|$$

Für  $A = \begin{pmatrix} 1 & & & \\ -1 & 1 & & \\ -1 & -1 & 1 & \\ \vdots & \vdots & \ddots & \vdots \\ -1 & -1 & \dots & -1 & 1 \end{pmatrix}$  ergibt sich  $U = \begin{pmatrix} 1 & & & \\ 1 & 1 & & \\ 1 & 1 & 1 & \\ \vdots & \vdots & \ddots & \vdots \\ 1 & 1 & \dots & 1 & 2^{m-n} \end{pmatrix}$

□

Kor: Die Gauß-Elimination mit partieller Pivotisierung ist rückwärtssstabil.

Bem: Wir wissen  $L\tilde{U} = A + \delta A$  mit  $\frac{\|\delta A\|}{\|A\|} = O(2^m \varepsilon_m)$ . Dies impliziert wegen  $O(2^m \varepsilon_m) = O(\varepsilon_m)$  die Rückwärtssstabilität, die Konstante  $2^m$  ist aber bei praktischen Anwendungen nicht vernachlässigbar! Bereits für  $m = 160$  kann  $\frac{\|\delta A\|}{\|A\|} \approx 2^{160} \varepsilon_m \approx 10^{16} \varepsilon_m \approx 1$  auf typischen Computern passieren. Die Matrizen, für die dies geschieht, sind jedoch statistisch so selten, dass partielle Pivotisierung in der Praxis sehr stabil ist.

```
m = 10;
A = rand(m,m);
```

```
% partial pivoting
[L,U,P] = lu(A); norm(L*U-P*A)
subplot(1,2,1); imagesc(L); colorbar;
subplot(1,2,2); imagesc(U); colorbar
```

```
[L2,U2] = lu(A); norm(U-U2), norm(P'*L-L2)
```

```
% total pivoting
[L,U,P,Q] = lu(A);
[L,U,P,Q] = lu(sparse(A)); norm(L*U-P*A*Q)
```

```
% stability for random matrices
dimensions = round(logspace(1,3,5))
```

```
for m = dimensions
```

```
    for i = 1:100
        A = randn(m,m);
        [L,U] = lu(A);
        loglog( m, max(abs(U(:))) / max(abs(A(:))), 'x' ); hold on;
    end
end
loglog(dimensions,sqrt(dimensions),'linewidth',3);
```

versuche auch  $A = \text{rand}(m,m)$   
 $\text{dimensions}.^{1(2/3)}$

# Heute: • Strassen-Algorithmus & Cholesky-Zerlegung

Dirichlet Löser schneller als  $O(m^3)$

Seien  $A, B \in \mathbb{R}^{m \times m}$ . Der Standard-Algorithmus zur Multiplikation der Matrizen berechnet  $(AB)_{ij} = A_{i1}B_{1j} + \dots + A_{im}B_{mj}$  mit insgesamt  $m^2(2m-1) \approx 2m^3$  flops. Lange Zeit dachte man, dies wäre optimal. 1969 zeigte Strassen, dass tatsächlich nur  $O(m^{\log_2 7})$  Operationen nötig sind! Mittlerweile gibt es noch schnellere Algorithmen mit Exponent noch näher bei 2.

Setze  $A = \begin{pmatrix} A_{11} & A_{12} \\ A_{21} & A_{22} \end{pmatrix}, B = \begin{pmatrix} B_{11} & B_{12} \\ B_{21} & B_{22} \end{pmatrix}, C = AB = \begin{pmatrix} C_{11} & C_{12} \\ C_{21} & C_{22} \end{pmatrix}$

$$\Rightarrow C_{11} = A_{11}B_{11} + A_{12}B_{21}$$

$\Rightarrow$  insgesamt 4 Additionen und 8 Multiplikationen von Matrizen halber Größe

$$\Rightarrow \text{Aufwand}(m) = 4\left(\frac{m}{2}\right)^2 + 8 \text{Aufwand}\left(\frac{m}{2}\right) = (2m-1)m^2 \text{ flops} \quad (\text{Induktion})$$

$\Rightarrow$  noch nichts gewonnen

Alg: (Strassen-Algorithmus)

$$M_1 := (A_{11} + A_{12})(B_{11} + B_{21})$$

$$M_2 := (A_{12} + A_{22})B_{11}$$

$$M_3 := A_{11}(B_{12} - B_{22})$$

$$M_4 := A_{22}(B_{21} - B_{11})$$

$$M_5 := (A_{11} + A_{12})B_{22}$$

$$M_6 := (A_{21} - A_{11})(B_{11} + B_{12})$$

$$M_7 := (A_{12} - A_{22})(B_{21} + B_{22})$$

$$C_{11} := M_1 + M_4 - M_5 + M_7$$

$$C_{12} := M_3 + M_5$$

$$C_{21} := M_2 + M_6$$

$$C_{22} := M_1 - M_2 + M_3 + M_6$$

Bem: Die Berechnung der Produkte  $M_1, \dots, M_7$  geschieht rekursiv wieder mit den selben Alg.

Thm: Aufwand des Strassen-Alg. =  $O(m^{\log_2 7})$

Bew: •  $\mu(m)$ ,  $\alpha(m)$ ,  $\beta(m)$  sei Anzahl an flop-Multiplikationen, -Additionen, Gesamt-flops

$$\cdot \mu(1) = 1, \mu(2^k) = 7\mu(2^{k-1}) = \dots = 7^k \mu(1) = 7^k = m^{\log_2 7}$$

$$\cdot \alpha(1) = 0, \alpha(2^k) = 7\alpha(2^{k-1}) + 18\alpha(2^{k-1})^2 = 6(7^k - 4^k) \quad (\text{vollst. Ind.})$$

$$\cdot \beta(m) = \beta(2^k) = 7^{k+1} - 6 \cdot 4^k = O(m^{\log_2 7})$$

□

Analog hat Strassen einen ebenso schnellen Algorithmus zur Matrix-Inversion gefunden.

Alg: (Strassen-Alg zur Inversion) input:  $A = \begin{pmatrix} A_{11} & A_{12} \\ A_{21} & A_{22} \end{pmatrix}$ , output:  $B = A^{-1} = \begin{pmatrix} B_{11} & B_{12} \\ B_{21} & B_{22} \end{pmatrix}$

$$M_1 = A_{11}^{-1} \quad M_2 = A_{21} M_1, \quad M_3 = M_1 A_{12}$$

$$M_4 = A_{21} M_3 \quad M_5 = M_4 - A_{22} \quad M_6 = M_5^{-1}$$

$$B_{12} = M_3 M_6 \quad B_{21} = M_6 M_2 \quad M_7 = M_3 B_{21}$$

$$B_{11} = M_1 - M_7 \quad B_{22} = -M_6$$

Bem: Die auftretenden Inversionen und Multiplikationen werden wieder mit dem Strassen-Alg. durchgeführt.

Thm: Aufwand (Strassen-Inversion) =  $O(m^{\log_2 7})$

Bew: Sei wieder  $m = 2^k$ ,  $\sigma(m) = \text{Aufwand}$

$$\cdot \sigma(1) = 1, \quad \sigma(2^{k+1}) = 2\sigma(2^k) + 6 \underbrace{(7^{k+1} - 6 \cdot 4^k)}_{\text{Matrix-Inversion}} + 2 \underbrace{(2^k)^2}_{\text{-Multiplikation}} \quad \text{-Addition}$$

$$\cdot \sigma(2^k) = \frac{42}{5} 7^k + \frac{48}{5} 2^k - 17 \cdot 4^k = O(7^k) \quad \text{per vollst. Induktion} \quad \square$$

Bem: Das Lösen von  $Ax = b$  mit dem Strassen-Alg. kostet insgesamt  $O(m^{\log_2 7})$  flops zur Berechnung von  $A^{-1}$  und  $O(m^2)$  für  $A^{-1}b$ , also gesamt  $O(m^{\log_2 7})$  flops.  
Der overhead bzw. die Konstanten im Strassen- und noch schnelleren Algorithmen sind so, dass sie erst für sehr große  $m$  effizienter als Gauß-Elimination werden.  
Daher sind sie in der Praxis kaum relevant.

In der Praxis treten oft Matrizen mit spezieller Struktur auf. Für diese lassen sich ebenfalls schnelle Lösungsalgorithmen finden. Ein Beispiel sind Tridiagonalmatrizen , die typischerweise nach der Diskretisierung elliptischer Dgl. in 1D auftreten. Die Gauß-Elimination für solche Matrizen ist auch als Thomas-Algorithmus bekannt.

Thm: Aufwand des Thomas-Alg. =  $O(m)$

### Cholesky-Zerlegung

Für  $A \in \mathbb{C}^{m \times m}$  hermitisch positiv definit stellt sich heraus, dass Pivotisierung für die LU-Zerlegung nicht nötig ist. Dies ist von Vorteil, da durch Pivotisierung die Symmetrie gestört würde; durch die Symmetrie kann man bei der Berechnung im Vergleich zur Standard-LU-Zerlegung die Hälfte der Operationen einsparen. Tatsächlich liefert die LU-Zerlegung ohne Pivotisierung automatisch eine Zerlegung  $A = L U$  mit  $U = D L^*$  für eine positive

Diagonalmatrix  $D$ . Setzen wir  $R = (L + \overline{D})^*$ , so erhalten wir die sog. Cholesky-Zerlegung  $A = R^* R$ .

Idee für den Algorithmus:

$$A = \begin{pmatrix} A_{nn} & w^* \\ w & K \end{pmatrix} = \underbrace{\begin{pmatrix} 1 & 0 \\ \frac{w}{A_{nn}} & I \end{pmatrix}}_{\text{Gauß-Elimination}} \begin{pmatrix} A_{nn} & w^* \\ 0 & K - \frac{ww^*}{A_{nn}} \end{pmatrix}$$

Um die Symmetrie zu erhalten, werden nun ganz analog Nullen in der ersten Zeile eingelegt:

$$A = \begin{pmatrix} 1 & 0 \\ \frac{w}{A_{nn}} & I \end{pmatrix} \begin{pmatrix} A_{nn} & 0 \\ 0 & K - \frac{ww^*}{A_{nn}} \end{pmatrix} \begin{pmatrix} 1 & \frac{w^*}{A_{nn}} \\ 0 & I \end{pmatrix}$$

Den Eintrag  $A_{nn}$  teilt man typischerweise noch auf: Mit  $\alpha = \sqrt{A_{nn}}$  ist

$$A = \underbrace{\begin{pmatrix} \alpha & 0 \\ \frac{w}{\alpha} & I \end{pmatrix}}_{R_1^*} \underbrace{\begin{pmatrix} 1 & 0 \\ 0 & K - \frac{ww^*}{A_{nn}} \end{pmatrix}}_{\text{Gauß-Elimination}} \underbrace{\begin{pmatrix} \alpha & w^*/\alpha \\ 0 & I \end{pmatrix}}_{R_n}$$

Nun wird analog mit der Elimination der 2. Zeile & Spalte und so weiter fortgefahren, was

$$A = \underbrace{R_1^* R_2^* \dots R_m^*}_{R^*} \underbrace{R_m \dots R_n}_R$$

ergibt.

Alg: (Cholesky-Zerlegung) input:  $R = A$

for  $k = 1$  bis  $m$

for  $j = k+1$  bis  $m$

$$R_{j,j:m} = R_{j,j:m} - R_{k,j:m} \overline{R_{kj}} / R_{kk}$$

$$R_{k,k:m} = R_{k,k:m} / \sqrt{R_{kk}}$$

$R \leftarrow$  ober  $D$  - Teil von  $R$

Gauß-Elimination, jedoch  
nur Behandlung des oberen Dreiecks!

Thm: Aufwand Cholesky-Zerlegung  $\sim \frac{m^3}{3}$  flops (hat soviel wie Gauß-Elimination)

Bew: Bearbeitete Einträge (für jeden Eintrag 2 flops):

$$k = \begin{matrix} 1 & 2 & 3 & \dots \\ \boxed{1} & \boxed{1 \dots} & \boxed{\dots} & \dots \\ \frac{m(m+1)}{2} & \frac{(m-1)m}{2} & \dots \end{matrix}$$

Gesamtvolumen der Pyramide mit Höhe  $m$  & Grundfläche  $\boxed{1}_m$

$$\text{gesamt Aufwand} = 2 \sum_{k=1}^m \frac{(m+2-k)(m+1-k)}{2} \sim \sum_{k=1}^m k^2 \sim \frac{1}{3} m^3$$

□

Bew:  $\cdot A \in \mathbb{C}^{n \times n}$  herm. pos. def.  $\Rightarrow B^* A B$  herm. pos. def. für alle  $B \in \mathbb{C}^{m \times n}$  mit vollen Rang,  $n \leq m$

Bew:  $(B^* A B)^* = B^* A^* B = B^* A B$ ,  $x^*(B^* A B)x = (Bx)^* A (Bx) > 0 \quad \forall x \neq 0$  □

$\cdot A$  herm. pos. def.  $\Rightarrow A_{e_i:e_k, e_i:e_k} = B^* A B$  mit  $B = [e_i | e_{i+1} | \dots | e_k]$  ist herm. pos. def.

Bem: Der Algorithmus funktioniert, solange im  $k$ -ten Schritt an der Stelle  $(k,k)$  eine positive Zahl steht, da  $\sqrt{R_{kk}}$  berechnet werden muss. Dies ist der Fall, da im 1. Schritt  $A_{nn}$  positiv ist (da  $A_{nn}$  pos. def.), im zweiten Schritt der  $(1,1)$ -Eintrag von  $K - \frac{w w^*}{A_{nn}}$ , also  $(R_n^{-*} A R_n^{-1})_{22}$  positiv ist (da  $R_n^{-*} A R_n^{-1} =: \tilde{A}$  pos. def. und somit  $\tilde{A}_{22}$  pos. def.) usw.  
 $\Rightarrow$  keine Pivotisierung nötig.

Thm: Für  $A \in \mathbb{C}^{m \times m}$  b.v.m. pos. def. Existiert eine eindeutige Cholesky-Zerlegung  $A = R^* R$  mit  $R_{ii} > 0$  V.i.

Bew: • Existenz folgt aus Algorithmus

• Eindeutigkeit: Sei  $A = R^* R = S^* S$  für  $R \neq S$  über  $\Delta$ -Matrix mit pos. Diagonale  
 $\Rightarrow I = R^{-*} S^* \underbrace{S R^{-1}}_T = T^* T$  für  $T$  über  $\Delta$ -Matrix mit pos. Diagonale  
Da  $T$  unitär, d.h. Spalten orthonormal, muss  $T = I$  gelten  $\square$

Thm: Der Cholesky-Zerlegungs-Algorithmus mit Maschinenoperationen ist rückwärtsstabil, d.h. die Lösung  $R$  für gegebenes  $A$  erfüllt  $R^* R = A + \delta A$  für ein  $\delta A$  mit  $\frac{\|\delta A\|}{\|A\|} = O(\epsilon_m)$ .

$m = 2000;$   
 $Z = \text{randn}(m, m); A = Z^* Z;$   
 $b = \text{randn}(m, 1);$   
 $\text{tic}; x = A \setminus b; \text{toc}$

Cholesky

$A2 = A; A2(m, 1) = .1;$   
 $\text{tic}; x = A2 \setminus b; \text{toc}$

Gauß-Elimination (2x so lang)

$\text{emin} = \min(\text{eig}(A));$   
 $A3 = A - .9 * \text{emin} * \text{eye}(m, m);$   
 $\text{tic}; x = A3 \setminus b; \text{toc}$

Cholesky

$A4 = A - 1.1 * \text{emin} * \text{eye}(m, m);$   
 $\text{tic}; x = A4 \setminus b; \text{toc}$

Cholesky nicht möglich

$A5 = \text{triu}(A);$   
Haut.:  $x = A5 \setminus b; \text{toc}$

Rückwärtseinsetzen  $\sim m^2$  statt  $\frac{1}{3} m^3$

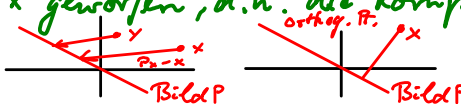
QR-Zerlegung

Def: (Projektion) Eine Projektion ist ein  $P \in \mathbb{K}^{m \times m}$  mit  $P^2 = P$

- $I - P$  erfüllt  $(I - P)^2 = I - 2P + P^2 = I - P$  und heißt komplementäre Projektion.
- Eine orthogonale Projektion ist eine Projektion  $P$  mit  $Px \perp (I - P)y \quad \forall x, y \in \mathbb{K}^m$ .

Bem:  $P^2 = P$  bedeutet, dass ein projiziertes Element sich durch Projektion nicht mehr ändert,  $P(Px) = Px$

- $Px$  kann aufgefasst werden als der von Punkt  $x$  geworfene Schatten
- Der Schatten wird in Richtung  $x - Px = (I - P)x$  geworfen, d.h. die komplementäre Projektion beschreibt die Schattierrichtung



Thm: .  $\text{Bild}(I-P) = \text{Ker}(P)$  &  $\text{Bild}(P) = \text{Ker}(I-P)$

- $\text{Bild}(P) \cap \text{Bild}(I-P) = \{0\}$
- $\mathbb{K}^n = \text{Bild}(P) \oplus \text{Bild}(I-P)$  ( $P$  zerstört  $\mathbb{K}^n$ )
- Sei  $\mathbb{K}^n = S_1 \oplus S_2$ .  $\exists!$  Projektion  $P$  mit  $\text{Bild } P = S_1$ ,  $\text{Ker } P = S_2$
- Projektion  $P$  ist orthogonale Projektion  $\Leftrightarrow P$  ist hermitisch

Bew: . Sei  $x \in \text{Ker } P$ , dann ist  $x = (I-P)x \in \text{Bild}(I-P)$ .

Sei  $y = (I-P)x \in \text{Bild}(I-P)$ , dann  $Py = P_x - P_{x'} = 0$ .

2. Teil folgt durch  $\tilde{P} := I - P$

- Sei  $x \in \text{Bild } P \cap \text{Bild}(I-P) = \text{Ker } P \cap \text{Ker}(I-P) \Rightarrow Px=0 \& (I-P)x=0 \Rightarrow x=0$
- $\mathbb{K}^n = \text{Bild}(P) + \text{Bild}(I-P)$ , da  $x = Px + (I-P)x \quad \forall x \in \mathbb{K}^n$

aufßerdem  $\dim \text{Bild } P + \dim \text{Bild}(I-P) = \dim \text{Bild } P + \dim \text{Ker } P = n$

- Definiere  $Px = s_1$ , wobei  $x = s_1 + s_2$  für  $s_1 \in S_1, s_2 \in S_2$ .

Eindeutigkeit: Sei  $B$  eine andere solche Projektion, dann ist  $x = \underbrace{Bx}_{\in S_1} + \underbrace{(I-B)x}_{\in S_2} \Rightarrow Bx = s_1$

- $\Leftarrow$ :  $((I-P)y, Px) = x^* P^* (I-P)y = x^* (P - P^*)y = 0$

$\Rightarrow$ : Sei  $q_1, \dots, q_n \in \mathbb{K}^n$  Orthonormalbasis von  $\text{Bild } P$ ,

$q_{n+1}, \dots, q_m$  Orthonormalbasis von  $\text{Ker } P = \text{Bild}(I-P)$

$$\Rightarrow q_1, \dots, q_m \text{ ist Orthonormalbasis von } \mathbb{K}^m \text{ mit } Pq_i = \begin{cases} q_i, & i \leq n \\ 0, & i > n \end{cases}$$

$$\Rightarrow Q^* P Q = \begin{pmatrix} 1 & & & \\ & 1 & & \\ & & \ddots & \\ & & & 0 \end{pmatrix} = \Sigma \Rightarrow P = Q \Sigma Q^* = P^*$$

□

Bsp: .  $P_a = \left( \frac{a}{\|a\|} \right) \left( \frac{a}{\|a\|} \right)^* = \frac{aa^*}{a^*a}$  ist orthogonale Projektion auf  $\langle a \rangle$

.  $P_{\perp a} = I - \frac{aa^*}{a^*a}$  ist orthogonale Projektion auf  $\langle a \rangle^\perp$

. Seien  $a_1, \dots, a_n \in \mathbb{K}^n$  linear unabhängig,  $A = [a_1 | \dots | a_n]$ ,  $P$  die orthogonale Projektion auf  $\langle a_1, \dots, a_n \rangle$ . Für  $y = Pv$  ist  $\text{Bild } P = \text{Bild } A \perp (y-v)$ , d.h.  $a_i^*(y-v) = 0 \forall i$  oder  $A^*(y-v) = 0$ . Da  $y \in \langle a_1, \dots, a_n \rangle$ ,  $y = Ax$  für ein  $x \in \mathbb{K}^n \Rightarrow A^*(Ax - v) = 0$   $\Leftrightarrow x = (A^*A)^{-1}A^*v$ , d.h.  $y = Ax = A(A^*A)^{-1}A^*v$

$$\Rightarrow P = A(A^*A)^{-1}A^* \quad (\text{Verallgemeinerung von } P_a)$$

. Für  $A = Q$  unitär ergibt sich  $P = Q Q^*$

Def: (QR-Zerlegung) Sei  $A \in \mathbb{K}^{m \times n}$ .

•  $A = QR$  für  $Q \in \mathbb{K}^{m \times m}$  unitär,  $R \in \mathbb{K}^{m \times n}$  oben Dreiecksmatrix heißt QR-Zerlegung von  $A$ .  $\boxed{A} = \boxed{Q} \boxed{R}$

• Sei  $n < m$ ,  $\hat{Q} = Q_{:, 1:n}$ ,  $\hat{R} = R_{1:n, :}$ .  $A = \hat{Q}\hat{R}$  heißt reduzierte QR-Zerlegung von  $A$ .  $\boxed{A} = \boxed{\hat{Q}} \boxed{\hat{R}}$

Bem: Sei  $A = [a_1 | \dots | a_n]$ ,  $\hat{Q} = [q_1 | \dots | q_n]$ .

Offenbar ist  $a_n = R_{nn} q_n$  bzw.  $\langle a_n \rangle = \langle q_n \rangle$ ,  $\langle a_n, a_2 \rangle = \langle q_n, q_2 \rangle, \dots$ , d.h. die ersten  $j$  Spalten von  $Q$  bilden eine Orthonormalbasis des Spaltenraums  $\langle a_1, \dots, a_j \rangle$ .

Wir können  $q_1, q_2, \dots$  schrittweise berechnen: Im  $j$ -ten Schritt suchen wir  $q_j \in \langle a_1, \dots, a_j \rangle$  mit  $q_j \perp q_1, \dots, q_{j-1}$ . Hierzu projizieren wir  $a_j$  auf  $\langle q_1, \dots, q_{j-1} \rangle^\perp$ , d.h.

$$v_j = \underbrace{(I - Q_{j-1} Q_{j-1}^*)}_{= q_j - (q_1^* a_j) q_1 - (q_2^* a_j) q_2 - \dots - (q_{j-1}^* a_j) q_{j-1}} a_j, \quad \text{für } Q_{j-1} = [q_1 | \dots | q_{j-1}] ; \quad q_j = \frac{v_j}{\|v_j\|} \quad (*)$$

Durch Vergleich mit  $a_j = R_{nj} q_n + R_{2j} q_2 + \dots + R_{jj} q_j$  ergibt sich

$$R_{ij} = q_i^* a_j, \quad |R_{ij}| = \|a_j - \sum_{i=1}^{j-1} R_{ij} q_i\|$$

Alg. (Gram-Schmidt-Verfahren, instabil) input:  $A \in \mathbb{K}^{m \times n}$ , output:  $\hat{Q}, \hat{R}$

for  $j = 1$  bis  $n$

$$v_j = a_j$$

for  $i = 1$  bis  $j-1$

$$R_{ij} = q_i^* a_j$$

$$v_j = v_j - R_{ij} q_i$$

end

$$R_{jj} = \|v_j\|$$

$$q_j = v_j / R_{jj}$$

end

Thm: Jedes  $A \in \mathbb{K}^{m \times n}$  besitzt eine (reduzierte) QR-Zerlegung.

Bew: Gram-Schmidt-Verfahren bricht nur zusammen, wenn  $R_{jj}$  null wird und  $q_j = v_j / R_{jj}$  berechnet wird. Wenn wir in diesem Schritt jedoch stattdessen ein beliebiges  $q_j \perp \langle q_1, \dots, q_{j-1} \rangle$  mit  $\|q_j\|=1$  wählen und dann fortfahren, liefert das Verfahren dennoch eine reduzierte QR-Zerlegung.

Ergänzen wir  $q_1, \dots, q_n$  zu einer Orthonormalbasis  $q_1, \dots, q_m$  der  $\mathbb{K}^m$  und setzen  $Q = [q_1 | \dots | q_m]$ ,  $R = \begin{pmatrix} \hat{R} \\ 0 \end{pmatrix}$ , erhalten wir eine QR-Zerlegung.  $\square$

Thm: Jedes  $A \in \mathbb{K}^{m \times n}$  mit vollem Rang,  $m \geq n$ , hat eine eindeutige reduzierte QR-Zerlegung  $A = \hat{Q} \hat{R}$  mit  $\hat{R}_{ii} > 0$

Bem: „ $\hat{R}_{ii} > 0$ “ ist nötig, da Multiplikation der  $i$ -ten Spalte von  $\hat{Q}$  und Zeile von  $\hat{R}$  mit  $z \in \mathbb{K}, |z|=1$  eine alternative reduzierte QR-Zerlegung liefert.

Bew: Folgt aus Eindeutigkeit von  $(*)$ .  $\square$

## Hinweis: • modifiziertes Gram-Schmidt-Verfahren

### • Householder-Verfahren

Das Gram-Schmidt-Verfahren berechnet im j-ten Schritt  $q_j = \frac{p_j a_j}{\|p_j a_j\|}$  mit  $p_j = I - Q_{j-1} Q_{j-1}^*$  für  $Q_{j-1} = [q_1 | \dots | q_{j-1}]$ . Leichter ist dies instabil. Jedoch ist die Projektion  $P_j$  mit Rang  $m-(j-1)$  gleich  $j-1$  Projektionen mit Rang  $m-1$ ,

$$P_j = P_{\perp q_{j-1}} P_{\perp q_{j-2}} \cdots P_{\perp q_1} \quad \text{für} \quad P_{\perp q} = I - q q^*$$

Der modifizierte Gram-Schmidt-Algorithmus berechnet erst  $v_j^{(1)} = a_j$ ,  $v_j^{(2)} = P_{\perp q_1} v_j^{(1)}$ ,  $v_j^{(3)} = P_{\perp q_2} v_j^{(2)}$ , ...,  $v_j^{(j-1)} = P_{\perp q_{j-1}} v_j^{(j-2)}$ ,  $q_j = \frac{v_j^{(j)}}{\|v_j^{(j)}\|}$ , was stabil ist.

Alg. (modifiziertes Gram-Schmidt-Verfahren) input:  $V = [v_1 | v_2 | \dots | v_n] \in \mathbb{K}^{m \times n}$ , output:  $\hat{Q}, \hat{R}$   
for  $i=1$  bis  $n$

$$\hat{R}_{ii} = \|v_i\|$$

$$q_i = v_i / \hat{R}_{ii}$$

$$\hat{R}_{i,i+1:n} = q_i v_{:,i+1:n} \quad (*)$$

$$V_{:,i+1:n} = V_{:,i+1:n} - q_i (\hat{R}_{i,i+1:n}) \quad (***)$$

End

Thm: Aufwand modifizierter Gram-Schmidt-Verfahren  $\sim 2mn^2$  flops

Bew: In Schritt  $i$  wird in  $(*)$  und  $(***)$  auf  $m(n-i)$  Elementen operiert (je 2 flops)

$$\Rightarrow \begin{array}{c} \text{m} \\ \text{n} \end{array} + \begin{array}{c} \text{m} \\ \text{n}-n \end{array} + \dots + \begin{array}{c} \text{m} \\ \text{n} \end{array} = \begin{array}{c} \text{m} \\ \text{n} \end{array} \sim \frac{m n^2}{2} \text{ Einträge à } 2 \cdot 2 \text{ flops } \square$$

Bem:  $Ax = b$  kann gelöst werden durch

$$1. \text{ QR-Zerlegung } A = QR$$

$$2. \text{ } y = Q^* b$$

$$3. \text{ Rückwärtssetzen } x = R^{-1}y$$

Das Householder-Verfahren trianguliert  $A$  durch Linksmultiplikation unitären Matrizen,

$$\underbrace{Q_n \cdots Q_2 Q_1}_Q A = R$$

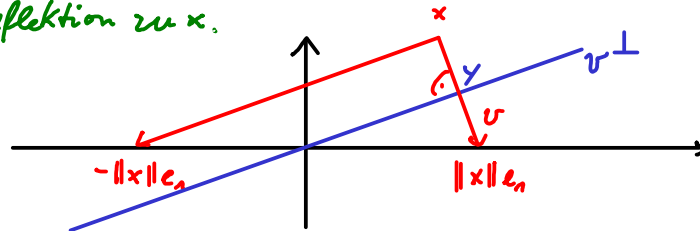
(während Gram-Schmidt  $\overset{=} Q$  aufgefasst werden kann als  $A \overset{R_n \cdots R_1}{\sim} \hat{Q}$ ). Dabei führen  $Q_1, Q_2, \dots$  sukzessiv Nullen in den Spalten von  $A$  ein

$$\begin{pmatrix} x & x & x \\ x & x & x \\ x & x & x \\ x & x & x \end{pmatrix} \xrightarrow{Q_1} \begin{pmatrix} x & x & x \\ 0 & x & x \\ 0 & x & x \\ 0 & x & x \end{pmatrix} \xrightarrow{Q_2} \begin{pmatrix} x & x & x \\ 0 & x & x \\ 0 & 0 & x \end{pmatrix} \xrightarrow{Q_3} \begin{pmatrix} x & x & x \\ 0 & x & x \\ 0 & 0 & 0 \end{pmatrix}$$

R

Def: (Householder-Reflektion) Sei  $x \in K^m$ .  $F_x = I - 2 \frac{v v^*}{v^* v}$  für  $v = 2\|x\|e_1 - x$  mit  $\|v\|=1$  heißt

Householder-Reflektion zu  $x$ .



Projektion von  $x$  auf  $v^\perp$ :  $y = P_{\perp v} x = (I - \frac{v v^*}{v^* v}) x$

$$F_x x = P_{\perp v} x + (P_{\perp v} x - x) = (I - 2 \frac{v v^*}{v^* v}) x$$

Typischerweise wählt man  $v = -\underbrace{\text{sign}(x_1)}_{F_x x} \|x\|e_1 - x$ , damit  $x$  möglichst weit von  $F_x x$  weg ist und somit bei der Berechnung von  $v$  keine Auslöschung entsteht.

Bew:  $F_x^* F_x = I - 4 \frac{v v^*}{v^* v} + 4 \frac{v v^*}{v^* v} \frac{v v^*}{v^* v} = I$ , d.h.  $F_x$  ist unitär und hermitesch.

Im i-ten Schritt des Householder-Verfahrens wird  $Q_{i:n} \cdots Q_1 A = \begin{pmatrix} x & x & \cdots & x & \cdots & x \\ x & x & \vdots & x & \vdots & x \\ \vdots & \vdots & \ddots & \ddots & \ddots & \vdots \\ x & x & \cdots & x & \cdots & x \\ \hline x & x & \cdots & x & \cdots & x \end{pmatrix}_{n \times n}$  von links mit  $Q_i = \begin{pmatrix} I & \\ & F_x \end{pmatrix}$  multipliziert.

Alg: (Householder-Verfahren) input:  $A \in K^{n \times n}$ , output:  $R=A$

für  $k=1$  bis  $n$

$$x = R_{k:m,n}$$

$$v_k = -\text{sign}(x_1) \|x\| e_1 - x$$

$$v_k = v_k / \|v_k\|$$

$$R_{k:m,k:n} = R_{k:m,k:n} - 2 \underbrace{v_k (v_k^* R_{k:m,k:n})}_{\textcircled{2}}$$

\textcircled{3}

\textcircled{1}

end

Bew: • Obiger Algorithmus berechnet  $Q$  nicht explizit, da es oft nicht benötigt wird.

• Möchte man  $Ax=b$  mit QR-Zerlegung lösen, muss man  $y=Q^T b$  berechnen. Hierzu kann  $y=b$  und im k-ten Schritt  $y_{k:m} = y_{k:m} - 2 v_k (v_k^* y_{k:m})$  gesetzt werden. (\*)

• Möchte man  $Q$  haben, berechnet man  $Q^* e_1, \dots, Q^* e_m$  wie oben und setzt  $Q = [Q^* e_1 | \dots | Q^* e_m]$

Thm: Aufwand  $\sim 2mn^2 - \frac{2}{3}n^3$  flops

$\ell = n-k+1$

$$\text{Bew: } \sum_{k=1}^n \left( \underbrace{2(m-k+1)(n-k+1)}_{\textcircled{1}} + \underbrace{2(m-k+1)(n-k+1)}_{\textcircled{2} \textcircled{3}} \right) = 4 \sum_{k=1}^n (m-k+1)(n-k+1) = 4 \sum_{\ell=0}^{n-n} (m-n+\ell)\ell \sim 2mn^2 - \frac{2}{3}n^3 \square$$

Thm: Das Householder-Verfahren mit Maschinenoperationen ist rückwärtsstabil im folgenden Sinn:

Für  $A \in K^{m \times n}$  seien  $R$  die erhaltene  $\Delta$ -Matrix und  $\hat{v}_1 = (v_1), \hat{v}_2 = (v_2), \dots, \hat{v}_n = (v_n) \in K^m$  die erhaltenen Vektoren, sodass  $Q = (I - 2 \hat{v}_1 \hat{v}_1^*) \cdots (I - 2 \hat{v}_n \hat{v}_n^*)$ . Dann ist  $QR = A + \delta A$

für ein  $\delta A$  mit  $\frac{\|\delta A\|}{\|A\|} = O(\epsilon_n)$ .

$$\underline{\text{Bsp: }} A = \begin{pmatrix} 12 & -51 & 4 \\ 6 & 167 & -68 \\ -4 & 24 & -41 \end{pmatrix}, \quad v_1 = -\|x\|e_1 - x = -14e_1 - x = \begin{pmatrix} -26 \\ -6 \\ 4 \end{pmatrix}, \quad v_1^* v_1 = 728, \quad Q_1 = \left( I - 2 \frac{v_1 v_1^*}{v_1^* v_1} \right)$$

$$Q_1 A = \begin{pmatrix} -14 & & \\ 0 & & \\ 0 & & \end{pmatrix} a_1 - 2 \frac{(v_1^* a_2) v_1}{v_1^* v_1} \quad \left| \quad a_3 - 2 \frac{(v_1^* a_3) v_1}{v_1^* v_1} \right. = \begin{pmatrix} -14 & -21 & 14 \\ 0 & 2261/13 & -854/13 \\ 0 & 252/13 & -553/13 \end{pmatrix}$$

$$v_2 = -\|x\|e_2 - x = -175e_2 - x = \begin{pmatrix} 4536 \\ 252 \\ 0 \end{pmatrix}, \quad Q_2 = \begin{pmatrix} 1 & 0 & 0 \\ 0 & (I - 2 \frac{v_2 v_2^*}{v_2^* v_2}) \end{pmatrix}$$

$$\underbrace{Q_2 Q_1}_Q A = \begin{pmatrix} -14 & -21 & 14 \\ 0 & -175 & 0 \\ 0 & 0 & 0 \end{pmatrix} \quad \left| \quad 2 - 2 \frac{(v_2^* a_2) v_2}{v_2^* v_2} \right. = \begin{pmatrix} -14 & -21 & 14 \\ -175 & 70 & 0 \\ 0 & -35 & 0 \end{pmatrix} = R$$

```
m = 80;
[U,~,V] = svd(randn(m));
S = diag(2.^(-1:-1:-m));
A = U*S*V;
```

```
[Q,R] = gs(A);
[Qm,Rm] = mgs(A);
[Qh,Rh] = qr(A);
semilogy(1:m,abs(diag(R)), 'o', 'Markersize',20,'Linewidth',5); hold on;
semilogy(1:m,abs(diag(Rm)), 'v', 'Markersize',20,'Linewidth',5);
semilogy(1:m,abs(diag(Rh)), 'x', 'Markersize',20,'Linewidth',5); hold off;
```

```
A = [.7      .707;
      .70001 .707];
[Q,R] = qr(A); norm(Q'*Q-eye(2))
[Q,R] = mgs(A); norm(Q'*Q-eye(2))
```

*Gram-Schmidt  
modifizierter Gram-Schmidt  
Householder*

*Orthogonalität instabil*

```
R = triu(randn(m));
[Q,~] = qr(randn(m));
A = Q*R;
[Q2,R2] = qr(A);
norm(Q2-Q)
norm(R2-R)
norm(A-Q2*R2)/norm(A)
Q3 = Q+1e-4*randn(m);
R3 = R+1e-4*randn(m);
norm(A-Q3*R3)/norm(A)
```

*} schlechte Kondition oder instabiler Algorithmus?  
⇒ rückwärtstabil*

Alg: (löse  $Ax = b$  mittels QR-Zerlegung) input:  $A \in \mathbb{K}^{m \times m}$ ,  $b \in \mathbb{K}^m$  output:  $x \in \mathbb{K}^m$

berechne  $R$  und  $y = Q^* b$  für QR-Zerlegung von  $A$  per Householder-Verfahren

löse  $Rx = y$  per Rückwärts-Einsetzen

Kor: Obiger Algorithmus ist rückwärts-stabil, d.h. das Ergebnis  $x$  erfüllt  $(A + \Delta A)x = b$

für ein  $\Delta A$  mit  $\frac{\|\Delta A\|}{\|A\|} = O(\varepsilon_m)$

Bew: • Berechnung von  $y = Q^* b$  mittels (\*) ist rückwärts-stabil (Hausaufgabe), d.h.

$(Q + \delta Q)y = b$  für ein  $\delta Q$  mit  $\frac{\|\delta Q\|}{\|Q\|} = O(\varepsilon_m)$

• Rückwärts-einsetzen ist rückwärts-stabil  $\Rightarrow (R + \delta R)x = y$  für ein  $\delta R$  mit  $\frac{\|\delta R\|}{\|R\|} = O(\varepsilon_m)$

•  $b = (Q + \delta Q)(R + \delta R)x = (\underbrace{QR + \delta QR + Q\delta R + \delta Q\delta R}_{= A + \delta A})x = (A + \Delta A)x$  für  $\delta A$  mit  $\|\delta A\|/\|A\| = O(\varepsilon_m)$

$$\frac{\|R\|}{\|A\|} = \frac{\|\underbrace{Q^*(A + \delta A)}_{O(n)}\|}{\|A\|} \leq \underbrace{\|Q^*\|}_{O(1)} \underbrace{\frac{\|A\| + \|\delta A\|}{\|A\|}}_{= 1 + O(\varepsilon_m)} = O(1)$$

$$\frac{\|\delta Q R\|}{\|A\|} \leq \underbrace{\frac{\|\delta Q\|}{\|Q\|}}_{O(\varepsilon_m)} \underbrace{\|Q\|}_{O(1)} \underbrace{\frac{\|R\|}{\|A\|}}_{O(1)} = O(\varepsilon_m)$$

$$\frac{\|Q\delta R\|}{\|A\|} \leq \|Q\| \underbrace{\frac{\|\delta R\|}{\|R\|}}_{O(1)} \underbrace{\frac{\|R\|}{\|A\|}}_{O(1)} = O(\varepsilon_m)$$

$$\frac{\|\delta Q \delta R\|}{\|A\|} \leq \frac{\|\delta Q\|}{\|Q\|} \|Q\| \frac{\|\delta R\|}{\|R\|} \frac{\|R\|}{\|A\|} = O(\varepsilon_m^2)$$

$$\Rightarrow \frac{\|\Delta A\|}{\|A\|} = \frac{\|\delta A + \delta QR + Q\delta R + \delta Q\delta R\|}{\|A\|} = O(\varepsilon_m)$$

□

Hin: • dünn besetzte Matrizen & Graphen

Dünn besetzte Matrizen

Viele Anwendungsprobleme resultieren in dünn besetzten („sparse“) Matrizen, d.h. Matrizen, deren Einträge größtenteils 0 sind. Beispieldarstellung bei der Diskretisierung von pDgl mit  $m$  Freiheitsgraden pro Dimension (d.h. die Lösung  $u: [0,1]^m \rightarrow \mathbb{R}$  der pDgl. wird approximiert durch ihre Werte an den  $m^n$  Stellen  $(x_1^{i_1}, \dots, x_n^{i_n})$  mit  $x_j^{i_j} = \frac{i_j}{m}$ ) ergeben sich oft Matrizen  $A \in \mathbb{R}^{m^n \times m^n}$  mit nur  $2n+1$  Einträgen pro Zeile. Wäre für  $n=2$ ,  $m=1000$  die Matrix voll besetzt, hätte sie  $(m^n)^2 = 10^{12}$  Einträge à 8 byte (double), d.h. 8 TB!

Man kann dünn besetzte Matrizen auf verschiedene Arten speichern; hiervon hängt u.A. die Effizienz von Matrixoperationen ab.

Def: Eine symmetrische Bandmatrix der Bandbreite  $w$  ist ein symmetrisches  $A \in \mathbb{R}^{m \times m}$  mit  $A_{ij} = 0$  für  $|i-j| \geq w$ . Sie wird oft gespeichert als Matrix  $B \in \mathbb{R}^{m \times w}$  mit  $B_{ij} = A_{i, i+j-i}$

$$A = \begin{pmatrix} & & \\ & \text{---} & \\ & & \end{pmatrix} \sim B = \begin{pmatrix} & & \\ & \text{---} & \\ & & \end{pmatrix}$$

• Die Hülle einer symmetrischen Matrix  $A \in \mathbb{R}^{m \times m}$  ist  $\text{Env}(A) = \{(i,j) \mid R_i(A) \leq j \leq i, i=1,\dots,m\}$  für  $R_i(A) = \min_{1 \leq j \leq i} \{j \mid A_{ij} \neq 0\}$ .

• Eine Tripletmatrix ist ein Tripel  $(R, C, V) \in \{1, \dots, m\}^k \times \{1, \dots, m\}^k \times \mathbb{R}^k$  und repräsentiert eine Matrix  $A \in \mathbb{R}^{m \times m}$ , die man aus  $0 \in \mathbb{R}^{m \times m}$  erhält, indem man für  $i=1, \dots, k$  an der Stelle  $(R_i, C_i)$  den Wert  $V_i$  addiert.

$$\begin{pmatrix} a & b & c \\ b & d & e \\ c & e & f \end{pmatrix} \triangleq \begin{array}{l} R = \begin{pmatrix} 1 & 2 & 2 & 3 \\ 1 & 2 & 3 & 2 \end{pmatrix} \\ C = \begin{pmatrix} a & b & c & d \\ a & b & c & e \end{pmatrix} \\ V = \begin{pmatrix} 1 & 2 & 3 & 2 \\ a & b & c & d \end{pmatrix} \end{array}$$

• Eine Matrix in CRS (Compressed row storage)-Form ist  $(P, C, V) \in \{1, \dots, k\}^m \times \{1, \dots, m\}^k \times \mathbb{R}^k$ .  $A \in \mathbb{R}^{m \times m}$  wird hier wie folgt repräsentiert:  $V$  enthält die Nicht-Null-Einträge zeilenweise aufgelistet,  $C$  enthält die entsprechenden Spaltenindizes,  $P_i$  ist der Index des ersten Eintrags in  $V$  aus Zeile  $i$ .

$$\begin{pmatrix} a & b & c \\ b & d & e \\ c & e & f \end{pmatrix} \triangleq \begin{array}{l} P = \begin{pmatrix} 1 & 2 & 4 \\ 1 & 2 & 3 & 2 \end{pmatrix} \\ C = \begin{pmatrix} a & b & c & d \\ a & b & c & e \end{pmatrix} \\ V = \begin{pmatrix} 1 & 2 & 3 & 2 \\ a & b & c & d \end{pmatrix} \end{array}$$

Def: (Graph).  $G = (X, E)$  heißt Graph mit Knotenmenge  $X = \{1, \dots, m\}$  und Kantenmenge  $E \subseteq X^2$ , wobei  $(a, b) \in E \Rightarrow (b, a) \in E$ . Wir wollen außerdem  $(i, i) \in E \forall i$  annehmen.

• Adjazenzmenge von  $x \in X = \text{Adj}(x) = \{a \in X \mid (x, a) \in E \text{ für ein } x \in Y\}$

• Grad von  $x \in X = \text{Grad}(x) = |\text{Adj}(x)| \setminus \{x\}|$

Das Besetzungs muster einer symmetrischen Matrix kann man als  $\text{Graph}(X, E)$  beschreiben. Die Knoten entsprechen den Zeilen, und  $(i, j) \in E$  wenn  $A_{ij} \neq 0$ .

$$\begin{array}{ccc} \begin{array}{ccccc} & o_2 & & & \\ & & o_5 & & \\ & & & o_1 & \\ & & & & o_4 \\ & & & & \\ & 3 & & 4 & \end{array} & \triangleq & \begin{pmatrix} & x & x & x & x \\ & x & x & x & x \\ & x & & x & x \\ & x & & x & x \\ & x & & & x \end{pmatrix} \end{array}$$

Die zu einem Graphen gehörende Matrix kann bei ungerichteter Knotennumerierung eine große Hülle / Bandbreite haben.

$$\begin{array}{ccc} \begin{array}{cc} o_1 & o_2 \\ o_2 & o_3 \end{array} & \triangleq & \begin{pmatrix} & x & x & x \\ & x & & x \\ & x & & x \\ & x & & x \end{pmatrix} \end{array} \quad \begin{array}{ccc} \begin{array}{cc} o_1 & o_2 \\ o_3 & o_1 \end{array} & \triangleq & \begin{pmatrix} & x & x \\ & x & x \\ & x & x \end{pmatrix} \end{array}$$

Eine Umnummerierung entspricht einer Permutation von Zeilen und Spalten. Die optimale Umnummerierung ist NP-hard, es gibt aber Algorithmen, die eine gute Numerierung liefern:

Alg. (Cuthill-McKee Algorithmus)

1) Wähle Startknoten  $x$ , der neue Nummer 1 erhält,

$$\text{setze } Y(1) = x, \quad Y = (Y(1))$$

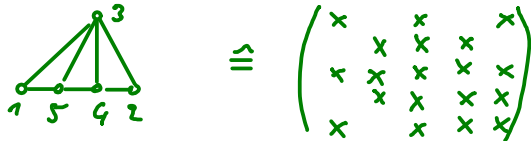
2) Für  $i = 1, 2, \dots$  nummeriere die mit neuem  $i$ -ten Knoten benachbarten Knoten, die noch nicht neu nummeriert sind, in der Reihenfolge ihres Grades, d.h.

$$a) Z_i = \text{Adj}(Y(i)) \setminus Y$$

b) ordne  $Z_i$  nach Grad  $\Rightarrow$  erhalte Vektor  $\tilde{Z}_i$ :

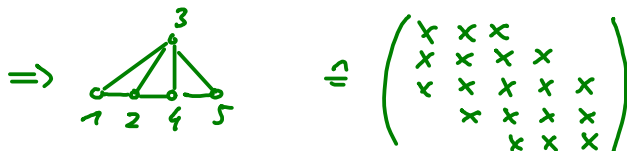
$$c) Y = (Y \quad \tilde{Z}_i)$$

Bsp.:



$$\cong \begin{pmatrix} & & & & \\ x & x & x & x & x \\ x & x & x & x & x \\ x & x & x & x & x \\ x & x & x & x & x \end{pmatrix}$$

$i$	$Y(i)$	$Z_i$	$\tilde{Z}_i$	$Y$
1	1	$\{3, 5\} \setminus \{x\}$	(5, 3)	(1, 5, 3)
2	5	$\{1, 4, 3\} \setminus \{1, 5, 3\}$	(4)	(1, 5, 3, 4)
3	3	$\{1, 2, 4, 5\} \setminus \{1, 5, 3, 4\}$	(2)	(1, 5, 3, 4, 2)

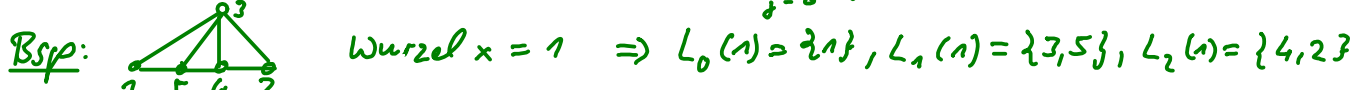


$$\Rightarrow \begin{pmatrix} & & & & \\ x & x & x & & \\ x & x & x & x & \\ x & x & x & x & x \\ x & x & x & x & x \end{pmatrix}$$

Als Startknoten eignen sich Knoten mit größtmöglichen Abstand zu allen anderen, sog. peripheren Knoten, da dann die volle Bandbreite erst in den letzten Zeilen erreicht wird. Ein „pseudo-peripherer“ Knoten ist einfacher zu finden.

Def.: Eine Schichtung von  $G$  mit Wurzel  $x \in X$  ist eine Partition  $X = \bigcup_{i=0}^{e(x)} L_i(x)$  mit

$$L_0(x) = \{x\}, \quad L_i(x) = \text{Adj}(L_{i-1}(x)) \setminus \bigcup_{j=0}^{i-1} L_j(x)$$



$$\text{Wurzel } x = 1 \Rightarrow L_0(1) = \{1\}, L_1(1) = \{3, 5\}, L_2(1) = \{4, 2\}$$

Bem.:  $L_i(x)$  beschreibt die Knoten, die von  $x$   $i$  Kanten Abstand haben. Die Anzahl an Schichtungen  $e(x)$  ist der maximale Abstand, den ein Knoten von  $x$  haben kann.

Alg.: (Bestimmung pseudo-peripheren Knotens) input: Graph  $G = (X, E)$ , output:  $r$

1) Wähle  $x \in X$  mit Schichtung  $L_0(x), \dots, L_{e(x)}(x)$

2) Wähle Knoten  $r \in L_{e(x)}(x)$  mit minimalem Grad

3) Berechne Schichtung  $L_0(r), \dots, L_{e(r)}(r)$

4) Falls  $e(r) > e(x)$  setze  $x$  durch  $r$  und gehe zu 2)

## Hinweis: · Symbolische Cholesky-Zerlegung

### · Minimum Degree Algorithmus

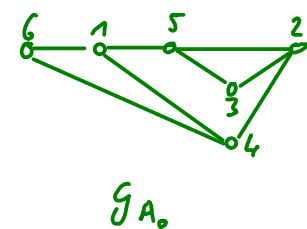
Die Cholesky-Zerlegung  $A = R^* R$  funktioniert ohne Pivotisierung. Ist  $A \in \mathbb{K}^{m \times m}$  dünn besetzt, kann eine diagonale Pivot-Suche sinnvoll sein, um den „Fill-in“ (Nicht-Null-Elemente von  $R + R^*$  an Stellen, wo  $A$  Null einträgt hat) zu reduzieren.

Der jte Schritt der Cholesky-Zerlegung von  $A \in \mathbb{K}^{m \times m}$  zerlegt eine Matrix der Form  $\begin{pmatrix} I & a & w^* \\ a & K & \\ w & & \end{pmatrix} := A_{j-n}$  in  $R_j^* A_j R_j$  für  $R_j = \begin{pmatrix} I & \frac{a}{w} & w^*/a \\ 0 & I & \\ \end{pmatrix}$ ,  $A_j = \begin{pmatrix} I & & \\ & I & -\frac{w^* w}{a} \\ & & K - \frac{w w^*}{a} \end{pmatrix}$ .  $\Rightarrow$  I.A. ist  $(A_j)_{ae} \neq 0$  wenn  $(A_{j-n})_{ae} \neq 0$  oder  $w w^*$  an dieser Stelle nicht 0 ist, also  $(A_{j-n})_{kj} \neq 0 \& (A_{j-n})_{je} \neq 0$ . Auch ist  $R_{ae} = (R_m \cdots R_n)_{ae} \neq 0$ , wenn  $(R_n)_{ae} \neq 0$ , also  $(A_{k-n})_{ae} \neq 0$ . Es folgt:

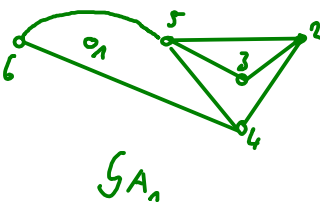
Thm: Sei  $A \in \mathbb{K}^{m \times m}$  positiv definit mit Cholesky-Zerlegung  $A = R^* R$ . Sei  $G_A = (X, E_A)$ ,  $X = \{1, \dots, m\}$  ein zu  $A$  und  $G_F = (X, E_F)$  ein zu  $F = R + R^*$  gehöriger Graph. Falls während der Cholesky-Zerlegung keine numerische Kompensation eintritt (d.h. Summen aus Nicht-Null-Einträgen zu Null werden), gilt  $(k, l) \in E_F \iff \begin{cases} (k, l) \in E_A \text{ oder} \\ \exists \mu \in \{1, \dots, m\} \text{ mit } (k, \mu) \in E_F \& (l, \mu) \in E_F \end{cases}$

Der Graph von  $A_j$  (und somit von  $R_{j-n}$ ) entsteht aus dem Graphen zu  $A_{j-n}$  durch Ausschneiden der jten Knoten und Verbinden aller seiner Nachbarknoten untereinander. Die Ermittlung der Besitztumsstruktur von  $R$  auf diese Art heißt symbolische Cholesky-Zerlegung.

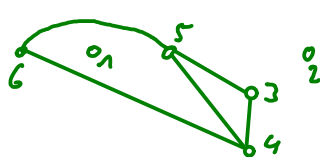
Bsp:



$$A_0 = A = \begin{bmatrix} & & & & & \\ & x & x & x & x & \\ & x & x & x & x & \\ & x & x & x & x & \\ & x & x & x & x & \\ & x & x & x & x & \\ & x & x & x & x & \\ & & & & & \end{bmatrix}$$



$$A_1 = \begin{bmatrix} & & & & & \\ & x & x & x & x & \\ & x & x & x & x & \\ & x & x & x & x & \\ & x & x & x & x & \\ & x & x & x & x & \\ & x & x & x & x & \\ & & & & & \end{bmatrix}$$



$$A_2 = \begin{bmatrix} & & & & & \\ & x & & & & \\ & x & x & x & & \\ & x & x & x & x & \\ & x & x & x & x & \\ & x & x & x & x & \\ & & & & & \end{bmatrix}$$

$$R_1 = \begin{bmatrix} & & & & & \\ & x & x & x & x & \\ & x & x & x & x & \\ & x & x & x & x & \\ & x & x & x & x & \\ & & & & & \end{bmatrix}$$

$$R_2 = \begin{bmatrix} & & & & & \\ & x & x & x & x & \\ & x & x & x & x & \\ & x & x & x & x & \\ & x & x & x & x & \\ & & & & & \end{bmatrix}$$

$$R_3 = \begin{bmatrix} & & & & & \\ & x & x & x & x & \\ & x & x & x & x & \\ & x & x & x & x & \\ & x & x & x & x & \\ & & & & & \end{bmatrix}$$

$$R = \begin{bmatrix} & & & & & \\ & x & x & x & x & \\ & x & x & x & x & \\ & x & x & x & x & \\ & x & x & x & x & \\ & & & & & \end{bmatrix}$$

Alg.: (Symbolische Cholesky-Zerlegung) Input:  $A \in \mathbb{K}^{m \times m}$ , zugehöriger Graph  $G_0 = (X_0, E_0)$ , Output:  $G_F$

for  $i = 1$  bis  $m-1$

$$\left. \begin{array}{l} \tilde{E}_i = E_{i-1} \setminus \{(k, l) \in E_{i-1} \mid k=i \text{ oder } l=i\} \\ \tilde{F}_i = \{(k, l) \mid k, l \in \text{Adj}(\{i\})\} \\ E_i = \tilde{E}_i \cup \tilde{F}_i \\ F_i = \tilde{F}_i \setminus \tilde{E}_i \end{array} \right\} \quad (*)$$

end

$$G_F = (X, E_0 \cup F_1 \cup \dots \cup F_{m-1})$$

Im  $j$ -ten Schritt der Cholesky-Zerlegung suchen wir nun ein diagonales Pivot-Element, um den Fill-in zu reduzieren. Da beim zugehörigen Graphen beim Ausschneiden eines Knotens neue Kanten nur über benachbarte Knoten entstehen können, sollte man zunächst Knoten mit minimalem Grad ausschneiden bzw. als Pivot-Element wählen.

Alg.: (Minimum Degree Algorithmus) Input:  $A \in \mathbb{K}^{m \times m}$  mit Graph  $G_0 = (X_0, E_0)$

for  $i = 1$  bis  $m$

wähle  $z \in X_{i-1}$  mit minimalem Grad  $\leftarrow$  Pivot-Element

gib  $z$  neue Nummer  $i$

$$X_i = X_{i-1} \setminus \{i\}$$

ermittle  $E_i$  wie in (\*)

end

Bem.: Endnumerierung ist unabhängig von Ausgangsnummerierung.

Hinweis: • kleinste Fehlerquadrate

Über- und unterbestimmte Gleichungssysteme

Methode der kleinsten Fehlerquadrate

Zur Parameterbestimmung in einem Anwendungsproblem werden oft mehr Messungen als nötig durchgeführt. Dies führt zu überbestimmten Gleichungssystemen.

Rsp.: gesucht: Monomkoeffizienten  $a_0, \dots, a_m$  des Polynomslaggen Grades durch die

Punkte  $(x_n, f_n), \dots, (x_m, f_m) \in \mathbb{R}^2$  ( $m > n$ ),  $x_n < \dots < x_m$ .

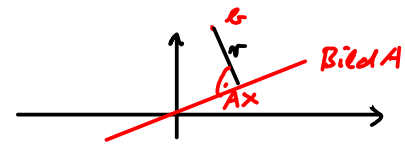
$\Rightarrow$  Löse  $A \begin{pmatrix} a_0 \\ \vdots \\ a_m \end{pmatrix} = \begin{pmatrix} f_n \\ \vdots \\ f_m \end{pmatrix}$  mit Vandermonde-Matrix  $A = \begin{pmatrix} 1 & x_n & \dots & x_n^m \\ \vdots & \vdots & & \vdots \\ 1 & x & \dots & x^m \end{pmatrix} \in \mathbb{R}^{m \times n}$

Im Folgenden sei  $A \in \mathbb{K}^{m \times n}$  mit  $m > n$ . I.A. existiert keine Lösung von  $Ax = b$ ; wir suchen daher ein  $x$  mit minimalem Residuum.

Def: (Kleinste-Quadrat-Lösung/least squares solution LSS)  $x \in \mathbb{K}^n$  heißt LSS von  $Ax = b$ , wenn

$$\|Ax - b\|_2^2 \leq \|Ay - b\|_2^2 \quad \forall y \in \mathbb{K}^n$$

Bem: Die LSS entspricht offenbar dem zu  $b$  nächstgelegten Punkt im Bild  $A$ .



Thm:  $x$  ist LSS zu  $Ax = b \iff r := Ax - b \perp \text{Bild } A \iff A^*A x = A^*b \iff Ax = Pb$

für die orthogonale Projektion  $P$  auf  $\text{Bild } A$ .  $x$  ist eindeutig  $\iff A$  hat vollen Rang.

Bew: .  $r \perp \text{Bild } A \iff Ax = Pb$  folgt aus Eigenschaften der orthogonalen Projektion.

.  $r \perp \text{Bild } A \iff A^*r = 0 \iff A^*A x = A^*b$  Pythagoras &  $Ax - Ay \perp r$

. Sei  $Ax = Pb$  und  $y$  eine LSS. Es ist  $\|Ay - b\|^2 \stackrel{\downarrow}{=} \|Ax - b\|^2 + \|Ax - Ay\|^2$

$\Rightarrow x$  ist LSS und jede LSS  $y$  erfüllt  $x - y \in \ker A$ , d.h.  $Ay = Pb$ .

. Eindeutigkeit bei vollen Rang folgt aus  $x - y \in \ker A = \{0\}$ .  $\square$

Im Folgenden habe  $A$  vollen Rang.  $A^*A x = A^*b$  heißen die „Normalengleichungen“ (NG).

Sei  $A = \hat{Q}\hat{R}$  eine reduzierte QR-Zerlegung und  $A = \hat{U}\hat{\Sigma}\hat{V}^*$  eine reduzierte SVD (entsteht aus  $U\Sigma V^*$  durch Weglassen der letzten  $m-n$  Spalten von  $U$  und Zeilen von  $\Sigma$ ). Dann kann (NG) auch geschrieben werden als  $\hat{R}^*\hat{Q}^*\hat{Q}\hat{R}x = \hat{R}^*\hat{Q}^*b$  bzw.

$$\hat{R}x = \hat{Q}^*b$$

oder als  $V\Sigma^*\hat{U}^*A\hat{\Sigma}V^*x = V\Sigma\hat{U}^*b$  bzw.

$$\hat{\Sigma}V^*x = \hat{U}^*b.$$

Es ergeben sich 3 mögliche Algorithmen zur Bestimmung einer LSS:

Alg: (LSS per NG)

1. Berechne  $A^*A, A^*b$

2. Cholesky-Zerlegung  $A^*A = R^*R$

3. Löse  $R^*R x = A^*b$  mit Vorwärts- & Rückwärtseinsetzen.

Alg: (LSS per QR)

1. reduzierte QR-Zerlegung  $A = \hat{Q}\hat{R}$  via Householder-Verfahren

2. Berechne  $\hat{Q}^*b$

3. Löse  $\hat{R}x = \hat{Q}^*b$  per Rückwärtseinsetzen

## Alg: (LSS per SVD)

1. Berechne reduzierte SVD  $A = \tilde{U} \tilde{\Sigma} V^*$

2. Berechne  $\tilde{U}^* b$ ,  $w = \tilde{\Sigma}^{-1} (\tilde{U}^* b)$ ,  $x = V w$

Thm: Aufwand von LSS per  $\begin{cases} NG & \sim m n^2 + \frac{n^3}{3} \\ QR & \sim 2mn^2 - \frac{2}{3}n^3 \\ SVD & \sim 2mn^2 + \frac{11}{3}n^3 \end{cases}$  Hausaufgabe flogar.

format long;

$m = 100$ ;  $n = 15$ ;

$t = \text{linspace}(0, 1, m)$ ;

$A = \text{fliplr}(\text{vander}(t))$ ;  $A = A(1:m, 1:n)$ ;

$b = \exp(\sin(4*t')) / 2006.787453080206$ ;

$m$  Messungen, Polynomgrad  $m-1$   
 $m$  Stützstellen für Polynominterpolation  
 $\Rightarrow$  exaktes  $x(15) = 1$

$[Q, R] = \text{qr}(A, 0)$ ;

$x = R \setminus (Q^* b)$ ;  $x(15)$

$x = A \setminus b$ ;  $x(15)$

QR-Faktorisierung mit Pivoting

$[Q, R] = \text{mgs}(A)$ ;

$x = R \setminus (Q^* b)$ ;  $x(15)$

$[Q, R] = \text{mgs}([A \ b])$ ;

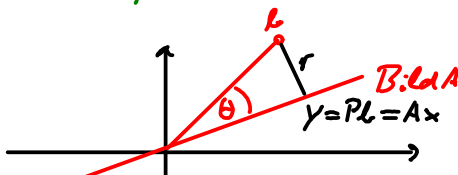
$x = R(1:n, 1:n) \setminus R(1:n, n+1)$ ;  $x(15)$

$x = (A^* A) \setminus (A^* b)$ ;  $x(15)$

instabil, da  $Q$  kaum orthogonal

stabile Berechnung von  $Q^* b$

instabil



$$\text{Sei } \theta = \arccos \frac{\|y\|}{\|b\|}, \eta = \frac{\|A\| \|x\|}{\|y\|}.$$

Thm: Sei  $\kappa(A) = \|A\| \|A^+\|$ . Die relative Konditionszahl (begr.  $\|\cdot\|_2$ ) der LSS von  $Ax = b$  bzgl.

Perturbationen in  $b$  ist  $\kappa_p = \frac{\kappa(A)}{\eta \cos \theta}$  und in  $A$  ist  $\kappa_A \leq \kappa(A) + \frac{\kappa(A)^2 \tan \theta}{\eta}$ .

Bew.: Sei  $f(b) = A^+ b$ .  $\kappa_b = \frac{\|Df(b)\|}{\|x\|/\|b\|} = \|A^+\| \frac{\|b\|}{\|y\|} \frac{\|y\|}{\|x\|} = \|A^+\| \frac{1}{\cos \theta} \frac{\|A\|}{\eta} = \frac{\kappa(A)}{\eta \cos \theta}$

Sei  $A = U \Sigma V^*$  eine SVD. Da  $\|\cdot\|_2$  invariant unter Multiplikation unitären Matrizen,

können wir zur Konditionszahlberechnung  $A$  und  $b$  von links mit  $U^*$ ,  $A$  und  $x$  von

rechts mit  $V$  multiplizieren und uns somit auf den Fall  $A = \begin{pmatrix} A_n \\ 0 \end{pmatrix} = \begin{pmatrix} z_1 & \dots & z_n \\ 0 & \ddots & 0 \end{pmatrix}$ ,  $b = \begin{pmatrix} b_n \\ b_{n+1} \end{pmatrix}$ ,

$x = A_n^{-1} b_n$  beschränken.

Eine Perturbation  $\delta A$  kann geschrieben werden als  $\delta A = \begin{pmatrix} \delta A_1 \\ \delta A_2 \end{pmatrix}$ .  $\delta A_1$  ändert nicht

Bild  $A$  sondern nur  $x$  zu  $x + \delta x = (A_n + \delta A_1)^{-1} b_n$ , d.h. die Kondition ist

$$\frac{\|\delta x\|}{\|x\|} / \frac{\|\delta A_1\|}{\|A\|} \leq \kappa(A_n) = \kappa(A).$$

$\delta A_2$  kippt Bild  $A$  um einen Winkel  $\delta\alpha$ , während  $A_n$  unverändert bleibt. Dies ist äquivalent zu einer Perturbation von  $b_n$  um  $\delta b_n$  in  $x = A_n^{-1} b_n$  mit Konditionszahl

$$\frac{\|\delta x\|}{\|x\|} / \frac{\|\delta b_n\|}{\|b_n\|} = \frac{\|A_n^{-1} \delta b_n\|}{\|\delta b_n\|} \frac{\|b_n\|}{\|x\|} \leq \|A_n^{-1}\| \frac{\|A_n x\|}{\|x\|} = \frac{\kappa(A_n)}{\gamma} = \frac{\kappa(A)}{\gamma}.$$

Wie hängen  $\delta b_n$  und  $\delta A_2$  zusammen? Die NG zu  $\begin{pmatrix} A_n & \\ \delta A_2 & \end{pmatrix}(x + \delta x) = \begin{pmatrix} b_n \\ b_n \end{pmatrix}$  sind

$$(A_n^* + \delta A_2^* \delta A_2)(x + \delta x) = A_n b_n + \delta A_2^* b_2,$$

d.h. mit  $(I + \delta B)^{-1} = I - \delta B$  für infinitesimal  $\delta B = A_n^{-1} \delta A_2 \delta A_2^* A_n$

$$x + \delta x = A_n^{-1} [I - \delta B] (b_n + A_n^{-1} \delta A_2 b_2) \equiv A_n^{-1} (b_n + \delta b_n).$$

Unter Vernachlässigung von Termen höherer Ordnung ergibt sich

$$\delta b_n = A_n^{-1} \delta A_2 b_2,$$

$$\text{also } \frac{\|\delta x\| / \|\delta A_2\|}{\|x\| / \|A\|} = \underbrace{\frac{\|\delta x\|}{\|x\|} / \frac{\|\delta b_n\|}{\|b_n\|}}_{\leq \frac{\kappa(A)}{\gamma}} \cdot \underbrace{\frac{\|\delta b_n\|}{\|\delta b_n\|} / \frac{\|\delta A_2\|}{\|\delta A_2\|}}_{\leq \kappa(A)^2} \frac{\tan \theta}{\gamma} \leq \kappa(A)^2 \frac{\tan \theta}{\gamma}$$

□

Thm: LSS per QR und LSS per SVD sind rückwärtsstabil. LSS per NG ist instabil.

Bem: Die Erklärung für LSS per NG ist folgende: Die Lösung von  $A^* A x = A^* b$  per Cholesky-Zerlegung liefert ein  $\tilde{x}$  mit  $\|\tilde{x} - x\| = O(\kappa(A^* A) \varepsilon_m)$  (dies ist wegen der Stabilität der Cholesky-Zerlegung die bestmögliche Fehlerschranke). Nun ist  $\kappa(A^* A) = \kappa(A)^2$ , d.h. der relative Fehler von LSS per NG verhält sich wie  $\kappa(A)^2 \varepsilon_m$ .

Für einen stabilen Algorithmus ist der relative Fehler jedoch  $\sim (\kappa_A + \kappa_B) \varepsilon_m$   
 $\sim \left( \frac{\kappa(A)}{\gamma \cos \theta} + \kappa(A) + \frac{\kappa(A)^2 \tan \theta}{\gamma} \right) \varepsilon_m$ , d.h. für kleine  $\theta \sim \frac{1}{\kappa(A)}$  oder große  $\eta \sim \kappa(A)$  ist der relative Fehler nur  $\sim \kappa(A) \varepsilon_m$ .

Hinweis:

- Minimum-Norm-Lösung
- Tikhonov-Regularisierung
- Banachscher Fixpunktssatz

### Minimum-Norm-Lösung

Im Folgenden sei  $A \in \mathbb{R}^{m \times n}$  ohne Annahmen an den Rang oder an  $m, n$ . Die LS ist i.A. nicht eindeutig. Daher wählt man oft diejenige LSS kleiner Norm.

Def: (Moore-Penrose-Inverses MPE)  $x^+ \in \mathbb{R}^n$  heißt MPE- oder Minimum-Norm-Lösung von  $Ax = b$ , wenn  $x^+$  eine LSS mit minimaler Norm ist

Thm:  $\text{Ker } A^* = \text{Bild } A^\perp \quad (\Leftrightarrow (\text{Ker } A^*)^\perp = \text{Bild } A)$

Bew:  $x \in \text{Ker } A^* \Leftrightarrow A^*x = 0 \Leftrightarrow \text{Bild } A \perp x$  □

Thm: Die MPI-Lösung ist eindeutig und charakterisiert durch  $A^*A x^* = A^*b$  und  $x^* \in \text{Bild } A^*$ .

Bew: Sei  $x$  eine LSS. Die Menge  $M$  aller LSS ist  $x + \text{Ker } A$ , denn  $y \in M \Leftrightarrow A^*Ay = A^*b = A^*Ax$   
 $\Leftrightarrow x - y \in \text{Ker } (A^*A) = \text{Ker } A$  da  $\text{Ker } A^* = \text{Bild } A^\perp$ .

• Sei  $x^* \in M$  mit  $x^* \in \text{Bild } A^* = \text{Ker } A^\perp$ , sei  $y \in M$ . Nach Pythagoras ist wegen  $x^* - y \in \text{Ker } A$   
 $\|y\|^2 = \|x^*\|^2 + \|y - x^*\|^2 \Rightarrow x^*$  ist eindeutige MPI-Lösung

•  $x^* \in M \cap \text{Bild } A^*$  existiert (wähle  $x^* = x - P_{\text{Ker } A}x$  für  $P_{\text{Ker } A}$  die orthogonale Projektion auf  $\text{Ker } A$ ) □

Bsp: giv: Messung  $(x_0, f_n)$ , ges:  $a_0, a_n$  MPI-Lösung zu  $a_0 + a_n x_n = f_n$

$$\Rightarrow \begin{pmatrix} 1 \\ x_n \end{pmatrix} (1 \ x_n) \begin{pmatrix} a_0 \\ a_n \end{pmatrix} = \begin{pmatrix} 1 \\ x_n \end{pmatrix} f_n \quad \& \quad \begin{pmatrix} a_0 \\ a_n \end{pmatrix} \in \text{Bild} \begin{pmatrix} 1 \\ x_n \end{pmatrix}, \text{d.h. } \begin{pmatrix} a_0 \\ a_n \end{pmatrix} = \alpha \begin{pmatrix} 1 \\ x_n \end{pmatrix}$$

$$\Rightarrow \text{suche } \alpha \text{ mit } \begin{pmatrix} 1 \\ x_n \end{pmatrix} (1 \ x_n) \alpha \begin{pmatrix} 1 \\ x_n \end{pmatrix} = \begin{pmatrix} 1 \\ x_n \end{pmatrix} f_n$$

$$\Rightarrow \alpha = \frac{f_n}{1+x_n^2} \quad , \quad \begin{pmatrix} a_0 \\ a_n \end{pmatrix} = \frac{f_n}{1+x_n^2} \begin{pmatrix} 1 \\ x_n \end{pmatrix}$$

Def: (MPI) Die Abbildung  $A^*: b \mapsto x^*$  für  $x^*$  die MPI-Lösung zu  $Ax = b$  heißt MPI.

Bem: •  $A \in \mathbb{K}^{m \times m}$  regulär  $\Rightarrow A^* = A^{-1}$

•  $A \in \mathbb{K}^{m \times n}$  mit vollem Rang und  $m > n \Rightarrow A^* = (A^*A)^{-1}A^*$

•  $\underline{\hspace{1cm}}^n \underline{\hspace{1cm}}^m \Rightarrow A^* = A^*(AA^*)^{-1}$

Thm: •  $(A^*)^* = A$  •  $AA^*A = A$  •  $A^*AA^* = A^*$  •  $A^*A$  &  $AA^*$  sind hermitesch

(Hausaufgabe)

Bem: Sei  $A = U\Sigma V^*$  eine SVD mit  $\Sigma = \text{diag}(\sigma_1, \dots, \sigma_k, 0, \dots, 0)$ , dann kann  $x^*$  zu  $Ax = b$  berechnet werden durch  $w = U^*b$ ,  $v = (w_1/\sigma_1, \dots, w_k/\sigma_k, 0, \dots)$ ,  $x^* = Vv$ .

Die Kondition der MPI-Lösung ist schlecht, wenn  $\kappa(A) = \frac{\sigma_1}{\sigma_k}$  groß ist, d.h. kleine Datenfehler werden enorm verstärkt. Dann ist die MPI-Lösung praktisch nicht brauchbar und wird z.B. ersetzt durch Folgender.

Def: (Tikhonov-Inverse) Sei  $\gamma > 0$ .  $x_\gamma^* = \underset{x \in \mathbb{K}^n}{\operatorname{argmin}} \|Ax - b\|_2^2 + \gamma^2 \|x\|_2^2$  heißt Tikhonov-regularisierte Lösung von  $Ax = b$ ; die lineare Abbildung  $A_\gamma^*: b \mapsto x_\gamma^*$  heißt Tikhonov-Inverse.

Thm: Die Tikhonov-regularisierte Lösung ist eindeutig und gegeben durch

$$(A^*A + \gamma^2 I) x_\gamma^* = A^*b \quad \text{bzw. } x_\gamma^* = A_\gamma^*b = V(\Sigma^2 + \gamma^2 I)^{-1}\Sigma U^*b$$

(für  $A = U\Sigma V^*$  die SVD). (Hausaufgabe)

## Iterative Lösung von Gleichungssystemen

Häufig sind die direkten Lösungsverfahren trotz Ausnutzung der dünnen Besettheit zu langsam.

In der Praxis nutzt man daher typischerweise iterative Verfahren, die eine Näherung der Lösung liefern.

### Banachscher Fixpunktatz

Def: (Kontraktion) Sei  $X$  normierter Raum,  $U \subset X$ .

- $f: U \rightarrow X$  heißt Kontraktion  $\Leftrightarrow \exists q \in (0,1)$  mit  $\|f(x) - f(y)\| \leq q \|x - y\| \forall x, y \in U$
- $x \in U$  heißt Fixpunkt von  $f \Leftrightarrow f(x) = x$

Thm (Banachscher Fixpunktatz): Sei  $X$  ein Banachraum,  $U \subset X$  abgeschlossen,  $f: U \rightarrow U$  eine Kontraktion, dann gilt:

- 1)  $f$  besitzt genau einen Fixpunkt  $\bar{x} \in U$
- 2) Die „Fixpunktiteration“  $x_{k+1} = f(x_k)$ ,  $x_0 \in U$ , konvergiert  $x_k \rightarrow \bar{x}$ .
- 3) Der Fehler erfüllt  $\|x_k - \bar{x}\| \leq \underbrace{\frac{q}{1-q}}_{\text{„aposteriori - , a priori - Abschätzung“}} \|x_k - x_{k-1}\| \leq \underbrace{\frac{q^k}{1-q}}_{\text{„aposteriori - , a priori - Abschätzung“}} \|x_0 - x_1\|$

Bew: Vorbereitung: „aposteriori - , a priori - Abschätzung“

$$\|x_\ell - x_{\ell-1}\| = \|f(x_{\ell-1}) - f(x_{\ell-2})\| \leq q \|x_{\ell-1} - x_{\ell-2}\| \leq q^2 \|x_{\ell-2} - x_{\ell-3}\| \leq \dots \leq q^{\ell-k-1} \|x_{k+1} - x_k\| \quad (\star)$$

$$\begin{aligned} \|x_\ell - x_k\| &\leq \|x_\ell - x_{\ell-1}\| + \|x_{\ell-1} - x_{\ell-2}\| + \dots + \|x_{k+1} - x_k\| \\ &\leq q^{\ell-k-1} \|x_{k+1} - x_k\| + q^{\ell-k-2} \|x_{k+1} - x_k\| + \dots + q^0 \|x_{k+1} - x_k\| \\ &= \underbrace{\sum_{j=0}^{\ell-k-1} q^j}_{\leq \sum_{j=0}^{\infty} q^j} \|x_{k+1} - x_k\| \leq \frac{1}{1-q} \|x_{k+1} - x_k\| \stackrel{(\star)}{\leq} \frac{q}{1-q} \|x_k - x_{k-1}\| \quad (\star\star) \\ &\leq \frac{q}{1-q} \end{aligned}$$

\*)  $x_k$  ist eine Cauchyfolge: für  $\varepsilon > 0$  wähle  $N \in \mathbb{N}$  mit  $q^N < \varepsilon \frac{1-q}{\|x_n - x_0\|}$ , dann ist

$$\|x_\ell - x_n\| \stackrel{(\star\star)}{\leq} \frac{q}{1-q} \|x_n - x_{n-1}\| \stackrel{(\star)}{\leq} \frac{q^k}{1-q} \|x_n - x_0\| < \varepsilon \quad \forall \ell \geq k \geq N$$

•  $\Rightarrow x_k \rightarrow \bar{x}$  für ein  $\bar{x} \in U$ , und  $\bar{x}$  ist Fixpunkt, da

$$\|f(\bar{x}) - \bar{x}\| = \lim_{\ell \rightarrow \infty} \|f(\bar{x}) - x_{\ell+1}\| = \lim_{\ell \rightarrow \infty} \|f(\bar{x}) - f(x_\ell)\| \leq \lim_{\ell \rightarrow \infty} q \|f(\bar{x}) - x_\ell\| = 0$$

•  $\bar{x}$  ist eindeutig, denn  $y = f(y) \Rightarrow \|y - y\| = \|f(\bar{x}) - f(y)\| \leq q \|\bar{x} - y\| \Rightarrow \|\bar{x} - y\| = 0$

$$3) \|\bar{x} - x_k\| = \lim_{\ell \rightarrow \infty} \|x_\ell - x_k\| \stackrel{(\star\star)}{\leq} \frac{q}{1-q} \|x_k - x_{k-1}\| \stackrel{(\star)}{\leq} \frac{q^k}{1-q} \|x_0 - x_1\| \quad \square$$

Thm: Sei  $f: U \rightarrow \mathbb{R}^m$  differenzierbar,  $U \subset \mathbb{R}^m$  konvex,  $\|\cdot\|$  Norm auf  $\mathbb{R}^m$ .

$f$  ist Kontraktion mit Konstante  $q \Leftrightarrow \|Df(x)\| \leq q \quad \forall x \in U$

Bew: „ $\Rightarrow$ “  $Df(x)v = \lim_{h \rightarrow 0} \frac{f(x+hv) - f(x)}{h} \quad \forall v \in \mathbb{R}^m$

$$\|Df(x)v\| = \lim_{h \rightarrow 0} \frac{\|f(x+hv) - f(x)\|}{h} \leq q \lim_{h \rightarrow 0} \frac{\|hv\|}{h} = q\|v\| \quad \forall v \in \mathbb{R}^m$$

„ $\Leftarrow$ “ Sei  $x, y \in U$ ,  $F(s) = f(x + s(y-x)) \Rightarrow F'(s) = Df(x + s(y-x))(y-x)$

$$\|f(y) - f(x)\| = \|F(1) - F(0)\| = \left\| \int_0^1 F'(s) ds \right\| \leq \sup_s \|F'(s)\| \leq \|Df\| \|y-x\| \leq q \|y-x\| \quad \square$$

Bsp:  $f: [0,1] \rightarrow [0,1], f(x) = \frac{\sin x}{2}$  ist Kontraktion mit Fixpunkt 0, denn  $|f'(x)| = \frac{|\cos(x)|}{2} \leq \frac{1}{2}$

$f: \mathbb{R} \rightarrow \mathbb{R}, f(x) = \tan x$  ist keine Kontraktion, da  $|f'(x)| = \frac{1}{\cos^2 x} \geq 1$ . Ein Fixpunkt von  $f$  kann aber gefunden werden nach der Umformung von  $x = \tan x$  in archtan x = x Kontraktion

$f: \mathbb{R}^2 \rightarrow \mathbb{R}^2, f(x) = Bx + b$  mit  $B = O \wedge O^T$  für

$$O = \begin{pmatrix} 4 & -3 \\ 3 & 4 \end{pmatrix} \text{ orthogonal, } \Lambda = \begin{pmatrix} \frac{13}{14} & 0 \\ 0 & 0 \end{pmatrix}, \quad B = \frac{1}{350} \begin{pmatrix} 208 & 156 \\ 156 & 117 \end{pmatrix}$$

ist kontrahierend bzgl.  $\|\cdot\|_2$ , da  $\|Df\|_2 = \|B\|_2 = \frac{13}{14} < 1$ , (\*)

aber nicht bzgl.  $\|\cdot\|_\infty$ , da  $\|Df\|_\infty = \max_i \sum_{j=1}^2 |B_{ij}| = \frac{364}{350} > 1$ .

(\*)  $\Rightarrow f$  hat eindeutigen Fixpunkt  $(\bar{x} = (B-I)^{-1}b)$

$$B = [208 \ 156; 156 \ 117]/350; \quad b = [0; 0];$$

$$q = 13/14;$$

$$x = [1; 1];$$

xNew=B\*x-b; error=norm(xNew, 2), aposteriori=q/(1-q)\*norm(xNew-x, 2), x=xNew;

xNew=B\*x-b; error=norm(xNew, 2), aposteriori=q/(1-q)\*norm(xNew-x, 2), x=xNew;

...

Hinweis: · iterativ Gleichungssystemlöser

### Iterativ Löser für lineare Gleichungssysteme

Def (Spektralradius): Sei  $A \in \mathbb{C}^{m \times m}$ .  $\rho(A) = |\lambda|$  für den größten Eigenwert  $\lambda$  heißt Spektralradius von  $A$

Thm:  $\|A\| \geq \rho(A)$  für alle induzierten Matrixnormen  $\|\cdot\|$ .

Bew: Sei  $\lambda$  Eigenwert mit Eigenvektor  $x$ ,  $|\lambda| = \rho(A) \Rightarrow \|A\| \geq \frac{\|Ax\|}{\|x\|} = |\lambda|$  □

Thm: Für alle  $\varepsilon > 0$  existiert eine Norm  $\|\cdot\|$  auf  $\mathbb{C}^m$ , sodass  $\|A\| \leq \rho(A) + \varepsilon$  für die induzierte Matrixnorm

Bew: Es existiert  $X \in \mathbb{C}^{m \times m}$  regulär, sodass  $f = XAX^{-1} = \begin{pmatrix} \lambda_1 s_1 & & \\ & \lambda_2 s_2 & \\ & & \ddots & s_{m-n} \\ & & & \lambda_m \end{pmatrix}$  Jordan-Normalform hat, d.h.  $\lambda_i$  sind die Eigenwerte,  $s_i \in \{0, 1\}$ .

Sei  $D = \begin{pmatrix} \varepsilon^0 & & \\ & \varepsilon^1 & \\ & & \ddots & \varepsilon^m \end{pmatrix} \Rightarrow \|x\| := \|D^{-1}Xx\|_\infty$  definiert eine Norm (Hausaufgabe)

$$\text{und } \|A\| = \sup_x \frac{\|Ax\|}{\|x\|} = \sup_x \frac{\|XDX^{-1}fDD^{-1}Xx\|}{\|x\|} = \sup_x \frac{\|D^{-1}fD(D^{-1}Xx)\|_\infty}{\|D^{-1}Xx\|_\infty} \leq \|D^{-1}fD\|_\infty$$

$$= \left\| \begin{pmatrix} \lambda_1 & \varepsilon s_1 & & \\ & \lambda_2 & \varepsilon s_2 & \\ & & \ddots & \varepsilon s_m \\ & & & \lambda_m \end{pmatrix} \right\|_\infty = \max_i |\lambda_i| + \varepsilon |s_i| \leq \rho(A) + \varepsilon \quad \square$$

Thm: Sei  $A = M - N \in \mathbb{K}^{m \times m}$ ,  $M$  regulär,  $b, x_0 \in \mathbb{K}^m$ ,  $x_{k+1} = M^{-1}(N x_k + b)$ .

$$x_k \rightarrow A^{-1}b \quad \forall x_0, b \in \mathbb{K}^m \Leftrightarrow \rho(B) < 1 \text{ für } B = M^{-1}N.$$

Bew: „ $\Leftarrow$ “  $f(x) = M^{-1}(N x + b)$  ist Kontraktion bzgl. einer Norm  $\|\cdot\|$ , da  $\|Df\| = \|B\|$

$\Rightarrow x_n$  konvergiert gegen den eindeutigen Fixpunkt  $\bar{x}$  mit  $M\bar{x} = N\bar{x} + b \Leftrightarrow N\bar{x} = 0$ .

„ $\Rightarrow$ “ Sei  $\rho(B) > 1$ ,  $\lambda$  Eigenvektor und  $x_0$  Eigenvektor mit  $|\lambda| = \rho(B), \lambda \neq 0$ , dann ist  $x_k = \lambda^k x_0 \not\rightarrow 0$ . □

Def: Sei  $A \in \mathbb{K}^{m \times m}$  regulär,  $b \in \mathbb{K}^m$ ,  $A = L + D + R$  für eine invertierbare Diagonalmatrix  $D$  und eine untere und obere Dreiecksmatrix  $L$  und  $R$  ohne Diagonale. Die Iteration  $x_{k+1} = M^{-1}(N x_k + b)$  heißt

- Jakobi- oder Gesamtschritt-Verfahren für  $M = D$ ,  $N = -L - R$ , d.h.

$$(x_{k+1})_i = \frac{1}{A_{ii}} \left( b_i - \sum_{j \neq i} A_{ij} (x_k)_j \right) = \text{Lsg von } A_{ii} \begin{pmatrix} (x_k)_1 \\ \vdots \\ x \\ (x_k)_{i+1} \\ \vdots \\ (x_k)_m \end{pmatrix} = b_i$$

- Gauß-Seidel- oder Einzelschritt-Verfahren für  $M = D + L$ ,  $N = -R$ , d.h.

$$(x_{k+1})_i = \frac{1}{A_{ii}} \left( b_i - \sum_{j > i} A_{ij} (x_k)_j - \sum_{j < i} A_{ij} (x_{k+1})_j \right)$$

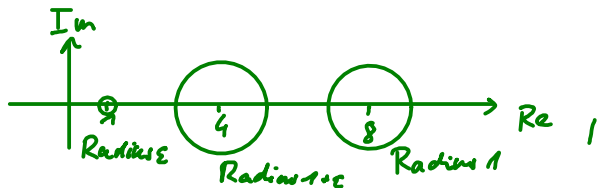
Bem:

- Beim FV können alle Einträge von  $x$  simultan aktualisiert werden, beim GSV werden alle Einträge nacheinander aktualisiert (genau wie bei FV, nur dass immer die bisher aktuellsten Einträge genutzt werden).
- geringer Aufwand, wenn  $A$  dünn besetzt

Thm (Satz von Gershgorin): Jeder Eigenwert von  $A \in \mathbb{C}^{m \times m}$  liegt in mindestens einer der in Kreisscheiben der komplexen Ebene mit Zentrum  $A_{ii}$  und Radius  $\sum_{j \neq i} |A_{ij}|$ . Wenn  $n$  Kreisscheiben ein zusammenhängendes, von den anderen Scheiben disjunktes Gebiet bilden, liegen darin genau  $n$  Eigenwerte (gezählt mit algebraischer Vielfachheit).

Bew: siehe Übung.

Bsp:  $A = \begin{pmatrix} 8 & 1 & 0 \\ 1 & 4 & \varepsilon \\ 0 & \varepsilon & 1 \end{pmatrix}$  hat Gershgorinkreise



die die drei Eigenwerte enthalten.

Bem: Die Abschätzung kann oft verschärft werden, indem man zu einer ähnlichen Matrix  $X A X^{-1}$  übergeht, z.B. mit diagonalem  $X$ .

Def: (Diagonaldominanz)  $A \in \mathbb{K}^{m \times m}$  heißt (strikt) diagonaldominant, wenn  $\sum_{j \neq i} |A_{ij}| < |A_{ii}| \forall i$

Thm:  $A$  strikt diagonaldominant  $\Rightarrow A$  regulär und FV, GSV konvergieren.

Bew:

- kein Gershgorinkreis enthält 0  $\Rightarrow 0$  ist kein Eigenwert  $\Rightarrow A$  regulär
- FV konvergiert  $\Leftrightarrow \rho(M^{-1}N) = \rho(\underbrace{-D^{-1}(L+R)}_{=: B}) < 1$ ; dies gilt, da  $B_{ii} = 0$  und  $\sum_{j \neq i} |B_{ij}| = \sum_{j \neq i} |A_{ij}| / |A_{ii}| < 1 \Rightarrow$  Gershgorinkreise haben Zentrum 0 & Radius < 1
- GSV konvergiert  $\Leftrightarrow \rho(\underbrace{-(D+L)^{-1}R}_{=: B}) < 1$ .

Angenommen,  $(D+L)^{-1}R$  habe einen Eigenwert  $|\lambda| \geq 1$ , dann ist  $R + \lambda(D+L)$  strikt

diagonaldominant und somit invertierbar. Weiterhin ist das charakteristische Polynom  $\chi_B(\lambda) = \det(B - \lambda I) = 0$ , dies widerspricht jedoch  $\det(B - \lambda I) = \det(-(D+L)^{-1} [R + \lambda(D+L)]) = \det(-(D+L)^{-1}) \det(R + \lambda(D+L)) \neq 0$   $\square$

Bem: Der Satz gilt sogar wenn  $A$  nur diagonaldominant und zusätzlich irreduzibel ist, d.h. es gibt keine disjunkte Zerlegung  $\{1, \dots, m\} = I \cup J$  mit  $A_{ij} = 0 \forall i \in I, j \in J$ .

Hinweis: - SOR

- Landweberverfahren
- Gradientenverfahren

Def: Sei  $A \in \mathbb{K}^{m \times m}$ ,  $\omega \in [0, 2]$ ,  $A = L + D + R$  wie zuvor,  $b \in \mathbb{K}^m$

•  $x_{k+1} = (1-\omega)x_k + \omega D^{-1}(b - (L+R)x_k)$  heißt relaxiertes fV.

•  $(x_{k+1})_i = (1-\omega)(x_k)_i + \frac{\omega}{A_{ii}} \left( b_i - \sum_{j < i} A_{ij}(x_k)_j - \sum_{j > i} A_{ij}(x_k)_j \right)$

bzw.  $x_{k+1} = (D + \omega L)^{-1} [(1-\omega)Dx_k + \omega(b - Rx_k)]$  heißt relaxiertes GSV.

Für  $\omega > 1$  spricht man auch von „successive overrelaxation“ (SOR).

Bem:  $\omega = 1$  liefert fV und GSV.

Thm: Sei  $A = L + D + L^* \in \mathbb{R}^{m \times m}$  symmetrisch positiv definit,  $\omega \in (0, 2)$ , dann konvergiert SOR.

Bew: Sei  $B = (D + \omega L)^{-1} ((1-\omega)D - \omega L^*)$ ; wir brauchen  $\rho(B) < 1$ .

Sei  $\lambda$  Eigenwert von  $B$  mit Eigenvektor  $x$ ,  $d = x^* D x$ ,  $\ell = x^* L x = x^* L^* x$

$$\Rightarrow ((1-\omega)D - \omega L^*)x = \lambda(D + \omega L)x$$

$$\Rightarrow (1-\omega)d - \omega\ell = \lambda(d + \omega\ell) \Rightarrow \lambda = \frac{(1-\omega)d - \omega\ell}{d + \omega\ell}, \text{ d.h.}$$

$$|\lambda| < 1 \text{ wenn } d + \omega\ell > \begin{cases} (1-\omega)d - \omega\ell \\ -(1-\omega)d + \omega\ell \end{cases} \Leftrightarrow \begin{cases} \omega(d + 2\ell) > 0 \\ (2-\omega)d > 0 \end{cases}.$$

Dies gilt wegen  $\omega < 2$ ,  $d = \sum_{i=1}^m A_{ii} |x_i|^2 > 0$ ,  $d + 2\ell = x^* (L + D + L^*)x = x^* A x > 0$   $\square$

Bem: Für  $\omega \notin (0, 2)$  ist jedoch  $\rho(B) \geq 1$ , denn

$$\rho(B)^m \geq |\lambda_1| \cdot |\lambda_2| \cdot \dots \cdot |\lambda_m| = |\det B| = \left| \det \underbrace{(I + \omega D^{-1} L)}_{\begin{pmatrix} 1 & & 0 \\ x & x & \dots & 1 \\ x & x & \dots & x \end{pmatrix}} \underbrace{((1-\omega)I - \omega D^{-1} L^*)}_{\begin{pmatrix} 1-\omega & & & \\ & 1-\omega & \dots & \\ & & \ddots & \\ 0 & & & 1-\omega \end{pmatrix}} \right| = (1-\omega)^m.$$

Def: (Landweberverfahren) Das Landweberverfahren zum Finden der MPI-Lösung zu  $Ax = b$ ,  $A \in \mathbb{K}^{m \times n}$ ,  $b \in \mathbb{K}^m$ , für  $\omega > 0$  fest ist  $x_0 \in \mathbb{K}^n$ ,  $x_{k+1} = f(x_k) := x_k - \omega A^*(A x_k - b)$

Bem: Das Landweberverfahren unterscheidet sich von der Fixpunktform der NG,  $\bar{x} = x + A^*(b - Ax)$ , durch Relaxieren,  $x_{k+1} = (1-\omega)x_k + \omega [x_k + A^*(b - Ax_k)]$

Thm: Sei  $\omega \in (0, \frac{2}{\|A\|_2^2})$ ,  $x_0 \in \text{Bild } A^*$ . Das Landweber-Vorfahren konvergiert gegen die MPE Lösung

Bew:  $U = \text{Bild } A^* \subset \mathbb{R}^n$  ist abgeschlossen,  $f: U \rightarrow U$ . Es ist zu zeigen, dass  $f$  eine Kontraktion ist, also  $\rho(Df|_U) < 1$ , dann konvergiert  $x_k$  gegen einen Fixpunkt  $\bar{x} \in U$ , also gegen die MPE-Lösung.

Die Eigenwerte  $\lambda_i$  von  $Df|_U = (I - \omega A^* A)|_U$  sind genau  $1 - \omega \beta_i^2$  für  $\beta_i$ : die Singulärwerte von  $A|_U$ . Es ist  $\|A\|_2 = \beta_1 \geq \beta_2 \geq \dots \geq 0$  (alle strikt positiv, da  $A|_U$  auf  $U = \text{Ker } A^\perp$  operiert).  $\Rightarrow \lambda_i \in (-1, 1) \quad \forall i$ .  $\square$

Bem: Die vorgestellten Verfahren lassen sich auch wie folgt interpretieren:

- Wir suchen die Lösung zu  $Ax = b$  mittels Fixpunktiteration.
- Der einfache Ansatz  $x = (I - A)x + b$  ist nicht immer zielführend, da die rechte Seite typischerweise keine Kontraktion ist.
- Stattdessen konditionieren wir das System zunächst mit einer Matrix  $Q$  vor,  $QAx = Qb$ , und betrachten dann die Fixpunktiteration

$$x_{k+1} = (I - QA)x_k + Qb.$$

- Konvergenz ist umso schneller, je stärker die Kontraktion ist, d.h. je kleiner  $\rho(I - QA)$   
 $\Rightarrow Q$  sollt eine möglichst gute, aber auch einfache Approximation an  $A^{-1}$  sein.
- JV :  $Q = D^{-1}$  (für  $A = L + D + R$ )  
GSV :  $Q = (D + L)^{-1}$

### Krylov-Raum-Vorfahren

Statt eines linearen Gleichungssystems kann man oft auch ein Minimierungsproblem lösen:

Sei  $A \in \mathbb{R}^{m \times m}$  symmetrisch positiv definit,  $b \in \mathbb{R}^m$  und  $f: \mathbb{R}^m \rightarrow \mathbb{R}$ ,  $x \mapsto \frac{1}{2}x^T A x - x^T b$ .

Wir suchen das Minimum  $\bar{x}$  von  $f \Rightarrow 0 = \nabla f(\bar{x}) = A\bar{x} - b$ , d.h. das Minimum löst  $Ax = b$ .

Ein mögliches iteratives Verfahren erzeugt eine Folge  $x_0, x_1, \dots \in \mathbb{R}^m$  mit  $f(x_0) > f(x_1) > \dots$ , indem es im k-ten Schritt in eine Richtung  $d_k$  geht, in die  $f$  abnimmt.

Alg (Liniensuchverfahren) input :  $f: \mathbb{R}^m \rightarrow \mathbb{R}$ ,  $x_0 \in \mathbb{R}^m$ , output: Approximationen  $x_k$  an argmin  $f$  für  $k = 0, 1, 2, \dots$

wähle Abstiegsrichtung  $d_k$  (d.h.  $Df(x_k)d_k < 0$ )

wähle Schrittweite  $\alpha_k$  mit  $f(x_k + \alpha_k d_k) < f(x_k)$

$$x_{k+1} = x_k + \alpha_k d_k$$

end

Bem: Der Algorithmus funktioniert auch für allgemeine Minimierungsprobleme einer fkt. f.

Thm: Sei  $A \in \mathbb{R}^{m \times m}$  symmetrisch positiv definit, dann ist  $(x, y)_A := x^T A y$  ein Skalarprodukt auf  $\mathbb{R}^m$ . Die induzierte Norm sei  $\|x\|_A = \sqrt{x^T A x}$ .

Bew: Hausaufgabe

Für  $Ax = b$  bzw.  $f(x) = \frac{1}{2} x^T A x - x^T b \rightarrow \min!$ , A symmetrisch positiv definit, seien das Residuum und der Fehler

$$r_k = b - Ax_k, \quad e_k = x_k - A^{-1}b = -A^{-1}r_k.$$

Wir wollen die Richtung des steilsten Funktionsabfalls wählen,  $d_k = -\nabla f(x_k) = -Ax_k + b = r_k$ , und die optimale Schrittweite,  $\alpha_k = \underset{\alpha}{\operatorname{argmin}} f(x_k + \alpha d_k) = \underset{\alpha}{\operatorname{argmin}} f(x_k) + \alpha d_k^T (Ax_k - b) + \frac{\alpha^2}{2} d_k^T A d_k$ .

Alg: (Gradientenverfahren für lineares Gleichungssystem) input:  $A, b, x_0$ ; output: Approximationen  $x_k$  an  $A^{-1}b$  for  $k = 0, 1, 2, \dots$

$$d_k = r_k = b - Ax_k$$

$$\alpha_k = \frac{-d_k^T (Ax_k - b)}{d_k^T A d_k} = \frac{\|r_k\|_2^2}{\|r_k\|_A^2}$$

$$x_{k+1} = x_k + \alpha_k d_k$$

end

Def: (Krylov-Raum) Sei  $A \in \mathbb{R}^{m \times m}$ ,  $y \in \mathbb{R}^m$ . Der kte Krylovraum ist  $K^k(A, y) = \langle y, Ay, \dots, A^{k-1}y \rangle$ .

Bem:  $r_{k+1} = b - Ax_{k+1} = b - Ax_k - \alpha_k A r_k = (I - \alpha_k A) r_k = (I - \alpha_k A)(I - \alpha_{k-1} A)r_{k-1} = \dots = (I - \alpha_k A) \cdots (I - \alpha_0 A) r_0 \in K^{k+1}(A, r_0)$ ,

$$x_{k+1} \in x_k + K^{k+1}(A, r_0), \quad x_k \in x_{k-1} + K^k(A, r_0) \subset x_{k-1} + K^{k+1}(A, r_0), \dots$$

$$x_{k+1} \in x_0 + K^{k+1}(A, r_0)$$

Lemma: Im kten Schritt minimiert das Gradientenverfahren sowohl f als auch die A-Norm des Fehlers auf  $x_k + \langle r_k \rangle =: V_k$ , d.h.

$$a) f(x_{k+1}) = \min_{x \in V_k} f(x), \quad b) \|e_{k+1}\|_A = \min_{x \in V_k} \|x - A^{-1}b\|_A, \text{ bzw.}$$

$$c) \alpha_k = \underset{\alpha}{\operatorname{argmin}} f(x_k + \alpha r_k), \quad d) \alpha_k = \underset{\alpha}{\operatorname{argmin}} \|x_k + \alpha r_k - A^{-1}b\|_A = \underset{\alpha}{\operatorname{argmin}} \|e_k + \alpha r_k\|_A = \underset{\alpha}{\operatorname{argmin}} \|(I - \alpha A)e_k\|_A$$

Bew: a)  $\Leftrightarrow$  c) & b)  $\Leftrightarrow$  d)

c) per definitionem von  $\alpha_k$

$$\underbrace{\alpha r_k^T r_k}_{\alpha r_k^T r_k} \underbrace{\alpha^2 r_k^T A r_k}_{\alpha^2 r_k^T A r_k}$$

d):  $\|(I - \alpha A)e_k\|_A = e_k^T A e_k - 2 \underbrace{e_k^T A (\alpha A e_k)}_{\alpha e_k^T A e_k} + \underbrace{(\alpha A e_k)^T A (\alpha A e_k)}_{\alpha^2 e_k^T A e_k}$  wird von  $\frac{\|r_k\|_2^2}{\|r_k\|_A^2}$  minimiert  $\square$

Thm: Sei  $A \in \mathbb{R}^{m \times m}$  symmetrisch positiv definit,  $\kappa = \kappa(A) = \|A\|_2 \|A^{-1}\|_2$ . Das Gradientenverfahren konvergiert mit  $\|\alpha_k\|_A \leq \left(\frac{\kappa-1}{\kappa+1}\right)^k \|e_0\|_A$ .

Bew: · Sei  $A = U^* \Sigma U$  SVD,  $\Sigma = \text{diag}(v_1, \dots, v_m)$ , dann ist

$$\|(\mathbf{I} - \alpha A)\|_A^2 = \sup_{\mathbf{x}} \frac{\mathbf{x}^*(\mathbf{I} - \alpha A)^* A (\mathbf{I} - \alpha A) \mathbf{x}}{\mathbf{x}^* A \mathbf{x}} = \sup_{\mathbf{x}} \frac{\mathbf{x}^* U^* (\mathbf{I} - \alpha \Sigma) \Sigma (\mathbf{I} - \alpha \Sigma) U \mathbf{x}}{\mathbf{x}^* U^* \Sigma U \mathbf{x}}$$

$$= \sup_{z \in \Sigma U \mathbf{x}} \frac{z^* (\mathbf{I} - \alpha \Sigma) (\mathbf{I} - \alpha \Sigma) z}{z^* z} = \sup_z \frac{\|(\mathbf{I} - \alpha \Sigma) z\|_2^2}{\|z\|_2^2} = \max_i |1 - \alpha v_i|^2$$

·  $\|e_{k+1}\|_A = \|(\mathbf{I} - \alpha_k A)e_k\|_A \stackrel{\text{Lemma}}{=} \min_{\alpha} \|(\mathbf{I} - \alpha A)e_k\|_A \leq \min_{\alpha} \|\mathbf{I} - \alpha A\|_A \|e_k\|_A = \min_{\alpha} \max_i |1 - \alpha v_i| \|e_k\|_A$

für  $\alpha = \frac{2}{v_n + v_m}$  ist  $1 - \alpha v_i = \frac{v_n + v_m - 2v_i}{v_n + v_m} \in \left[ \frac{-v_n + v_m}{v_n + v_m}, \frac{v_n - v_m}{v_n + v_m} \right] = \left[ \frac{k-1}{k+n}, \frac{k-n}{k+n} \right]$

$$\Rightarrow \|e_{k+1}\|_A \leq \frac{k-1}{k+n} \|e_k\|_A \quad \square$$

Bem: Konditionieren wir  $A \mathbf{x} = \mathbf{b}$  mit  $Q$  vor,  $QAQ^*y = Q\mathbf{b}$  für  $y = Q^*x$ , so ist

$$\|e_k\|_{QAQ^*} \leq \left( \frac{\kappa(QAQ^*)^{-1}}{\kappa(QAQ^*)+1} \right)^k \|e_0\|_{AQ^*}. \text{ Dabei wünschen wir } \kappa(QAQ^*) \text{ nahe bei 1, also } Q \approx \sqrt{A^{-1}}, \text{ um schnelle Konvergenz zu erhalten. Als Vorkonditionierer können z. B. ähnliche wie für FV oder GS V gewählt werden.}$$

Hinweis: · CG-Verfahren

Sei  $A \in \mathbb{R}^{m \times m}$  symmetrisch positiv definit. Das Gradientenverfahren minimiert im kten Schritt  $f(x) = \frac{1}{2} \mathbf{x}^* A \mathbf{x} - \mathbf{x}^* \mathbf{b}$  und  $\|e\|_A$  über  $x \in x_0 + \langle r_k \rangle \subset x_0 + K^{k+1}(A, r_0)$ . Können wir es verbessern zu einem Verfahren, das  $f$  und  $\|e\|_A$  im kten Schritt über  $x_0 + K^{k+1}(A, r_0)$  minimiert? Ja, mit konjugierten Suchrichtungen  $d_k$ !

Def: Sei  $A \in \mathbb{R}^{m \times m}$  symmetrisch positiv definit.  $x, y \in \mathbb{R}^m$  heißen A-konjugiert  $\Leftrightarrow (x, y)_A = 0$ .

Thm: Sei  $H$  Hilbertraum mit Skalarprodukt  $(\cdot, \cdot)$ ,  $v_0, v_1, \dots, v_{k-1}$  orthonormal,  $x \in H$ . Dann ist

$$x_k = \sum_{j=0}^{k-1} (x, v_j) v_j \quad \text{die } \underline{\text{Bestapproximation von } x \text{ in } V = \langle v_0, \dots, v_{k-1} \rangle}, \text{ d.h.}$$

$$\|x_k - x\| = \min_{y \in V} \|y - x\|.$$

Bew: ·  $(x - x_k, v_\ell) = (x, v_\ell) - (x_k, v_\ell) = (x, v_\ell) - (x, v_\ell) = 0 \quad \forall \ell$

·  $\|x - x_k\|^2 = (x - x_k, x - x_k) = (x - x_k, x - \underbrace{x_k + z}_{=y \in V}) \quad \forall z \in V, \text{ da } z = \text{Linearkombination der } v_j$

·  $\|x - x_k\|^2 = (x - x_k, x - y) \leq \|x - x_k\| \|x - y\| \quad \forall y \in V \Rightarrow \|x - x_k\| \leq \|x - y\| \quad \forall y \in V \quad \square$

Thm: Sei  $A \in \mathbb{R}^{m \times m}$  symmetrisch positiv definit,  $f(x) = \frac{1}{2} \mathbf{x}^* A \mathbf{x} - \mathbf{x}^* \mathbf{b}$ . Wähle im Liniensuchverfahren  $d_0, d_1, \dots$  paarweise A-konjugiert und  $\alpha_k = \arg \min f(x_k + \alpha d_k)$ . Dann

1)  $\alpha_k = r_k^* d_k / (d_k, d_k)_A$

2)  $r_k^* d_j = 0 \quad \forall j < k$

3)  $x_k$  minimiert  $\|x - A^{-1}\mathbf{b}\|_A$  und  $f$  auf  $x_0 + \langle d_0, \dots, d_{k-1} \rangle =: X_k$

4)  $x_m = A^{-1}\mathbf{b}$

Bew: 1)  $f(x_k + \alpha_k d_k) = f(x_k) + \alpha_k \overline{d_k} (Ax_k - b) + \frac{\alpha_k^2}{2} \overline{d_k} A d_k = (d_k, d_k)_A$ , nun setze  $\frac{d}{dx}$  zu 0

2) Induktion:  $r_j^{k+1} d_j = (b - Ax_{j+1})^* d_j = (b - Ax_j - A \frac{r_j^k d_j}{(d_j, d_j)_A} d_j)^* d_j = r_j^* d_j - r_j^* d_j \frac{(d_j, d_j)_A}{(d_j, d_j)_A} = 0$

Sei  $r_k^* d_j = 0$ , dann ist  $r_{k+1}^* d_j = (b - Ax_{k+1})^* d_j = (b - Ax_k - A \frac{r_k^* d_k}{(d_k, d_k)_A} d_k)^* d_j = r_k^* d_j - \frac{r_k^* d_k}{(d_k, d_k)_A} (d_k, d_j)_A = 0$

3a) zz:  $y = \sum_{j=0}^{k-1} \alpha_j d_j$  minimiert  $\|x_0 + y - A^{-1}b\|_A = \|e_0 + y\|_A$  auf  $\langle d_0, \dots, d_{k-1} \rangle$

Sei  $v_j = d_j / \|d_j\|_A$ , dann  $V := \langle v_0, \dots, v_{k-1} \rangle = \langle d_0, \dots, d_{k-1} \rangle$ ,  $v_0, \dots, v_{k-1}$  orthonormal bzgl.  $(\cdot)_A$

$y = \sum_{j=0}^{k-1} (r_j^* v_j) v_j = - \sum_{j=0}^{k-1} (v_j, e_0)_A v_j = - \sum_{j=0}^{k-1} (v_j, e_0)_A v_j$

$r_j = -Ae_j \quad e_j - e_0 \in \langle d_0, \dots, d_{j-1} \rangle = \langle v_0, \dots, v_{j-1} \rangle$

$\Rightarrow -y$  ist Bestapproximation an  $e_0$  auf  $V \Rightarrow \|e_0 + y\|_A$  ist minimal auf  $V$

3b)  $x_k = \underset{x \in X_k}{\operatorname{argmin}} \|x - A^{-1}b\|_A = \underset{x \in X_k}{\operatorname{argmin}} \frac{1}{2} \|x - A^{-1}b\|_A^2$

$$= \underset{x \in X_k}{\operatorname{argmin}} \frac{1}{2} x^* Ax - \frac{(x, A^{-1}b)_A + (A^{-1}b, x)_A}{2} + \frac{(A^{-1}b, A^{-1}b)_A}{2} = \underset{x \in X_k}{\operatorname{argmin}} f(x) + \frac{b^* A^{-1}b}{2}$$

4) folgt aus 3)  $\square$

Bew: Eine alternative Interpretation ist folgende:  $\mathbb{R}^m = \langle d_0, \dots, d_{m-1} \rangle$ , d.h.  $A^{-1}b = x_0 + \sum_{i=0}^{m-1} \alpha_i d_i$  für bestimmt  $\alpha_i \in \mathbb{R}$ . Diese  $\alpha_i$  erhält man durch multiplizieren von  $d_j^* A$  von links  $\Rightarrow d_j^* b = d_j^* A x_0 + \alpha_j d_j^* A d_j$  bzw.  $\alpha_j = \frac{d_j^* (b - Ax_0)}{d_j^* A d_j} = \frac{d_j^* r_0}{(d_j, d_j)_A} = \frac{d_j^* r_j}{(d_j, d_j)_A}$ . Die Approximation  $x_k$  an  $A^{-1}b$  erhält man nun durch Abschneiden der Summe,  $x_k = x_0 + \sum_{i=0}^{k-1} \alpha_i d_i$ .

Die Idee des konjugierten Gradienten-(CG-) Verfahrens ist, die Suchrichtungen  $d_k$  so zu wählen, dass sie konjugiert sind und den Krylovraum aufspannen. Dies geschieht mit Gram-Schmidt-Orthogonalisierung der  $r_k$ : Setze  $d_0 = r_0$  und

$$d_{k+1} = r_{k+1} - \sum_{j=0}^k \left( \frac{r_{k+1}}{\|d_j\|_A} \frac{d_j}{\|d_j\|_A} \right) \frac{d_j}{\|d_j\|_A} \quad (\times)$$

Thm: Die so erzeugten  $r_n$  und  $d_n$  spannen den Krylov-Raum auf, d.h.

$$K^{k+1}(A, r_0) = \langle r_0, \dots, r_k \rangle = \langle d_0, \dots, d_n \rangle$$

Bew: Vollständige Induktion: Induktionsanfang:  $d_0 = r_0 \in K^0(A, r_0)$

Induktions schritt: Sei  $K^{j+1}(A, r_0) = \langle r_0, \dots, r_j \rangle = \langle d_0, \dots, d_j \rangle \forall j \leq k$ :

„ $K^{k+2} \subset \dots$ “:  $r_{k+1} = r_k - \alpha_k A d_k \in K^{k+2}(A, r_0)$ ,  $d_{k+1} \in \langle r_{k+1}, d_0, \dots, d_k \rangle \subset K^{k+2}(A, r_0)$

„ $K^{k+2} \subset \dots$ “: angenommen  $\not\subset$ , dann wäre  $A^{k+1} r_0 \notin \langle r_0, \dots, r_{k+1} \rangle \Rightarrow r_{k+1}$  ist Linearkombination nur aus  $r_0, A r_0, \dots, A^k r_0$ , hat aber keine Komponente  $A^{k+1} r_0 \Rightarrow r_{k+1} \in K^{k+1}(A, r_0)$

$$\Rightarrow r_{k+1} - r_k = -\alpha_k A d_k \in K^{k+1}(A, r_0) \Rightarrow d_k \in K^k(A, r_0)$$

$$\Rightarrow K^{k+1}(A, r_0) = \langle d_0, \dots, d_k \rangle = \langle K^k(A, r_0), d_k \rangle = K^k(A, r_0)$$

$$\Rightarrow K^{k+2}(A, r_0) = \langle A K^{k+1}(A, r_0), r_0 \rangle = \langle A K^k(A, r_0), r_0 \rangle = K^{k+1}(A, r_0) = \langle d_0, \dots, d_k \rangle \quad \square$$

Thm: Diese  $r_k, d_k$  erfüllen  $(r_{k+1}, d_j)_A = 0 \quad \forall j < k$ .

Bew: Wir wissen  $r_{k+1} \perp d_0, \dots, d_k \Rightarrow r_{k+1} \perp v \quad \forall v \in K^{k+1}(A, r_0) \Rightarrow r_{k+1} \perp Av \quad \forall v \in K^k(A, r_0)$   
 $\Rightarrow (r_{k+1}, v)_A = 0 \quad \forall v \in \langle d_0, \dots, d_{k-1} \rangle$   $\square$

Es folgt, dass in (\*) alle Summanden bis auf den letzten wegfallen:

$$d_{k+1} = r_{k+1} - \frac{(r_{k+1}, d_k)_A}{(d_k, d_k)_A} d_k = r_{k+1} - \alpha_k \frac{(r_{k+1}, d_k)_A}{r_k^* d_k} d_k = r_{k+1} + \frac{r_{k+1}}{r_k^* r_k} d_k,$$

da  $r_{k+1}^* r_{k+1} = (r_k - \alpha_k A d_k)^* r_{k+1} = r_k^* r_{k+1} - \alpha_k (r_{k+1}, d_k)_A = -\alpha_k (r_{k+1}, d_k)_A$  und

$$r_k^* d_k = r_k^* (r_k - (\dots) d_{k-1}) = r_k^* r_k. \quad \langle d_0, \dots, d_k \rangle$$

Alg (CG-Verfahren) input:  $A$  sym. pos. def. /  $b$ ; output: Approximation  $x_k$  an  $A^{-1}b$

$$x_0 = 0, r_0 = b, d_0 = r_0$$

for  $k = 0, 1, 2, \dots$

$$\alpha_k = r_k^* r_k / (d_k, d_k)_A$$

$$x_{k+1} = x_k + \alpha_k d_k$$

$$r_{k+1} = r_k - \alpha_k A d_k$$

$$\beta_{k+1} = r_{k+1}^* r_{k+1} / r_k^* r_k$$

$$d_{k+1} = r_{k+1} + \beta_{k+1} d_k$$

end

Hinweis: CG Konvergenz

Bem: Wir haben bereits gezeigt:

$$\cdot x_k = \underset{x \in K^k(A, b)}{\operatorname{argmin}} \|x - A^{-1}b\|_A = \underset{x \in K^k(A, b)}{\operatorname{argmin}} f(x)$$

$\cdot x_m = A^{-1}b$ , daher kann CG auch als direkte Methode aufgefasst werden. Wir möchten jedoch nicht von Schritte aufführen!

Der größte Aufwand in jedem Schritt ist die Matrix-Vektor-Multiplikation  $Ad_k$ . Ist  $A$  dünn besetzt mit  $O(m)$  Einträgen (typischer Fall), kostet jede Iteration  $O(m)$  Aufwand, die exakte Lösung  $x_m$  würde also mit  $O(m^2)$  Aufwand erreicht.

Ein Vorteil von Krylovraum-Verfahren ist, dass sie mit Polynomen von Matrizen zusammenhängen. Sei  $p(\lambda) = \sum_{i=0}^k a_i \lambda^i$ , dann ist  $p(A)$  für  $A \in \mathbb{R}^{n \times n}$  definiert durch  $\sum_{i=0}^k a_i A^i$ .

Sei  $A$  symmetrisch mit Spektralzerlegung  $A = U^* \Lambda U$ ,  $\Lambda = \operatorname{diag}(\lambda_1, \dots, \lambda_m)$  den Eigenwerten,  $U$  orthogonal, dann ist  $\sum_{i=0}^k a_i A^i = U^* \left( \sum_{i=0}^k a_i \lambda_i^i \right) U = U^* \operatorname{diag}(p(\lambda_1), \dots, p(\lambda_m)) U$ .

Sei  $P_k = \{p \text{ Polynom von Grad } \leq k\}$ ,  $\tilde{P}_k = \{p \in P_k \mid p(0) = 1\}$ .

Thm: Im CG-Verfahren gilt  $\|e_k\|_A = \min_{x \in K^k(A, b)} \|x - A^{-1}b\|_A = \min_{\tilde{p} \in \tilde{P}_k} \|\tilde{p}(A)e_0\|_A$ .

Bew: „ $\geq$ “ für alle  $x \in K^k(A, b)$  ist  $x = p(A)b = A p(A) A^{-1}b = -A p(A) e_0$  für ein  $p \in P_{k-1}$

$$\Rightarrow x - A^{-1}b = (I - A p(A))e_0 = \tilde{p}(A)e_0 \text{ für ein } \tilde{p} \in \tilde{P}_k$$

„ $\leq$ “ Sei  $\tilde{p} \in \tilde{P}_k$ , dann ist  $\tilde{p}(A)e_0 = -p(A)Ae_0 + e_0 = \underbrace{p(A)b}_{= -A p(A) e_0} + e_0$  für ein  $p \in P_{k-1}$ .  $\square$

Thm:  $\|e_k\|_A / \|e_0\|_A \leq \inf_{p \in \tilde{P}_k} \max_{\lambda \text{ Eigenwert von } A} |p(\lambda)|$ .

Bew:  $\|e_k\|_A^2 / \|e_0\|_A^2 = \inf_{p \in \tilde{P}_k} \|p(A)e_0\|_A^2 / \|e_0\|_A^2 = \inf_{p \in \tilde{P}_k} \underbrace{(e_0^* p(A) A p(A) e_0)}_B / \underbrace{(e_0^* A e_0)}_C$

mit  $B = e_0^* A^* \text{diag}(\lambda_1 p(\lambda_1)^2, \dots, \lambda_m p(\lambda_m)^2) e_0$ ,  $C = e_0^* A \text{diag}(\lambda_1, \dots, \lambda_n) e_0$ .

und  $B/C \leq \max_i |\lambda_i p(\lambda_i)^2 / \lambda_i|$ .  $\square$

Kor: Hat  $A$  nur  $n$  verschiedene Eigenwerte  $\lambda_i$ , liefert das CG-Verfahren nach  $n$  Schritten die Lösung  $x_n = A^{-1}b$ .

Bew:  $p(\lambda) = \frac{(\lambda_1 - \lambda) \cdots (\lambda_n - \lambda)}{\lambda_1 \cdots \lambda_n} \in \tilde{P}_n$  erfüllt  $p(\lambda_i) = 0 \forall i$

$$\Rightarrow \|e_n\|_A / \|e_0\|_A \leq \max_{i=1, \dots, n} |p(\lambda_i)| = 0.$$

Def:  $T_k(x) = \cos(k \arccos x)$ ,  $x \in [-1, 1]$ , heißt Tschebyscheff-Polyynom von Gr. k.

Bem:  $T_k \in P_k$  (Übung)

$$\cdot |T_k(x)| \leq 1 \quad \forall x \in [-1, 1].$$

$$\cdot T_k(x) = \frac{1}{2} (e^{ik \arccos x} + e^{-ik \arccos x})$$

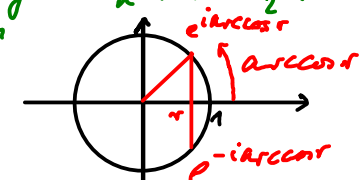
• Für die Variablentransformation  $C \rightarrow C$ ,  $x = \frac{z + z^{-1}}{2}$ , gilt  $T_k(x) = \frac{1}{2} (z^k + z^{-k})$ .

In der Tat, für  $r \in [-1, 1]$  gilt  $r = \frac{e^{i \arccos r} + (e^{i \arccos r})^{-1}}{2}$ .

Sei  $x \in [-1, 1]$ ,  $T_k(x) = \cos(k \arccos x) \in [-1, 1]$

$$\Rightarrow z = e^{i \arccos x}, \quad e^{i \arccos T_k(x)} = e^{i k \arccos x} = z^k$$

$$\Rightarrow T_k(x) = \frac{1}{2} (z^k + z^{-k})$$



Thm:  $\|e_k\|_A / \|e_0\|_A \leq 2 / \left[ \left( \frac{\sqrt{x} + 1}{\sqrt{x} - 1} \right)^k + \left( \frac{\sqrt{x} + 1}{\sqrt{x} - 1} \right)^{-k} \right] \leq 2 \left( \frac{\sqrt{x} - 1}{\sqrt{x} + 1} \right)^k$  für  $x = x(A)$ .

Bew: Seien  $\lambda_1, \lambda_m$  größter und kleinster Eigen-/Singulärwert von  $A$ , d.h.  $\lambda = \frac{\lambda_1}{\lambda_m}$

$$p(\lambda) = T_k \left( 1 - 2 \frac{\lambda - \lambda_m}{\lambda_1 - \lambda_m} \right), \quad \tilde{p}(\lambda) = p(\lambda) / p(0) \text{ mit } p(0) = T_k \left( \frac{\lambda_1 + \lambda_m}{\lambda_1 - \lambda_m} \right) = T_k \left( \frac{k+1}{k-1} \right).$$

$$\Rightarrow |\tilde{p}(\lambda_i)| = |p(\lambda_i)| / |p(0)| \leq 1 / |T_k \left( \frac{k+1}{k-1} \right)|.$$

$$\text{Sei nun } \frac{k+1}{k-1} = \frac{1}{2} (z + z^{-1}), \text{ d.h. } z^2 - 2 \frac{k+1}{k-1} z + 1 = 0, \text{ d.h. } z = \frac{\sqrt{k+1}}{\sqrt{k-1}} \text{ (Hausaufgabe)}$$

$$\Rightarrow T_k \left( \frac{k+1}{k-1} \right) = \frac{1}{2} \left[ \left( \frac{\sqrt{k+1}}{\sqrt{k-1}} \right)^k + \left( \frac{\sqrt{k+1}}{\sqrt{k-1}} \right)^{-k} \right]$$

$\square$

Bem: Um die Konvergenz zu verbessern, ist wieder Vorkonditionierung häufig, d.h.  $Ax = b$  wird umgeformt zu  $K^* A K y = k^* b$  mit  $x = Ky$ , sodass  $x(A^* K K^*) \approx 1$ , d.h.  $K K^* \approx A^{-1}$ .

```

m = 2000;
B = rand(m,m);
b = rand(m,1);

thres = .01;
A = eye(m,m) + triu(B.* (B

```

*Heute: • Gauß-Hessenberg-Form*

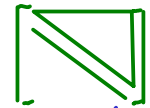
Nun betrachte  $Ax = b$ ,  $A \in \mathbb{K}^{n \times m}$  regulär, ohne Annahme  $A^* = A$ . Eine zu CG verwandte Idee ist, im  $k$ -ten Schritt das Residuum über  $K^k(A, b)$  zu minimieren,  $x_k = \underset{x \in K^k(A, b)}{\operatorname{argmin}} \|Ax - b\|_2$ , die Grundlage von GMRES. Hierzu sei  $K_k = (A^k b | \dots | Ab | b)$  die Matrix, deren Spalten  $K^k(A, b)$  aufspannen, dann ist  $x_k = K_k y_k$  mit  $y_k = \underset{y}{\operatorname{argmin}} \|A K_k y - b\|_2$ . Dieser Ansatz ist jedoch sehr instabil, da  $K_k$  sehr schlecht konditioniert ist (wir werden sehen, dass alle Spalten von  $K_k$  ungefähr gleich dem Eigenvektor zum größten Eigenwert sind). Besser wäre statt  $K_k$  eine Matrix, deren Spalten  $K^k(A, b)$  mit Orthonormalvektoren aufspannen (wie bei CG, bzgl.  $(\cdot, \cdot)_A$ ) - hierzu brauchen wir etwas Vorbereitung.

Manchmal ist es wünschenswert, eine Matrix in eine obere Dreiecksmatrix zu transformieren, allerdings nicht wie bei der QR oder LU Zerlegung, sondern mit Ähnlichkeitstransformationen. Erste Idee: Householder-Verfahren, nur nach jedem Schritt multipliziere  $Q$ ; auch von rechts:

$$\begin{bmatrix} x & x & x & x \\ x & x & x & x \\ x & x & x & x \\ x & x & x & x \end{bmatrix} \xrightarrow{\text{Householder}} \begin{bmatrix} x & x & x & x \\ x & x & x & x \\ x & x & x & x \\ x & x & x & x \end{bmatrix} \xrightarrow{\cdot Q_1 \text{ für Ähnlichkeitstransformation}} \begin{bmatrix} x & x & x & x \\ x & x & x & x \\ x & x & x & x \\ x & x & x & x \end{bmatrix} = Q_1^* A Q_1$$

Leider werden die Nulleinträge wieder gefüllt. I. A. ist dies nicht auf direktem Weg möglich, aber man kann zumindest die obere Hessenbergform erreichen.

Def: (Hessenberg-form)  $H \in \mathbb{K}^{m \times n}$  hat obere Hessenbergform, wenn  $H_{ij} = 0 \forall j < i - 1$ .



Zweite Idee: Wähle im kten Schritt eine Householder-Reflektion, die nur auf  $A_{k+1:m, k+1:m}$  operiert, also die kte Zeile in Ruhe lässt,  $Q_k = \begin{pmatrix} I_{n \times n} & \\ & I - 2vv^* \end{pmatrix}$

$$\begin{bmatrix} x & x & x & x \\ x & x & x & x \\ x & x & x & x \\ x & x & x & x \end{bmatrix} \xrightarrow{\text{Householder mit } v = \frac{\text{sign}(x_n) \|x\|_2 e_n + x}{\|x\|_2}} \begin{bmatrix} x & x & x & x \\ x & x & x & x \\ x & x & x & x \\ x & x & x & x \end{bmatrix} \xrightarrow{\cdot Q_1 \text{ für Ähnlichkeitstransformation}} \begin{bmatrix} x & x & x & x \\ x & x & x & x \\ x & x & x & x \\ x & x & x & x \end{bmatrix} = Q_1^* A Q_1 \text{ usw.}$$

Wir erhalten  $\underbrace{Q_{m-2}^* \dots Q_2^* Q_1^*}_Q A \underbrace{Q_m Q_{m-1} \dots Q_2}_Q = H$  mit obiger Hessenbergform.

Alg: (Hessenbergform via Householder) input:  $H \in \mathbb{K}^{m \times m}$ ; output: ähnliche Hessenbergmatrix  $H$  for  $k=1$  bis  $m-2$

$$x = H_{k+1:m, k}$$

$$v_k = \text{sign}(x_n) \|x\|_2 e_n + x$$

$$v_k = v_k / \|v_k\|_2$$

$$H_{k+1:m, k:m} = H_{k+1:m, k:m} - 2 v_k (v_k^* H_{k+1:m, k:m})$$

$$H_{n:m, k:n:m} = H_{n:m, k+1:m} - 2 (H_{n:m, k+1:m} v_k) v_k^*$$

End

Bem: Dies ist nur eine Variation der QR-Zerlegung; Aufwand und Stabilität lassen sich auf gleiche Weise untersuchen.

- Wenn  $A$  hermitisch ist, ist dies auch  $H \Rightarrow H$  ist tridiagonal.

Thm: Sei  $A = Q H Q^* \in \mathbb{K}^{m \times m}$  regulär für  $H$  obere Hessenbergmatrix,  $Q$  unitär mit Spalten  $q_1, \dots, q_m$ .

Wenn  $H_{i+n,i} \neq 0 \forall i$ , dann ist  $\langle q_1, \dots, q_n \rangle = K^i(A, q_n) \quad \forall n \leq m$ .

$$H_{i+n,i} = 0 \Rightarrow K^j(A, q_n) = K^i(A, q_n) \quad \forall j \geq i$$

Bew: Induktion:  $\langle q_n \rangle = K^i(A, q_n)$

$$\cdot \text{Sei } \langle q_1, \dots, q_i \rangle = K^i(A, q_n); A Q = Q H \Rightarrow A q_i = H_{1:i} q_1 + \dots + H_{ii} q_i + H_{i+1:i} q_{i+1}$$

$$H_{i+n,i} \neq 0 \Rightarrow q_{i+n} \in \langle q_1, \dots, q_i, A q_i \rangle \in K^{i+n}(A, q_n)$$

$$H_{i+n,i} = 0 \Rightarrow A q_i \in \langle q_1, \dots, q_i \rangle \Rightarrow K^{i+n}(A, q_n) = \langle q_n, A K^i(A, q_n) \rangle \subset K^i(A, q_n) \quad \square$$

Bem: Sei  $b \in \mathbb{K}^m$ ,  $\tilde{Q} = (\tilde{q}_1 | \dots | \tilde{q}_m)$  unitär,  $\tilde{Q}^* \tilde{Q} = \tilde{Q}^* A \tilde{Q}$  die Hessenbergreduktion von  $\tilde{Q}^* A \tilde{Q}$  per Householder,  $Q = \tilde{Q} \tilde{Q}^* = (q_1 | \dots | q_m) = (b | q_1 | \dots | q_{m-1})$ . Es ist  $q_1, \dots, q_m$  eine Orthonormalbasis von  $K^n(A, b)$  (sofern nicht  $K^{n-m}(A, b) = K^n(A, b)$ ).

Ein Nachteil des Householder - Verfahrens ist, dass bei der Berechnung einer Orthonormalbasis von  $K^n(A, b)$  die gesamte Zerlegung  $\tilde{Q}^* H \tilde{Q} = \tilde{Q}^* A \tilde{Q}$  berechnet wird. Die Alternative ist ein modifiziertes Gram-Schmidt - Verfahren.

Alg: (Arnoldi - Iteration) input:  $A \in \mathbb{K}^{m \times m}$ ,  $b \in \mathbb{K}^m$ ; output:  $q_1, \dots, q_k$  orthonormal mit  $(q_1 | \dots | q_k) = K^n(A, b)$

$$q_1 = b / \|b\|_2$$

for  $k=1, 2, \dots$

$$v = Aq_k$$

for  $j=1$  bis  $k$

$$H_{jk} = q_j^* v$$

$$v = v - H_{jk} q_j$$

$$H_{k+1,k} = \|v\|$$

$$q_{k+1} = v / H_{k+1,k}$$

Gram-Schmidt - Orthogonalisierung

end

Bem: Die ersten  $k$  Schritte liefern eine oben Hessenbergmatrix  $\tilde{H}_k \in \mathbb{K}^{k+1, k}$  und  $Q_k = (q_1 | \dots | q_k)$  mit  $AQ_k = Q_{k+1} \tilde{H}_k$  und  $H_k = (\tilde{H}_k)_{n \leq k, n \leq k} = Q_k^* A Q_k$ .

Nun möchten wir  $Ax = b$  iterativ lösen durch Minimieren des Residuums  $\|Ax - b\|_2$  über  $K^n(A, b)$

$$\begin{aligned} \min_{x \in K^n(A, b)} \|Ax - b\|_2 &= \min_y \|A Q_k y - b\|_2 = \min_y \|Q_{k+1} \tilde{H}_k y - b\|_2 = \min_y \|\tilde{H}_k y - Q_k^* b\|_2 \\ &= \min_y \|\tilde{H}_k y - \|b\|_2 e_k\|_2. \end{aligned}$$

Alg: (generalized minimal residual, GMRES) input:  $A \in \mathbb{K}^{m \times m}$ ,  $b \in \mathbb{K}^m$ ; output: Approximation  $x_k$  an  $A^{-1}b$

Arnoldi - Iteration & zusätzlich am Ende der for - Schleife:

$$y_k = \underset{y}{\operatorname{argmin}} \| \tilde{H}_k y - \|b\|_2 e_k \|_2 \quad \text{mittels QR-Zerlegung} \quad (*)$$

$$x_k = Q_k y_k$$

Bem: Wegen der Hessenberg - Struktur von  $\tilde{H}_k$  ist der Aufwand von  $(*)$  nur  $O(k^2)$ .

Benutzt man statt Householder - Reflektionen Givens - Rotationen und verwendet die QR - Zerlegung von  $\tilde{H}_{k+1}$ , lässt sich dies zu  $O(k)$  reduzieren (Übung).

Ist  $A$  hermitisch, lassen sich symmetrische Operationen einsparen; dies führt zu MINRES.

Thm: Für GMRES gilt:  $\|Ax_n - b\|_2 = \min_{\tilde{P} \in \tilde{\mathcal{P}}_n} \|\tilde{p}(A)b\|_2$

Bew.:  $\|Ax_n - b\|_2 = \min_{x \in K^n(A, b)} \|Ax - b\|_2$

$\cdot x \in K^n(A, b) \Leftrightarrow x = p(A)b$  für ein  $p \in \mathcal{P}_{n-1} \Leftrightarrow Ax - b = \tilde{p}(A)b$  für ein  $\tilde{p} \in \tilde{\mathcal{P}}_n$

□

Thm: Wenn  $(A, b)$  zu  $(A, \lambda b)$  geändert wird,  $\lambda \in \mathbb{K}$ , ändert sich das GMRES Residuum  $r_k$  zu  $\lambda r_k$ .

•  $x_m = A^{-1}b$  für  $A$  regulär

• Ist  $A$  diagonalisierbar zu  $A = X^{-1}AX$ , dann ist  $\|r_k\|_2 / \|b\|_2 \leq \kappa(X) \min_{\tilde{P} \in \tilde{\mathcal{P}}_n} \max_i |\tilde{p}(\lambda_i)|$

Bew.: • Invarianz unter  $\lambda$  bzw.  $U$  folgt aus Algorithmus

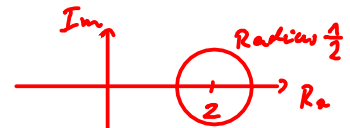
•  $x_m = \underset{x \in K^m(A, b) = \mathbb{K}^m}{\text{argmin}} \|Ax - b\|_2$  und  $K^m(A, b) = \mathbb{K}^m$

oder  $b, Ab, \dots, A^{m-1}b$  sind lin. abh., d.h.  $0 = \sum_{i=0}^{m-1} \alpha_i A^i b$  für  $\alpha_i \in \mathbb{K}$ ;

Sei  $j \geq 0$  am kleinsten mit  $\alpha_j \neq 0 \Rightarrow A^j b = - \sum_{i=j+1}^{m-1} \frac{\alpha_i}{\alpha_j} A^{i-j-1} b$

$$\Rightarrow A^{-1}b = - \sum_{i=j+1}^{m-1} \frac{\alpha_i}{\alpha_j} A^{i-j-1} \in K^m(A, b)$$

•  $\|r_k\|_2 / \|b\|_2 \leq \min_{\tilde{P} \in \tilde{\mathcal{P}}_k} \|\tilde{p}(A)\|_2 = \min_{\tilde{P} \in \tilde{\mathcal{P}}_k} \|X \tilde{p}(\lambda) X^{-1}\|_2 \leq \|X\|_2 \|X^{-1}\|_2 \min_{\tilde{P} \in \tilde{\mathcal{P}}_k} \|\tilde{p}(\lambda)\|_2$  □



$m = 200$ ;

$A = 2 * \text{eye}(m) + 0.5 * \text{randn}(m) / \text{sqrt}(m)$ ;

$b = \text{rand}(m, 1)$ ;

⇒ Eigenwert

$[\sim, D] = \text{eig}(A)$ ;  $\text{plot}(\text{real}(D), \text{imag}(D), '.', \text{'Markersize', 10})$ ;  
⇒ optimales Polynom  $\sim \tilde{p}(z) = (1 - \frac{z}{2})^m$

$[x, \sim, \sim, \sim, r_b] = \text{gmres}(A, b, 29, 0, 1)$ ;

$\text{semilogy}(1:30, r_b, 'b')$ , 'Linewidth', 3); hold on;

$\text{semilogy}(1:30, 1./4.^{(1:30)}, 'r')$ , 'Linewidth', 3)  
⇒  $\|\tilde{p}(\lambda)\|_2 \sim (\frac{1}{4})^m$

Hinweis: • Bisektion

• Newton-Methode

## Iterative Lösung nichtlinearer Gleichungssysteme

Neben der Banachschen Fixpunktiteration (z.B. angewandt auf  $x = x + f(x)$ ) gibt es weitere Verfahren zum Finden einer Nullstelle einer Funktion  $f: \mathbb{R}^m \rightarrow \mathbb{R}^m$ .

Def: (Asymptotische Konvergenzrate) Sei  $\lim_{k \rightarrow \infty} x_k = x^*$ . Die Konvergenz heißt asymptotisch

- linear, falls  $\|x_{k+1} - x^*\| \leq q \|x_k - x^*\|$  für ein  $q < 1$  & alle  $k$  groß genug
- sublinear sonst
- superlinear, falls für alle  $q \in (0, 1)$  gilt  $\|x_{k+1} - x^*\| \leq q \|x_k - x^*\|$  für  $k$  groß genug
- von Ordnung  $p > 0$  falls  $\|x_{k+p} - x^*\| \leq C \|x_k - x^*\|^p$  für ein  $C > 0$  & alle  $k$  groß genug

- Bem: - „von Ordnung 2“ heißt auch „quadratisch“
- Die Konvergenz  $x_k \rightarrow x^*$  nennt man (super-/sub-)linear bzw. von Ordnung p, wenn  $\|x_k - x^*\| \leq c_k$  für eine entsprechend asymptotisch konvergente Nullfolge  $c_k$ .

### Bisektion

Sei  $f: [a, b] \rightarrow \mathbb{R}$  stetig mit  $f(a) < 0, f(b) > 0$ . Nach dem Zwischenwertsatz gibt es  $x^* \in [a, b]$  mit  $f(x^*) = 0$ .

Alg. (Bisektion/Intervallschachtelung) input:  $f, a_0 = a, b_0 = b$ ; output: untere & obere Approximationen  
for  $k = 0, 1, \dots$

wähle  $c \in (a_k, b_k)$

if  $f(c) < 0$  :  $a_{k+1} = c, b_{k+1} = b_k$

else :  $a_{k+1} = a_k, b_{k+1} = c$

$a_k \& b_k$  an Nullstelle  $x^*$

end

Bem: Für die Wahl  $c = \frac{a_k + b_k}{2}$  sind  $|a_k - x^*|, |b_k - x^*| \leq |b_k - a_k| = 2^{-k} |b_0 - a_0| \Rightarrow$  lineare Konvergenz

• Besser Wahl durch lineare Approximation:

$$f(x) \approx \frac{(x - \alpha)f(\beta) + (\beta - x)f(\alpha)}{\beta - \alpha} \Rightarrow f(c) \approx 0 \text{ für } c = \frac{\alpha f(\beta) - \beta f(\alpha)}{f(\beta) - f(\alpha)}$$

wähle z.B.  $\alpha = a_n, \beta = b_n$  oder  $\alpha = a_{n-1}, \beta = a_n$  bzw. alterniere dazwischen

### Newton-Verfahren

Sei  $f: \mathbb{R}^m \rightarrow \mathbb{R}^m$  differenzierbar. Linearisieren um  $x_k$  liefert  $f(x) \approx f(x_k) + Df(x_k)(x - x_k)$

$\Rightarrow f(x) \approx 0$  für  $x = x_k - Df(x_k)^{-1} f(x_k)$

Alg. (Newton-Verfahren) input:  $f: \mathbb{R}^m \rightarrow \mathbb{R}^m, x_0 \in \mathbb{R}^m$ ; output: Approximation  $x_k$  an Nullstelle  
for  $k = 0, 1, 2, \dots$

$$x_{k+1} = x_k - Df(x_k)^{-1} f(x_k)$$

end

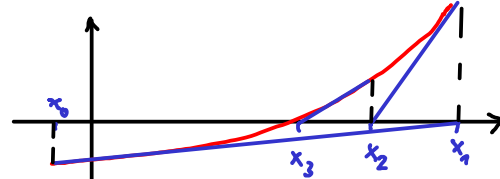
Bem: - Das Newtonverfahren kann aufgefaßt werden als ein Liniensuchverfahren zur Minimierung von  $g(x) := \|f(x)\|_2^2$  mit Suchrichtung  $d_k = -Df(x_k)^{-1} f(x_k)$  (dies ist Abstiegsrichtung, da  $Dg(x_k) d_k = -2 \|f(x_k)\|_2^2$ ) und Schrittweite  $\alpha_k = 1$ .

• Der Newtonschritt kann auch um eine Schrittweite  $\alpha_k$  erweitert werden,

$$x_{k+1} = x_k - \alpha_k Df(x_k)^{-1} f(x_k), \text{ z.B. so dass } \|f(x_{k+1})\|^2 \text{ sinkt.}$$

• I.A. konvergiert das Verfahren nur, wenn man nah genug bei  $x^*$  startet.

In 1D ist  $x_{k+1} = x_k - \frac{f(x_k)}{f'(x_k)}$



Thm: Sei  $f: \mathbb{R}^m \rightarrow \mathbb{R}^n$  differenzierbar mit Lipschitz-stetiger Ableitung und  $f(x^*)=0$ ,  $Df(x^*)$  invertierbar.

Für  $x_0$  nah genug an  $x^*$  konvergiert das Newton-Verfahren quadratisch gegen  $x^*$ .

Bew: •  $Df(x)$  ist invertierbar auf einer Umgebung  $U$  von  $x^*$

und  $Df(x)^{-1}$  ist stetig auf  $U$

• Setze  $g(x) = x - Df(x)^{-1}f(x)$ .

• Sei  $L$  die Lipschitz-Konstante von  $Df$ ,  $x \in U$ .

$$\begin{aligned}\|g(x) - x^*\| &= \|Df(x)^{-1}(f(x) - f(x^*)) - x + x^*\| = \left\| Df(x)^{-1} \int_0^1 Df(x^* + t(x-x^*)) (x-x^*) dt - x + x^* \right\| \\ &\leq \|x - x^*\| \int_0^1 \|Df(x)^{-1} [Df(x) + Df(x^* + t(x-x^*)) - Df(x)] - I\| dt \\ &\leq \|x - x^*\| \int_0^1 \|Df(x)^{-1}\| L(1-t) \|x - x^*\| dt \\ &\leq C \|x - x^*\|^2\end{aligned}$$

□

Bsp: Heron-Verfahren zur Berechnung von  $x^* = \sqrt[n]{a}$  als Nullstelle von  $f(x) = a - x^n$

$$\Rightarrow x_{k+1} = x_k + \frac{a - x_k^n}{n x_k^{n-1}} = \frac{n-1}{n} x_k + \frac{a}{n} x_k^{1-n} = g(x_k)$$

$$g'(x) = \frac{n-1}{n} \left(1 - \frac{a}{x^n}\right) \quad \begin{array}{c} x^* \\ \nearrow \\ x \end{array} \quad \Rightarrow \text{globales Minimum bei } x^*$$

$$\Rightarrow g(x) \geq g(x^*) \quad \forall x > 0 \quad \Rightarrow g(x_n) \geq x^*$$

$$\text{Für } x \geq x^* \text{ ist } |g'(x)| = \frac{n-1}{n} \left(1 - \frac{a}{x^n}\right) < \frac{n-1}{n}$$

$\Rightarrow g$  ist Kontraktion auf  $[x^*, \infty)$   $\Rightarrow$  Newton-Verfahren konvergiert

Hin: • Eigenwerte

Eigenwertprobleme

Wiederholung Eigenwerte

Def: Sei  $A \in \mathbb{C}^{m \times m}$ .  $\lambda \in \mathbb{C}$  heißt Eigenwert und  $x \in \mathbb{C}^m$  Eigenvektor, wenn  $Ax = \lambda x$ ,  $x \neq 0$ .

Die Menge  $\sigma(A)$  aller Eigenwerte heißt Spektrum von  $A$ .

Thm: • Eigenwerte von  $A$  = Nullstellen des charakteristischen Polynoms  $\chi_A(\lambda) = \det(\lambda I - A)$

• Die Eigenvektoren zum Eigenwert  $\lambda$  bilden mit 0 einen Untervektorraum  $E_\lambda \subset \mathbb{C}^m$ .

Def: • geometrische Vielfachheit von  $\lambda = \dim E_\lambda$

• algebraische Vielfachheit von  $\lambda$  = Vielfachheit der Nullstelle  $\lambda$  von  $\chi_A$

Thm: • algebraische Vielfachheit  $\geq$  geometrische Vielfachheit

• A hat m Eigenwerte, gezählt mit algebraischer Vielfachheit

Def: •  $A, B \in \mathbb{C}^{m \times m}$  heißen ähnlich, wenn  $A = XBX^{-1}$  für ein  $X \in \mathbb{C}^{m \times m}$

•  $A$  heißt diagonalisierbar, wenn es ähnlich zu einer Diagonalmatrix  $\Lambda$  ist

•  $A$  heißt unitär diagonalisierbar, wenn  $A = Q\Lambda Q^{-1}$  für  $\Lambda$  diagonal,  $Q$  unitär

•  $A$  heißt normal wenn  $A^*A = AA^*$

Thm: • Sei  $\Lambda(A) = \{\lambda_1, \dots, \lambda_m\}$ .  $\det A = \prod_{i=1}^m \lambda_i$ ;  $\operatorname{tr} A = \sum_{i=1}^m \lambda_i$

• Ähnliche Matrizen haben gleiche Eigenwerte und Vielfachheiten

•  $A$  diagonalisierbar  $\Leftrightarrow$  geometrische = algebraische Vielfachheit  $\forall \lambda \in \Lambda(A)$

•  $A$  ist unitär diagonalisierbar  $\Leftrightarrow A$  ist normal

Bsp: • (schief-) hermitesche Matrizen sind normal

• unitäre Matrizen sind normal

Def:  $A = QTQ^{-1}$  mit  $Q$  unitär,  $T$  oben Dreiecksmatrix, heißt Schur-Zerlegung von  $A$

Thm: jedes  $A \in \mathbb{C}^{m \times m}$  besitzt eine Schur-Zerlegung

Bew: Induktion nach  $m$ ; Induktionsanfang  $m=1$  klar.

Induktions schritt: • Sei  $m > 1$ ,  $x$  ein Eigenvektor von  $A$  mit Eigenwert  $\lambda$

• wähle Orthonormalbasis  $q_1 = \frac{x}{\|x\|}, q_2, \dots, q_m$ ;  $U = [q_1 | \dots | q_m]$

•  $U^*AU = \begin{bmatrix} \lambda & b \\ 0 & C \end{bmatrix}$  für  $b \in \mathbb{C}^m$ ,  $C \in \mathbb{C}^{(m-1) \times (m-1)}$

• nach Induktionsvoraussetzung  $\exists$  Schur-Zerlegung  $C = VT V^{-1}$

•  $A = Q \begin{bmatrix} \lambda & b^*V \\ 0 & T \end{bmatrix} Q^{-1}$  für  $Q = U \begin{bmatrix} 1 & 0 \\ 0 & V \end{bmatrix}$  ist Schur-Zerlegung.  $\square$

Bem: Die Eigenwerte einer Matrix  $A$  können gefunden werden als

- Nullstellen von  $\chi_A$  (fiel. Matrizen instabil, ähnlich wie Nullstellensuche in Monom-Darstellung)
- Diagonaleinträge der Diagonalisierung (nur diagonalisierbare Matrizen)
- der Jordan-Normalform
- der Schur-Zerlegung (stabil, da unitär Ähnlichkeitstransformationen genutzt werden)

Thm: (Abel) Für jedes  $m \geq 5$  existiert ein Polynom  $p(\lambda)$  mit grad  $m$ , rationalen Koeffizienten und einer reellen Nullstelle  $r$ , die nicht geschrieben werden kann als ein Ausdruck aus rationalen Zahlen,  $+, -, \cdot, /$  und  $\sqrt[m]{\cdot}$ .

Kor: Es gibt keine direkt Methode, die zu einer beliebigen Matrix  $A$  nach endlich vielen Schritten nur mit  $+, -, \cdot, /, \sqrt[m]{\cdot}$  die Eigenwerte findet.

Bew: Zu beliebigem  $p(\lambda) = \lambda^m + a_{m-1}\lambda^{m-1} + \dots + a_1\lambda + a_0$  ist  $p = \chi_A$  für  $A = \begin{bmatrix} 0 & & -a_0 \\ 1 & 0 & -a_1 \\ 0 & 1 & \ddots \\ \vdots & \vdots & \ddots & 0 \\ 0 & \cdots & 0 & -a_{m-2} \\ 0 & \cdots & 0 & -a_{m-1} \end{bmatrix}$   $\square$

Eigenwerte spielen in vielen physikalischen Problemen eine Rolle. Das einfachste Beispiel betrifft die Stabilität von dynamischen Systemen: Sei  $\frac{dx}{dt} = F(x) \in \mathbb{R}^m$  eine gewöhnliche Differentialgleichung (die z.B. aus einer partiellen entsteht durch räumliche Diskretisierung) mit stationären Zustand  $\bar{x}$  (d.h.  $F(\bar{x}) = 0$ ). In einer Umgebung von  $\bar{x}$  kann man  $F$  durch Linearisierung approximieren,  $\frac{dy}{dt} = \frac{dx}{dt} = F(x) \approx Ay$  für  $y = x - \bar{x}$ ,  $A = DF(\bar{x})$  mit Lösung  $y(t) = \exp(tA)y(0) = X \text{diag}(\exp t\lambda_i) X^{-1} y(0)$  für die Diagonalisierung  $A = X \text{diag}(\lambda_i) X^{-1}$ . Sind alle  $\text{Re}(\lambda_i) < 0$ , so ist  $\lim_{t \rightarrow \infty} y(t) = 0$ , d.h.  $y = 0$  (bzw.  $x = \bar{x}$ ) ist stabil. Für „>“ gilt  $\lim_{t \rightarrow \infty} \|y(t)\| = \infty$ , wenn man nicht exakt mit  $x = \bar{x}$  startet oder dies perturbiert  $\Rightarrow \bar{x}$  ist instabil.



### Schneechaos Münsterland 2005

pDgl: nichtlineare Elastizität

Knick-Instabilität

(Schummeli: Eigenwerte der linearisierten Systems sind nicht  $> 0$ , sondern maximal = 0)

Tacoma Narrows Bridge Collapse  
<https://www.youtube.com/watch?v=XggxeuFDaDU>

lineare Elastizität  
mit Anregung

Heute:

- Vektoriteration

- Inverse Iteration

### Iterative Verfahren zur Eigenwertbestimmung

Um Rechenoperationen einzusparen, wird eine Matrix  $A \in \mathbb{C}^{m \times m}$  typischerweise erst in obere Hessenbergform transformiert, bevor iterativ die Eigenwerte und -vektoren bestimmt werden. Damit wir nur mit reellen Eigenwerten arbeiten müssen, wollen wir im Folgenden  $A \in \mathbb{R}^{m \times m}$ ,  $A^\lambda = A$  annehmen.

Def: Der Rayleigh-Quotient eines Vektors  $x \in \mathbb{R}^m$  ist  $r(x) = \frac{x^* A x}{x^* x}$ .

Bem:  $D_r(x) = \frac{1}{x^* x} (x^* A + x^* A^T) - \frac{x^* A x}{(x^* x)^2} 2x^* = \frac{2}{x^* x} (x^* A - r(x)x^*)$

- Sei  $x$  Eigenvektor zum Eigenwert  $\lambda$ , dann ist  $r(x) = \lambda$ ,  $D_r(x) = 0$ .

$\Rightarrow$  Taylorentwicklung um  $x$  liefert  $r(\tilde{x}) - r(x) = O(\|x - \tilde{x}\|^2)$

$\Rightarrow$  Zu einer Schätzung des Eigenvektors liefert der Rayleigh-Quotient eine quadratisch genaue Schätzung des Eigenwerts

Eine Schätzung des Eigenvektors erhält man z.B. mit folgendem (selten genutzten) Algorithmus.

Alg: (Vektor-Iteration) input:  $A \in \mathbb{R}^{m \times m}$ ,  $v_0 \in \mathbb{R}^m$ ; output: Approximation  $v_k$  an Eigenvektor zu  
für  $k=1, 2, \dots$  betragmäßig größtem Eigenwert

$$w = Av_{k-1}$$

$$v_k = w / \|w\|_2$$

und

Thm: A habe Eigenwerte  $|\lambda_1| > |\lambda_2| \geq \dots \geq |\lambda_m|$  mit Eigenvektoren  $q_1, \dots, q_m$ ,  $\|q_i\|_2 = 1$ ,  $q_i^* v_0 \neq 0$ .

Für die Vektoriteration gilt  $\|\pm v_k - q_1\| = O\left(\left|\frac{\lambda_1}{\lambda_2}\right|^k\right)$ ,  $|r(v_k) - \lambda_1| = O\left(\left|\frac{\lambda_1}{\lambda_2}\right|^{2k}\right)$  (lineare Konvergenz).

Bew: Sei  $v_0 = a_1 q_1 + \dots + a_m q_m$ ,  $c_k = \frac{1}{\|Av_0\|_2 \dots \|Av_{k-1}\|_2}$ .

$$\begin{aligned} v_k &= c_k A^k v_0 = c_k (a_1 \lambda_1^k q_1 + \dots + a_m \lambda_m^k q_m) = c_k \lambda_1^k (a_1 q_1 + a_2 \left(\frac{\lambda_2}{\lambda_1}\right)^k q_2 + \dots + a_m \left(\frac{\lambda_m}{\lambda_1}\right)^k q_m) \\ &= \pm q_1 + O\left(\left|\frac{\lambda_2}{\lambda_1}\right|^k\right) \end{aligned}$$

$$\cdot |r(v_k) - \lambda_1| = O\left(\|v_k - q_1\|^2\right)$$

□

Vektoriteration findet nur den größten Eigenwert/-vektor. Da  $(A - \mu I)^{-1}$  für  $\mu \in \mathbb{R}$  die gleichen Eigenvektoren hat wie A, können wir auch Vektoriteration auf  $(A - \mu I)^{-1}$  anwenden und erhalten den Eigenvektor zum betragmäßig größten Eigenwert  $(\lambda_i - \mu)^{-1}$  von  $(A - \mu I)^{-1}$ , also einen Eigenvektor von A zum Eigenwert  $\lambda_i$  am nächsten bei  $\mu$ . Dies ist der Standard-Algorithmus zum Finden eines Eigenvektors für gegebenen Eigenwert  $\mu$ .

Alg: (Inverse Iteration) input:  $A, \mu, v_0$ ; output: Approximation  $v_k$  an Eigenvektor von A zu Eigenwert  
für  $k=1, 2, \dots$  am nächsten bei  $\mu$

$$\text{Löse } (A - \mu I) w = v_{k-1} \quad (\star)$$

$$v_k = w / \|w\|$$

und

$O(n)$  für A tridiagonal

Bew: Man kann  $A - \mu I$  vorher LU- oder QR- zerlegen  $\Rightarrow$  Aufwand  $O(n^2)$  pro Iteration

• Für  $\mu$  nahe einem Eigenwert ist  $(\star)$  sehr schlecht konditioniert, dies beeinflusst jedoch nicht die Stabilität des Algorithmus (Übung)

Thm: Seien  $\lambda_j$  &  $\lambda_i$  Eigenwerte von A am nächsten/zweitnächsten zu  $\mu$ ,  $q_j^* v_0 \neq 0$ . Für die Inverse Iteration gilt  $\|\pm v_k - q_j\| = O\left(\left|\frac{\mu - \lambda_i}{\mu - \lambda_j}\right|^k\right)$ ,  $|r(v_k) - \lambda_j| = O\left(\left|\frac{\mu - \lambda_i}{\mu - \lambda_j}\right|^{2k}\right)$  (lineare Konvergenz)

Bew: Inverse Iteration = Vektoriteration für  $(A - \mu I)^{-1}$  mit betragmäßig größtem/zweitgrößtem Eigenwert  $(\lambda_j - \mu)^{-1}$  /  $(\lambda_i - \mu)^{-1}$ .

□

Ein Eigenwert/-vektor-Paar erhält man durch Alternieren zwischen Rayleigh Quotient & Inverser Iteration:

Alg: (Rayleigh-Quotienten-Iteration) input:  $A, \lambda^0, v_0$ ; output: Approximation  $\lambda^k, v_k$  an Eigenwert/-vektor-Paar von  $A$  für  $k = 1, 2, \dots$

$$\text{Löse } (A - \lambda^{k-1} I) w = v_{k-1}$$

$$v_k = w / \|w\|$$

$$\lambda^k = v_k^* A v_k$$

end

Thm: Wenn die Iteration gegen ein Eigenwert/-vektor-Paar  $(\lambda, q)$  konvergiert (dies passiert für fast alle  $v_0$ ), dann kubisch:  $\|\pm q - v_k\| = O(\|\pm q - v_{k-1}\|^3)$ ,  $|\lambda_k - \lambda| = O(|\lambda_{k-1} - \lambda|^3)$ .

Bew: • Sei  $\|\pm q - v_k\| \leq \varepsilon \Rightarrow |\lambda - \lambda_k| = C \varepsilon^2$  für ein  $C$  (von Rayleigh-Quotienten-Funktion  $r$  abhängig)  $\Rightarrow \|\pm q - v_{k+1}\| = O\left(\left|\frac{\lambda - \lambda_k}{\lambda - \lambda_k}\right| \|\pm q - v_k\|\right) = O(\varepsilon^3)$  für  $\tilde{\lambda}$  zweitnächster Eigenwert an  $\lambda_k$

• Analog für Eigenwert

□

Bem: • Wenn  $A$  tridiagonal (schon in Hessenbergform transformiert), benötigt jede Iteration  $O(n)$  Flops; sei  $e_k$  der Fehler der  $k$ -ten Iteration  $\Rightarrow e_k = O(e_{k-1}^3) = O(e_0^{3^k})$   
 $\Rightarrow$   $\varepsilon_m$  Genauigkeit erreicht nach ca.  $\log_3\left(\frac{\log \varepsilon_m}{\log e_0}\right) \ll n$  Iterationen.

```
format long;
m = 100;
A = rand(m,m); A = A + A';
w = rand(m,1);
v = w/norm(w,2);
```

```
for k = 1:6
    lambda = v'*A*v
    w = (A-lambda*eye(m))\v;
    v = w/norm(w,2);
end
```

kubische Konvergenz!

Hinzu: QR-Iteration

Eine Variante der Vektoriteration liefert Eigenvektoren zu den  $n$  betragsmäßig größten Eigenwerten:

Alg: (Simultane Vektoriteration) input:  $A \in \mathbb{R}^{m \times m}, V_0 \in \mathbb{R}^{m \times n}$ ; output: Approximation  $Q_n = [q_1 | \dots | q_n]$  für  $k = 1, 2, \dots$  an Eigenvektoren

$$V_n = A V_{k-1}$$

$$\text{berechne QR-Zerlegung } Q_k R_k = V_n$$

end

Thm: Für die Eigenwerte von  $A$  gelte  $|\lambda_1| > \dots > |\lambda_n| > |\lambda_{n+1}| \geq \dots \geq |\lambda_m|$ , die orthonormalen Eigenvektoren seien  $q_1, \dots, q_m$ . Seien  $Q = [q_1 | \dots | q_m]$  und  $V_0$  sodass  $(Q^* V_0)_{i,i, i \leq n}$  regulär ist für alle  $i \leq n$ . Es gilt  $\|v_j^k - q_j\| = O(C^k)$  für  $C = \max_{i \leq n} |\lambda_{i+1}| / |\lambda_i|$ .

Bew: Sei  $U_i = [q_1 | \dots | q_i]$ ,  $\Lambda_i = \text{diag}(\lambda_1, \dots, \lambda_i)$ .

$$V_k = A^k V_0 = Q \Lambda_m^k Q^* V_0 = U_i \Lambda_i^k U_i^* V_0 + O(|\lambda_{i+1}|^k) = (U_i \Lambda_i^k + O(|\lambda_{i+1}|^k)) U_i^* V_0$$

$U_i^* V_0 = (Q^* V_0)_{i,i, i \leq n}$  regulär

$$\Rightarrow \langle q_n^k, \dots, q_i^k \rangle = \underbrace{\langle v_{n+1}^k, \dots, v_i^k \rangle}_{\text{Spalten von } V_k} = \underbrace{\langle \lambda_n q_n + O(|\lambda_{n+1}|^k), \dots, \lambda_i q_i + O(|\lambda_{n+1}|^k) \rangle}_{\text{Spalten von } U_i \Lambda_i^k + O(|\lambda_{i+1}|^k)} = \langle q_n + O\left(\frac{|\lambda_{n+1}|^k}{\lambda_n}\right), \dots, q_i + O\left(\frac{|\lambda_{n+1}|^k}{\lambda_i}\right) \rangle$$

da dies für alle  $i \leq n$  gilt, ist  $\pm q_i^k = q_i + O(C^k)$   $\square$

Von der Vektoriteration wissen wir bereits  $v_i^k = A^k v_i^0 \approx c q_i$  für  $k \rightarrow \infty \Rightarrow$  Rundungsfehler nivellieren den Unterschied zwischen den  $v_i^k \Rightarrow$  simultane Vektoriteration ist nicht stabil.

Damit  $\langle v_n^k, \dots, v_i^k \rangle$  für alle  $i$  stabil konvergiert, amplifizieren wir in jeder Iteration die Unterschiede, ohne den Spann zu verändern: durch Orthonormalisierung.

Alg: (Simultane Vektoriteration II bzw. QR-Ikration I) input:  $A \in \mathbb{R}^{m \times m}, V_0 \in \mathbb{R}^{m \times n}$  mit orthonormalen Spalten for  $k=1, 2, \dots$

$$\tilde{V}_k = A V_{k-1} \quad (1)$$

$$\text{berechne reduzierte QR-Zerlegung } V_k \tilde{R}_k = \tilde{V}_k \quad (2)$$

und

Bem: Die ersten  $i$  Spalten von  $V_k$  haben den gleichen Spann wie von  $\tilde{V}_k \Rightarrow$  Die ersten  $i$  Spalten von  $V_k$  haben den gleichen Spann wie in der Simultanen Vektoriteration I.  $\Rightarrow$  Es gilt das gleiche Konvergenz-Theorem.

Die QR-Ikration ist eine äquivalente Umformulierung. Sie geht ähnlich vor wie die Hessenberg-Transformation mittels Householder: Dort wird in jedem Schritt  $A = QH$  zerlegt (wobei  $H$  viele Einträge eliminiert hat) und dann  $HQ = Q^* A Q$  berechnet. Bei der QR-Ikration werden in  $A$  ebenfalls viele Einträge eliminiert (alle unter der Diagonale) mittels QR-Zerlegung  $A = QR$ , und dann  $RQ = Q^* A Q$  berechnet. Hierdurch werden die Nulleinträge wieder gefüllt, aber nach und nach konvergiert die Matrix gegen eine Diagonalmatrix.

Alg: (QR-Ikration II) input:  $A_0 = A$ , output: Approximation an Spektralzerlegung

for  $k=1, 2, \dots$

$$Q_k^* R_k = A_{k-1} \quad (3)$$

$$A_k = R_k Q_k \quad (4)$$

end

Thm: QR - Iteration II  $\Leftrightarrow$  QR - Iteration I mit  $V_0 = I$ ; insbesondere ist  $V_k = Q_1 \cdots Q_n, R_k = \tilde{R}_k$

- Es ist  $A^{(k)} = V_k R^{(k)}$  mit  $R^{(k)} = R_k \cdots R_n$  und  $A_k = V_k^* A V_k$ .

Bew: Induktionsanfang:  $V_0 \tilde{R}_n = A = Q_n R_n$  sind gleiche QR-Zerlegung  $\Rightarrow V_0 = Q_n, R_n = \tilde{R}_n$

$$\text{außerdem } A = Q_n R_n = V_n R^{(n)} \quad \& \quad A_n = R_n Q_n = Q_n^* A Q_n = V_n^* A V_n$$

$$\text{Induktionsgeschritt: } V_{k+n} \tilde{R}_{k+n} \stackrel{(2)}{=} \tilde{V}_{k+n} \stackrel{(1)}{=} A V_k \stackrel{\text{IV}}{=} A V_{k+n} Q_k \stackrel{(3)}{=} \tilde{V}_k Q_k \stackrel{(2)}{=} V_k \tilde{R}_k Q_k \stackrel{\text{IVL}(1)}{=} V_k A_k \stackrel{(3)}{=} V_k Q_{k+n} R_{k+n}$$

$$\text{ist gleiche QR-Zerlegung } \Rightarrow \tilde{R}_{k+n} = R_{k+n}, V_{k+n} = V_k Q_{k+n}$$

$$\cdot A^{(k+1)} \stackrel{\text{IV}}{=} A V_n R^{(n)} \stackrel{(1)}{=} \tilde{V}_{k+n} R^{(k)} \stackrel{(2)}{=} V_{k+n} \tilde{R}_{k+n} R^{(k)} = V_{k+n} R^{(k+1)}$$

$$\cdot A_{k+n} \stackrel{(4)}{=} R_{k+n} Q_{k+n} \stackrel{(3)}{=} Q_{k+n}^* A_k Q_{k+n} \stackrel{\text{IV}}{=} Q_{k+n}^* V_n^* A V_k Q_{k+n} = V_{k+n}^* A V_{k+n} \quad \square$$

Bem: Da die Spalten von  $V_k$  für  $k \rightarrow \infty$  gegen die Eigenvektoren konvergieren, konvergiert

$$A = V_k A_k V_k^* = (Q_1 \cdots Q_n) A_n (Q_1 \cdots Q_n)^* \text{ gegen die Spektralzerlegung von } A.$$

• Die Spalten  $v_i^k$  von  $V_k$  konvergieren gegen  $\pm q_i$  mit einem Fehler  $O((\max_j |\frac{\lambda_j}{\lambda_{j+n}}|)^k)$ , die Diagonaleinträge von  $A_k$  sind die Rayleigh-Quotienten zu den  $v_i^k$  und konvergieren somit mit der doppelten Potenz gegen die Eigenwert  $\lambda_i$ .

Bem: Ist in der simultanen Vektoriteration  $V_0 \neq I$ , so liefert der gleiche Beweis  $A^k V_0 = V_k R^{(k)}$ , d.h. die kte Iteration berechnet die QR-Zerlegung von  $A^k V_0$ .

• Die QR - Iteration kann auch aufgefasst werden als simultane Vektoriteration II angewandt auf  $A^{-k}$  (also als „simultane inverse Iteration“) mit Anfangsmatrix  $V_0 = P = \begin{bmatrix} 1 & \dots & 1 \\ 1 & \dots & 1 \end{bmatrix}$ . Tatsächlich ist  $A^{-k} P = (A^k)^{-k} P = (V_k R^{(k)})^{-k} P = V_k R^{(k)-k} P = \underbrace{(V_k P)}_{\text{orthogonal}} \underbrace{(P R^{(k)-k} P)}_{\text{oben } \Delta\text{-Matrix}}$  die QR-Zerlegung von  $(A^k)^{-k} V_0$ .

Die Inverse Iteration kann durch Shifts  $\mu I$  verbessert werden, und die richtige Wahl der Shifts liefert sogar kubische Konvergenz. Da die QR - Iteration auch aufgefasst werden kann als Inverse Iteration, gilt dies auch für die QR - Iteration.

Alg: (QR-Iteration mit Shifts) input, output wie zuvor

for  $k=1, 2, \dots$

wähle Shift  $\mu_k$

$$Q_k R_k = A_{k-1} - \mu_k I \quad (5)$$

$$A_k = R_k Q_k + \mu_k I \quad (6)$$

falls  $(A_k)_{i:i, i+1:m}$  nah genug bei 0, setze  $A^{(1)} = (A_k)_{1:i, 1:i}, A^{(2)} = (A_k)_{i+1:m, i+1:m}$

und wende von nun an QR-Iteration auf  $A^{(1)}$  &  $A^{(2)}$  separat an

- Bem: • Typischerweise wird  $A$  zuvor in Tridiagonalform überführt  $\Rightarrow A_k$  ist tridiagonal  
 $\Rightarrow$  Aufwand jeder Iteration ist  $O(m)$
- Als Shift  $\mu_k$  können verschiedene Approximationen an einen Eigenwert genutzt werden (z.B. ein Rayleigh-Quotient oder  $(A_{k-1})_{mm}$ )
  - Ein Shift nahe dem i-ten Eigenwert erzeugt Nullen in der i-ten Zeile; für die resultierenden  $A^{(1)}$  und  $A^{(2)}$  möchte man nun verschiedene Shifts anwenden  
 $\Rightarrow$  führt für beide separate QR-Iteration durch.

Thm: Es ist  $A_k = V_k^* A V_k$  und  $(A - \mu_n I) \cdots (A - \mu_1 I) (A - \mu_0 I) = V_k R^{(k)}$  mit  $V_k = Q_1 \cdots Q_k$ ,  $R^{(k)} = R_k \cdots R_n$

Bew: Wie zuvor per Induktion.

$$\text{Anfang: } A_0 = R_0 Q_0 + \mu_0 I \stackrel{(5)}{=} Q_0^* (A_0 - \mu_0 I) Q_0 + \mu_0 I = V_0^* A V_0 \quad \& \quad A - \mu_0 I \stackrel{(5)}{=} Q_0 R_0 = V_0 R^{(0)}$$

$$\text{Schritt: } \cdot A_k \stackrel{(6)}{=} R_k Q_k + \mu_k I \stackrel{(6)}{=} Q_k^* (A_{k-1} - \mu_k I) Q_k + \mu_k I \stackrel{\text{IV}}{=} Q_k^* V_{k-1}^* A V_{k-1} Q_k = V_k^* A V_k$$

$$\cdot (A - \mu_{k-1} I) \cdots (A - \mu_0 I) \stackrel{\text{IV}}{=} (A - \mu_0 I) V_{k-1} R^{(k-1)} \stackrel{\text{IV}}{=} V_{k-1} \underbrace{(A_{k-1} - \mu_0 I)}_{Q_k R_k} \underbrace{V_{k-1} R^{(k-1)}}_I \stackrel{(5)}{=} V_k R^{(k)}$$

Bem: Wie die Version ohne Shifts kann die QR-Iteration mit konstantem Shift  $\mu$  aufgefasst werden als simultane Vektoriteration II angewandt auf  $(A - \mu I)^{-1}$  mit  $V_0 = P = \begin{bmatrix} & & 1 \\ & \ddots & \\ 1 & \cdots & \end{bmatrix}$ , wobei sich ein  $V_k$  ergibt mit  $V_k = Q_1 \cdots Q_k P$  (siehe oben). Insbesondere ist die erste Spalte von  $V_k$  (= letzte Spalte von  $Q_1 \cdots Q_k$ ) gleich der Eigenvektor-Approximation  $v_k$  der Vektoriteration zu  $(A - \mu I)^{-1}$  (= Invers Iteration zu  $A$  mit Shift  $\mu$ ) mit Anfangsvektor  $v_0 = e_m = \begin{pmatrix} 0 \\ \vdots \\ 0 \\ 1 \end{pmatrix}$ .

Durch neue Wahl des Shifts in jeder Iteration als eine Eigenwertapproximation zur Eigenvektorapproximation  $v_k$  wurde aus der Inversen Iteration die kubisch konvergente Rayleigh-Iteration  
 $\Rightarrow$  Wähle hier als Shift eine Eigenwertapproximation passend zur letzten Spalte  $z_k$  von  $Q_1 \cdots Q_k$ , z.B. den Rayleigh-Quotienten.

Def: In der QR-Iteration mit Shift sei  $(A_{k-1})_{m-n:m, m-n:m} = \begin{bmatrix} a_{m-n} & b_{m-n} \\ b_{m-n} & a_m \end{bmatrix}$ . Die Wahl

•  $\mu_k = a_m$  ist der Rayleigh-Shift

•  $\mu_k = a_m - \text{sign}(\delta) \frac{b_{m-n}^2}{|1\delta| + \sqrt{\delta^2 + b_{m-n}^2}}$  mit  $\delta = \frac{a_{m-1} - a_m}{2}$  ist der Wilkinson-Shift

Bem: Der Rayleigh-Shift  $\mu_k$  ist der Rayleigh-Quotient von  $z_k = Q_1 \cdots Q_k e_m$ :

$$(A_k)_{mm} = e_m^* A_k e_m = e_m^* (Q_1 \cdots Q_k)^* A Q_1 \cdots Q_k e_m = \frac{z_k^* A z_k}{z_k^* z_k}$$

• Der Wilkinson-Shift ist der Eigenwert von  $(A_{k-1})_{m-n:m, m-n:m}$  näher bei  $(A_k)_{mm}$ ; die angegebene Formel ermöglicht eine stabile Berechnung; bei  $A \neq A^*$  liefert das Komplexkonjugierte Eigenwertpaar

• Beide liefern normalerweise kubische Konvergenz; nur der Wilkinson-Shift sichert Konvergenz

Bsp:  $A = \begin{pmatrix} 0 & 1 \\ 1 & 0 \end{pmatrix}$  mit Eigenwerten  $\pm 1$

• QR-Iteration ohne Shift:  $A_0 = Q_0 R_0 = \begin{pmatrix} 0 & 1 \\ 1 & 0 \end{pmatrix} \begin{pmatrix} 1 & 0 \\ 0 & 1 \end{pmatrix}$ ,  $A_1 = R_0 Q_0 = A$ ,  $A_2 = A$  usw.

• mit Rayleigh-Shift: Shift ist  $(A_0)_{22} = 0 \Rightarrow$  gleiche Iteration, "unentfernt zwischen  $\pm 1$ "

• mit Wilkinson-Shift:  $\mu_1 = -1$ ;  $A_0 - \mu_1 I = Q_0 R_0 = \frac{1}{\sqrt{2}} \begin{pmatrix} 1 & -1 \\ 1 & -1 \end{pmatrix} \begin{pmatrix} 1 & 1 \\ 0 & 0 \end{pmatrix}$

$$A_1 = R_0 Q_0 + \mu_1 I = \begin{pmatrix} 2 & 0 \\ 0 & 0 \end{pmatrix} - \begin{pmatrix} 1 & 0 \\ 0 & 1 \end{pmatrix} = \begin{pmatrix} 1 & 0 \\ 0 & -1 \end{pmatrix}$$

$\Rightarrow$  konvergiert nach einem Schritt,  $A = Q_n A_1 Q_n^*$

## Herk.: Bisektionsverfahren

Im Prinzip können Eigenwerte auch durch Finden der Nullstellen des charakteristischen Polynoms  $\chi_A$  mittels Bisektion (oder einem anderen Verfahren) gefunden werden. Natürlich wird  $\chi_A$  hierfür nicht in Monomdarstellung ausgerechnet – dann wäre das Verfahren instabil.

Stattdessen werden ein paar Tricks genutzt.

Thm: Sei  $A = \begin{bmatrix} a_{ii} & b_{i1} & \dots & b_{in} \\ b_{1i} & a_{11} & \dots & b_{1n} \\ \vdots & \ddots & \ddots & \vdots \\ b_{ni} & b_{n1} & \dots & a_{nn} \end{bmatrix} \in \mathbb{R}^{m \times m}$ ,  $b_{ii} \neq 0 \forall i$  und  $A^{(k)} = A_{i:i, n-i:n}$ .

- Die Eigenwerte  $\lambda_{n1}, \dots, \lambda_{nn}^{(k)}$  von  $A^{(k)}$  sind paarweise verschieden für  $k \in \{1, \dots, n\}$ . (Übung)
- $\lambda_j^{(k+1)} < \lambda_j^{(k)} < \lambda_{j+1}^{(k+1)}$   $\forall j, k$

Bem: Wenn  $b_{ii} = 0$ , können separat die Eigenwerte von  $A_{1:i, 1:i}$  &  $A_{(i+1:m), (i+1:m)}$  berechnet werden.

Thm: •  $\det(A^{(k)}) = a_k \det(A^{(k-1)}) - b_{kk}^2 \det(A^{(k-2)})$  (alle Übung)

• Anzahl negativer Eigenwerte von  $A =$  Anzahl  $\geq$  Vorzeichenwechsel in Folge  $1, \det A^{(0)}, \det A^{(1)}, \dots, \det A^{(n)}$

Bew: Induktion in  $n$ ; Fall  $m=1$  trivial. Induktions Schritt:

Fall  $\lambda_1^{(m+1)} < \lambda_1^{(m)} < \lambda_2^{(m+1)} < \lambda_2^{(m)} < \dots < \lambda_k^{(m+1)} < 0 < \lambda_k^{(m)} < \dots < \lambda_m^{(m)} < \lambda_{m+1}^{(m+1)}$ :

$$\text{sign}(\det A^{(m+1)}) = (-1)^{l^{m+1}} = (-1)^{l^m} = \text{sign}(\det A^{(m)}), \text{ d.h. } 2^{m+1} = 2^m + 1 = l^m + 1 = l^{m+1}$$

Fall  $\lambda_k^{(m+1)} < \lambda_k^{(m)} < 0 < \lambda_{k+1}^{(m+1)}$  analog. II

Kor: •  $p^{(k)}(x) = \det(A^{(k)} - xI)$  erfüllt  $p^{(k)}(x) = (a_k - x)p^{(k-1)}(x) - b_{kk}^2 p^{(k-2)}(x)$

• Anzahl Eigenwerte zwischen  $[a, b] = 2^m(A - \ell I) - 2^m(A - aI) = t^m(b) - t^m(a)$

für  $t^m(x) =$  Anzahl Vorzeichenwechsel in  $1, p^{(1)}(x), p^{(2)}(x), \dots, p^{(m)}(x)$

Alg: (Bisektionsverfahren) input:  $a_0, b_0$  mit  $t^m(a_0) + 1 = t^m(b_0)$

for  $k = 1, 2, \dots$

$$c = \frac{a_{k-1} + b_{k-1}}{2}$$

if  $t^m(c) = t^m(a_{k-1})$ ,  $a_k = c$ ,  $b_k = b_{k-1}$

else  $a_k = a_{k-1}$ ,  $b_k = c$

end

- Bem:
- $O(n)$  Aufwand pro Iteration  $\Rightarrow O(n \log n)$  Aufwand zum Finden eines Eigenwerts
  - Eigenvektor am Schluss per 1 Schritt Inverse Iteration
  - Tridiagonalisierung + Bisektionsverfahren = Standard zum Finden aller Eigenwerte in einem Intervall oder der 20 kleinsten o. Ä.

- Herk:
- Divide & Conquer - Verfahren
  - Jacobi - Verfahren

Divide & Conquer - Ansatz: Divide - teile Problem in kleine, gleichartige Teilprobleme auf

Conquer - löse Teilprobleme (rekursiv auf gleiche Weise)

Sei  $A \in \mathbb{R}^{m \times m}$  tridiagonal,  $A_{ii,ii} \neq 0 \forall i$ ,  $A^* = A$ . Schreibe  $A = \begin{bmatrix} A_{1:\frac{m}{2}, 1:\frac{m}{2}} & \beta \\ \beta & A_{\frac{m}{2}+1:m, \frac{m}{2}+1:m} \end{bmatrix} = \begin{bmatrix} \hat{A}_1 & \\ & \hat{A}_2 \end{bmatrix} + \begin{bmatrix} \beta & \\ & \beta \end{bmatrix}$ .

Seien  $\hat{A}_1 = Q_1 D_1 Q_1^*$ ,  $\hat{A}_2 = Q_2 D_2 Q_2^*$ ,  $q_1$  = letzte Zeile von  $Q_1$ ,  $q_2$  = erste Zeile von  $Q_2$ . Dann ist  $A = (\hat{A}_1 \hat{A}_2) + \beta \begin{pmatrix} 0 \\ \vdots \\ 0 \end{pmatrix} (0 \dots 0 1 1 0 \dots) = \begin{pmatrix} Q_1 \\ Q_2 \end{pmatrix} \left( \begin{pmatrix} D_1 & \\ & D_2 \end{pmatrix} + \beta z z^* \right) \begin{pmatrix} Q_1^* \\ Q_2^* \end{pmatrix}$  für  $z = \begin{pmatrix} q_1 \\ q_2 \end{pmatrix}$ .

Was sind Eigenwerte von  $(D_1 D_2) + \beta z z^*$ ? Wir dürfen  $z_i \neq 0 \forall i$  annehmen (sonst kann man das Problem reduzieren (Hausaufgabe)) und  $D_{ii} \neq D_{jj} \forall i, j$ , da  $A_{ii,ij} \neq 0 \forall i, j$ .

Thm: Sei  $D \in \mathbb{R}^{m \times m}$  diagonal mit paarweise verschiedenen Einträgen,  $w \in \mathbb{R}^m$  mit  $w_i \neq 0 \forall i$ .  $D + w w^*$  habe paarweise verschiedene Eigenwerte. Diese sind die Nullstellen von  $f(\lambda) = 1 + \sum_{j=1}^m \frac{w_j^2}{D_j - \lambda}$

Bew.:  $(D + w w^*) q = \lambda q \Leftrightarrow (D - \lambda I) q + w(w^* q) = 0 \Leftrightarrow q + (D - \lambda I)^{-1} w(w^* q) = 0$

$$\Rightarrow w^* q + w^* (D - \lambda I)^{-1} w (w^* q) = 0 \Leftrightarrow f(\lambda) \cdot w^* q = 0$$

- $w^* q \neq 0$  (also  $f(\lambda) = 0$ ), denn sonst wäre  $\lambda$  Eigenwert von  $D \Rightarrow q_i \neq 0$  für genau ein  $i \Rightarrow w^* q \neq 0$
- $f$  hat  $m$  Nullstellen und  $(D + w w^*)$  hat  $m$  verschiedene Eigenwerte  $\Rightarrow$  Nullstellen = Eigenwerte  $\square$

Bem: Analoges gilt für  $D - w w^*$ .

- $f(\lambda) = 0$  heißt „secular equation“ und kann für jeden Eigenwert mit Newton-Verfahren in  $O(1)$  Schritten gelöst werden (bzw. ähnlichen Verfahren)

Alg: (Divide & Conquer - Verfahren)

function  $[Q, D] = \text{dac}(A)$

if  $A \in \mathbb{R}$  then  $Q = 1$ ,  $D = A$

else

$$A = \begin{pmatrix} \hat{A}_1 & \\ & \hat{A}_2 \end{pmatrix} + \beta \begin{pmatrix} \ddots & \\ & \ddots \end{pmatrix}$$

$$[Q_1, D_1] = \text{dac}(\hat{A}_1), [Q_2, D_2] = \text{dac}(\hat{A}_2), \bar{D} = \begin{pmatrix} D_1 & \\ & D_2 \end{pmatrix}$$

für  $k = 1$  bis  $m = \dim(A)$

$D_{kk} = \text{Lösung von } f(\lambda) = 0 \text{ mit Startwert } \tilde{D}_{kk}$  (1)

$q_k = \text{ein Schritt Inverse Iteration mit Shift } D_{kk}$  (2)

end

$$Q = [q_1 | \dots | q_m]$$

Bem.: Vergleichbar gut wie QR-Iteration, aber numerisch stabile Implementierung kompliziert

• Aufwand: (1)  $\hat{=} O(m)$  ( $O(1)$  Iterationen,  $O(m)$  flops für Auswertung  $f$ )

(2)  $\hat{=} O(m)$  (da Matrix tridiagonal)

$\Rightarrow$  for-Schleife  $\hat{=} O(m^2)$

$$\text{Gesamtaufwand: } O(m^2 + 2\left(\frac{m}{2}\right)^2 + 4\left(\frac{m}{4}\right)^2 + \dots + m\left(\frac{m}{m}\right)^2) = O(m^2 \sum_{i=0}^{\log m} 2^{-i}) = O(m^2)$$

Das QR-Verfahren (ohne Shifts) berechnet in jeder Iteration eine QR-Zerlegung  $A = QR$  und multipliziert dann  $Q$  noch einmal von rechts:  $A_{\text{neu}} = RQ = Q^* A Q$ . Wird die QR-Zerlegung mit Householder-Verfahren gemacht, so ist  $Q = Q_1 \cdots Q_{m-1}$  mit  $Q_i$  der Householder-Reflektion, die die  $i$ -te Spalte eliminiert. D.h., man kann das QR-Verfahren folgendermaßen auffassen:

$$\begin{bmatrix} x & x & x & x \\ x & x & x & x \end{bmatrix} \xrightarrow{Q_n^* \cdot} \begin{bmatrix} x & x & x & x \\ x & x & x & x \end{bmatrix} \xrightarrow{\cdot Q_n} \begin{bmatrix} x & x & x & x \\ x & x & x & x \end{bmatrix} \xrightarrow{Q_2^* \cdot} \begin{bmatrix} x & x & x & x \\ x & x & x & x \end{bmatrix} \xrightarrow{\cdot Q_2} \begin{bmatrix} x & x & x & x \\ x & x & x & x \end{bmatrix}$$

$A_0 = A$       Eliminiere 1. Spalte      für Ähnlichkeit       $Q_n^* A_0 Q_n$       Eliminiere 2. Spalte       $Q_2^* Q_n^* A_0 Q_n$        $Q_2^* Q_n^* A_0 Q_n Q_2$

$$\dots \rightarrow A_n = Q_3^* Q_2^* Q_1^* A_0 Q_1 Q_2 Q_3 \rightarrow \text{beginne wieder von vorn}$$

$\Rightarrow$  in jeder unitären Ähnlichkeitstransformation  $B \mapsto Q_i^* B Q_i$  werden die neuen Nullinhalte wieder gefüllt. Wir wissen: die Nullinhalte können nicht bestehen bleiben, sonst gäbe es ein direktes Eigenwertbestimmungsverfahren; allerdings werden die neuen Einträge immer kleiner.

Versucht man jedoch, nicht eine ganze Spalte zu eliminieren, sondern z.B. nur einen Eintrag, so kann dies durch eine Ähnlichkeitstransformation gemacht werden:

$$A = \begin{bmatrix} \ddots & \cdots & & \\ \vdots & a & \cdots & d \\ & \vdots & \ddots & b \\ & & \ddots & \ddots \\ & & & \ddots & \ddots \end{bmatrix} \xleftarrow{i}, \quad Q_{ij} = \begin{bmatrix} 1 & & & & \\ & 1 & c_{1j} & \cdots & s \\ & -s & c_{2j} & \cdots & \\ & & \ddots & \ddots & \end{bmatrix} \quad \text{mit} \quad \begin{aligned} c &= \cos \theta \\ s &= \sin \theta \\ \theta &= \arctan \frac{2d}{b-a}/2 \end{aligned} \Rightarrow Q_i^* A Q_{ij} = \begin{bmatrix} \ddots & \cdots & 0 & \cdots & \cdots \\ \vdots & 0 & \cdots & \cdots & \vdots \\ & \ddots & \ddots & \ddots & \ddots \\ & & \ddots & \ddots & \ddots \\ & & & \ddots & \ddots \end{bmatrix}$$

d.h. die  $\{i,j\} \times \{i,j\}$  Untermatrix  $\begin{pmatrix} a & d \\ b & e \end{pmatrix}$  wird diagonalisiert (dies wäre im Prinzip für bis zu  $4 \times 4$  Untermatrizen möglich, darüber gibt es keine direkte Diagonalisierungsformel). Das Jacobi-Verfahren ist mit diesem Ansatz.

Alg: (Jacobi-Verfahren) input:  $A \in \mathbb{R}^{m \times m}$  symmetrisch, output: Approximation  $A_k$  an Diagonalisierung für  $k = 1, 2, \dots$

wähle  $(A_{k-1})_{ij} \neq 0, i < j$

$$A_k = Q_{ij}^* A_{k-1} Q_{ij}$$

end

Bem: • Aufwand einer Iteration =  $O(m)$

- Nulleinträge werden wieder gefüllt, werden aber kleiner.
- In jeder Iteration kann man den betragsmäßig größten Nichtdiagonaleintrag  $(A_k)_{ij}$  wählen (totale Pivotisierung, welche kostet  $O(m^2)$  Aufwand),  
aber auch zeilenweises Vorgehen  $(i, j) = (1, 2), (1, 3), \dots, (1, m), (2, 3), (2, 4), \dots$  liefert Konvergenz.
- Nicht erst tridiagonalisieren, da die Struktur zerstört wird.
- Vergleichbar gut wie Tridiagonalisierung + QR-Iteration.

Thm: Das Jacobi-Verfahren mit totaler Pivotisierung konvergiert bis auf Maschinengenauigkeit  $\varepsilon_m$  zu einer Diagonalmatrix in  $O(m^2 \log \varepsilon_m)$  Iterationen.

Bew: Für  $S_k = \sum_{i \neq j} (A_k)_{ij}^2$  gilt  $S_{k+1} \leq (n - \frac{2}{m^2-m}) S_k$  (Übung)

$$\Rightarrow S_{k+m^2} \leq \left(1 - \frac{2}{m^2}\right)^{m^2} S_k \leq C S_k \quad \text{für } C = \max_{2 \geq 2} \left(1 - \frac{2}{2}\right)^2 \text{ (Übung)}$$

$$\Rightarrow S_{\infty m^2} \leq C^\alpha S_0 \leq C^\alpha \|A\|_F^2 \leq \varepsilon_m^2 \quad \text{für } \alpha \geq \frac{2}{\log C} \log \frac{\varepsilon_m}{\|A\|_F} = O(\log \varepsilon_m) \quad \square$$

Bem: Das Theorem beweist lineare Konvergenz; tatsächlich ist die Konvergenz jedoch quadratisch.

Hinr: • Lanczos-Iteration

Für (dunn besetzte) Matrizen hoher Dimension sind die bisherigen Verfahren (z.B. die anfängliche Tridiagonalisierung oder auch die Jacobi-Iteration) zu aufwändig. Stattdessen kann man versuchen, iterativ mehr und mehr Eigenwerte zu approximieren. Dies geschieht mit der Lanczos-Iteration, der Version der Arnoldi-Iteration für symmetrische reelle Matrizen. Alles Folgende gilt jedoch auch für  $A \neq A^*$  mit der Arnoldi-statt Lanczos-Iteration.

Def: Die Lanczos-Iteration ist die Arnoldi-Iteration für h-mitelsche Matrizen.

Kor: • Ein Kto. Schritt erzeugt die Lanczos-Iteration mittels Gram-Schmidt-Orthonormalisierung eine QR-Zerlegung der Krylovmatrix  $K_n = [g | Ag | \dots | A^{n-1}g]$ ,  $K_n = Q_n R_n$  mit  $Q_n = [q_1 | \dots | q_n]$  ein Orthonormalbasis des kten Krylorraums  $K^n(A, g)$  und  $R_n = \begin{bmatrix} \|g\|_2 & & \\ 0 & \ddots & \\ & & \tilde{H}_n \end{bmatrix}$  für eine obere Hesse-Bergmatrixt  $\tilde{H}_n$ .

$AQ_k = Q_{k+1} \tilde{H}_k$  und  $H_k = (\tilde{H}_k)_{n \times k, n \times k} = Q_k^* A Q_k \Rightarrow H_k, \tilde{H}_k$  sind tridiagonal!

Bem: Aus der Gram-Schmidt-Orthogonalisierung  $v - \underbrace{q_1^* v q_1}_{H_{11}} - \dots - \underbrace{q_k^* v q_k}_{H_{kk}}$  im  $k$ -ten Schritt wird durch die Symmetrie nun  $v - \underbrace{q_k^* v q_k}_{H_{kk}} - \underbrace{q_1^* v q_1}_{H_{11}} \dots$   $\Rightarrow$  Aufwand pro Schritt wächst nicht mehr mit  $k$ .

In obiger Gleichung nutzt man exakte mathematische Identitäten aus; numerisch fallen die Terme evtl. nicht alle weg  $\Rightarrow$  die  $q_i$  verlieren nach vielen Iterationen ihre Orthogonalität  $\rightarrow$  allgemeines Problem von Algorithmen mit tridiagonalen Termen.

Alg: (Lanczos-Iteration für Eigenwert) input:  $A \in \mathbb{R}^{n \times n}$  symmetrisch; output: Approximation  $\hat{\lambda}_1, \hat{\lambda}_2, \dots$  an  $\lambda \in \mathbb{R}^n$  Eigenwerte for  $k = 1, 2, \dots$

berechne  $H_k$  wie in Lanczos-Iteration

finde Eigenwert  $\hat{\lambda}_1, \hat{\lambda}_2, \dots, \hat{\lambda}_k$  von  $H_k$  mit Standardverfahren, z.B. QR-Iteration

end

$\hat{\lambda}_1, \dots, \hat{\lambda}_k$  heißen „Ritz-Schätzungen“. Sie approximieren typischerweise Eigenwerte am Rande des Spektrums. Die Intuition hierzu ist wie folgt.

Thm: Solange  $K_k$  vollen Rang hat, ist  $x_{H_k}$  die eindeutige Lösung von  $\min_{p \in P_k} \|p(A)b\|_2$  für  $P_k = \{ \text{Polynome } p \mid p(\lambda) = \lambda^k + y_{k-1}\lambda^{k-1} + \dots + y_0 \}$ .

Bem:  $p(A)b$  kann für jedes  $p \in \hat{P}_k$  geschrieben werden als  $A^k b + K_k y$ , wobei  $y = \begin{pmatrix} y_0 \\ \vdots \\ y_{k-1} \end{pmatrix}$  die Koeffizienten von  $p$  sind

$$\Rightarrow \min_{p \in \hat{P}_k} \|p(A)b\|_2 = \min_{y \in \mathbb{R}^k} \|A^k b + K_k y\|_2 \text{ ist die Projektion von } A^k b \text{ auf Bild } K_k$$

$$\Rightarrow K_k y \text{ ist eindeutig} \Rightarrow y \text{ eindeutig} \Rightarrow p \text{ eindeutig}$$

Bew: Für die Hessenberg-Zerlegung  $A = Q H Q^*$  gilt  $Q = [Q_k \ U]$ ,  $H = \begin{bmatrix} H_k & Y \\ X & Z \end{bmatrix}$  mit  $X_{ij} = 0$  für  $(i,j) \notin (n,k)$

Lösung  $y$  ist charakterisiert durch Normalengleichungen & Orthogonalität  $K_k y - A^k b \perp \text{Bild } K_k$

$$\Rightarrow p(A)b \perp \text{Bild } K_k \Leftrightarrow p(A)b \perp Q_k \Leftrightarrow Q_k^* p(A)b = 0$$

$$\Leftrightarrow \underbrace{Q_k^* Q}_{(I \mid 0) \in \mathbb{R}^{k \times m}} \underbrace{p(H)}_{(I \mid 0)^T} \underbrace{Q_k^* b}_{(I \mid 0)^T} = 0 \Leftrightarrow p(H)_{n \times k, n} = 0 \Leftrightarrow p(H_k)_{n \times k, n} = 0$$

$$\cdot X_{H_k}(H_k) = 0, \text{ also ist auch } X_{H_k}(A)b \perp K^*(A, b)$$

$$\Rightarrow q := p - X_{H_k} \in P_{k-1} \text{ mit } \underbrace{q(A)b}_{\in K^*(A, b)} \perp K^*(A, b) \Rightarrow q(A)b = 0 \Rightarrow q = 0 \quad \square$$

Thm: Sei  $A \in \mathbb{R}^{m \times m}$  symmetrisch mit nur  $n$  verschiedenen Eigenwerten,  $b \in \mathbb{R}^m$  habe Komponenten in Richtung von  $n$  zugehörigen Eigenvektoren. Nach  $n$  Iterationen findet das Lanczos-Verfahren alle Eigenwerte.

Bew.: Sei  $\mathbf{b} = \sum_{i=1}^n \alpha_i q_i$ ,  $\alpha_i \neq 0$ , für orthonormale Eigenvektoren  $q_i$  zu den Eigenwerten  $\lambda_1, \dots, \lambda_n$

$$\cdot K_n \text{ hat vollen Rang: } A^k b = \sum_{i=1}^n \alpha_i \lambda_i^k q_i$$

$$\text{daher } K_n y = 0 \Leftrightarrow 0 = \sum_{i=1}^n \alpha_i (\hat{\lambda}_i \cdot y) q_i \text{ für } \hat{\lambda}_i = \begin{pmatrix} \lambda_i \\ 0 \\ \vdots \\ 0 \end{pmatrix} \Leftrightarrow \hat{\lambda}_i \cdot y = 0 \forall i \Leftrightarrow y = 0$$

$$\cdot \chi_{\mathbb{H}_n} = p \text{ für } p(\lambda) = \prod_{i=1}^n (\lambda - \lambda_i) : \text{Sei } A = Q^* \Lambda Q \text{ die Spektralzerlegung.}$$

$$p(A)b = Q^* p(\Lambda) Q b = 0, \text{ d.h. } p = \operatorname{argmin}_{p \in P_n} \|p(A)b\|_2$$

□

$m = 100;$

$b = \text{randn}(m, 1);$

$A = \text{randn}(m, m) / \sqrt{m}; A = A + A';$

$A(1, 1) = 3;$

$E = \text{eig}(A); \text{ plot}(E, \text{zeros}(m, 1), '.', 'Markersize', 5);$

$n = 20;$

$Q = \text{zeros}(m, n);$

$H = \text{zeros}(n, n);$

$Q(:, 1) = b / \text{norm}(b);$

for  $k = 1:n-1$

% compute Lanczos step

$v = A * Q(:, k);$

for  $j = \max(1, k-1):k$

$H(j, k) = v' * Q(:, j);$

$v = v - H(j, k) * Q(:, j);$

end

$H(k+1, k) = \text{norm}(v);$

$Q(:, k+1) = v / H(k+1, k);$

% compute Ritz estimates

$\lambda = \text{eig}(H(1:k, 1:k));$

% compute Lanczos polynomial

$p = @(x) \text{prod}(\lambda - x);$

% plot results

$\text{plot}(E, \text{zeros}(m, 1), '.', 'Markersize', 5); \text{ hold on;}$

$x = \text{linspace}(-2, 4, 30);$

$c = x; \text{ for } i = 1:30, c(i) = p(x(i)); \text{ end}$

$\text{plot}(x, c, 'r', 'LineWidth', 3); \text{ hold off;}$

$\text{axis}([x(1), x(end), -200, 200]);$

$\text{pause};$

end

## Hinweis: SVD

Thm: Sei  $A = A^* \in \mathbb{K}^{m \times m}$ ,  $\delta A \in \mathbb{K}^{m \times m}$ . Für den kleinen Eigenwert und  $\delta A$  klein genug gilt

$$|\lambda_k(A + \delta A) - \lambda_k(A)| = O(\|\delta A\|_2), \text{ d.h. die Kondition ist } \kappa = \frac{\|\delta A\|_2}{\|\lambda_k\|} \frac{\|A\|_2}{\|\delta A\|_2} = \frac{\|A\|_2}{\|\lambda_k\|}$$

Bew: Sei  $Q \Lambda Q^* = A$  die Spektralzerlegung  $\sigma_A$

$$\Rightarrow |\lambda_k(A + \delta A) - \lambda_k(A)| = |\lambda_k(1 + \widehat{Q^* \delta A Q}) - \lambda_k(1)| \leq \underbrace{|\delta \tilde{\Lambda}_{kk}|}_{\text{Gerschgorin Radius}} + \sum_{i \neq k} |\delta \tilde{\Lambda}_{ik}|$$

$$\leq \|\delta \tilde{\Lambda}\|_2 + \|\delta \tilde{\Lambda}\|_\infty \leq \|\delta \tilde{\Lambda}\|_2 + \sqrt{m} \|\delta \tilde{\Lambda}^*\|_2 = O(\|\delta \tilde{\Lambda}\|_2) = O(\|\delta A\|_2)$$

□

Sei  $A \in \mathbb{K}^{m \times n}$ ,  $m \geq n$  (sonst betrachte einfach  $A^*$ ), mit SVD  $A = U \Sigma V^*$ . Folgender Algorithmus zur Berechnung der reduzierten SVD ist naheliegend, aber instabil:

- 1) Berechne Spektralzerlegung  $A^* A = V \Lambda V^*$ ,  $\Lambda = \text{diag}(\lambda_1, \dots, \lambda_n) \in \mathbb{R}^{n \times n}$
- 2)  $\Sigma = \text{diag}(\sqrt{\lambda_1}, \dots, \sqrt{\lambda_n}) \in \mathbb{R}^{n \times n}$
- 3)  $U = A V \Sigma^{-1}$

In der Tat, wenn 1) stabil berechnet wird, erwarten wir Fehler  $\frac{|\tilde{\lambda}_i - \lambda_i|}{|\lambda_i|} = O(\kappa \varepsilon_m) = O\left(\frac{\|A^* A\|}{|\lambda_i|} \varepsilon_m\right)$ , d.h.  $|\tilde{\lambda}_i - \lambda_i| = O(\varepsilon_m \|A\|^2)$   $\Rightarrow |\tilde{\sigma}_i - \sigma_i| = O(\varepsilon_m \|A\|^2 / \tilde{\sigma}_i) = O(\varepsilon_m \|A\|^2 \kappa_i)$ .

Ein stabiler Algorithmus würde  $\frac{|\tilde{\sigma}_i - \sigma_i|}{\sigma_i} = O(\kappa_i \varepsilon_m)$  liefern, wobei  $\kappa_i \sim \frac{\|A\|}{\sigma_i}$  die Konditionszahl der Berechnung des  $i$ -ten Singularwerts  $\sigma_i$  ist, d.h.  $|\tilde{\sigma}_i - \sigma_i| = O(\varepsilon_m \|A\|)$ .

Tatsächlich kann man die SVD umschreiben als das Problem, die Spektralzerlegung der hermitischen Matrix  $B = \begin{bmatrix} 0 & A^* \\ A & 0 \end{bmatrix} \in \mathbb{R}^{(m+n) \times (m+n)}$  zu finden. Aus dieser kann man wegen

$$\begin{bmatrix} 0 & A^* \\ A & 0 \end{bmatrix} = \begin{bmatrix} V & V \\ U & -U \end{bmatrix} \begin{bmatrix} \Sigma & 0 \\ 0 & -\Sigma \end{bmatrix} \begin{bmatrix} V & V \\ U & -U \end{bmatrix}^*$$

die Singulärvektoren und Singularwerte als Eigenwerte ablesen, somit  $\kappa_{\tilde{\sigma}_i} \sim \frac{\|B\|_2}{\sigma_i} \sim \frac{\|A\|}{\sigma_i}$ .

Der Fehler der naiven Methode ist somit um den Faktor  $\frac{\|A\|_2}{\sigma_i}$  zu groß - für den größten Singularwert ist dies 1, für den kleinsten jedoch  $\kappa(A)$ .

In der Praxis wird die SVD mittels Spektralzerlegung von  $B$  berechnet, jedoch wird  $A$  zunächst bidiagonalisiert.

Alg: (Golub-Kahan-Bidiagonalisierung) Input:  $A \in \mathbb{K}^{m \times n}$ , output: Bidiagonalisierung  $B$

$$B = A$$

for  $k = 1$  bis  $n$

eliminiere  $B_{k+1:m, k}$  mittels Householder-Reflektion  $U_k^*$  (\*)

eliminiere  $B_{k, k+2:n}$  mittels Householder-Reflektion  $V_k$  (\*\*)

end

Bem: Der Algorithmus liefert  $U_1, \dots, U_n \in \mathbb{K}^{m \times m}$  unitär,  $V_1, \dots, V_n \in \mathbb{K}^{n \times n}$  unitär,  $B \in \mathbb{K}^{m \times n}$  mit  $B_{ij} = 0$  für  $j \notin \{i, i+1\}$  und  $A = U_1 \cdots U_n B (V_1 \cdots V_n)^*$

$$\begin{bmatrix} x & x & x & x \\ -x & x & x & x \end{bmatrix} \xrightarrow{U_n^*} \begin{bmatrix} x & x & x & x \\ x & x & x & x \end{bmatrix} \cdot V_n \xrightarrow{U_n^* A V_n} \begin{bmatrix} x & x & x & x \\ x & x & x & x \end{bmatrix} \xrightarrow{U_2^*} \begin{bmatrix} x & x & x & x \\ x & x & x & x \end{bmatrix} \cdot V_2 \xrightarrow{U_2^* U_n^* A V_n V_2} \cdots \xrightarrow{U_2^* U_n^* A V_n V_2} \begin{bmatrix} x & x & x & x \\ x & x & x & x \end{bmatrix} B$$

• insgesamt  $n$  Reflexionen von links und  $n-2$  von rechts ( $V_{n-1} = V_n = I$ );

Schritte (\*) genau wie in QR-Zerlegung von  $A \in \mathbb{K}^{m \times n}$ , (\*) wie in QR-Zerlegung von  $A^*$

$$\Rightarrow \text{Aufwand } \sim 2mn^2 - \frac{2}{3}n^3 + 2mn^2 - \frac{2}{3}n^3 = 4mn^2 - \frac{4}{3}n^3 \text{ flops}$$

Alg: (Lawson-Hanson-Chan-Bidiagonalisierung) Input:  $A \in \mathbb{K}^{m \times n}$ , output: Bidiagonalisierung  $B$   
berechne reduzierte QR-Zerlegung  $A = QR$  mittels Householder-Verfahren

berechne Golub-Kahan-Bidiagonalisierung von  $R_{1:n, 1:n} = \tilde{U} \tilde{B} \tilde{V}^*$

$$\text{setze } U = Q \begin{bmatrix} \tilde{U} & 0 \\ 0 & I \end{bmatrix}, V = \tilde{V}, B = \begin{bmatrix} \tilde{B} \\ 0 \end{bmatrix}$$

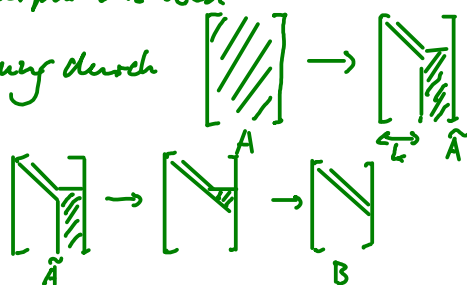
Bem: •  $A = U B V^*$

$$\cdot \text{Aufwand } \sim 2mn^2 - \frac{2}{3}n^3 + (4n^3 - \frac{4}{3}n^3) = 2mn^2 + 2n^3 \text{ flops}$$

< Golub-Kahan-Aufwand genau dann wenn  $m > \frac{5}{3}n$

Alg: (Drei-Schritt-Bidiagonalisierung) Input/output wie oben

1) führe  $k$  Schritte Golub-Kahan-Bidiagonalisierung durch



2) Lawson-Hanson-Chan-Bidiagonalisierung

auf  $\tilde{A}_{k:n, k:n}$

Bem: Aufwand  $\sim \left[ \underbrace{(4mn^2 - \frac{4}{3}n^3)}_{GK \text{ genau}} - \underbrace{(4(m-k)(n-k)^2 - \frac{4}{3}(n-k)^3)}_{GK \text{ für } (m-k) \times (n-k) \text{ Matrix}} \right] + \underbrace{[2(m-k)(n-k)^2 + 2(n-k)^3]}_{LHC} \text{ flops}$

$\Rightarrow$  optimale Wahl  $k = 2n-m$  liefert Aufwand  $\sim 4mn^2 - \frac{4}{3}n^3 - \frac{2}{3}(m-n)^3$  flops

